

การสังเคราะห์ความต้านทานไม่เป็นเชิงเส้น

**Integrable Voltage-Controlled and Current-Controlled
Nonlinear Resistances**

วันชัย ธีรรุจา

Vanchai Riewruja

อาจารย์ที่ปรึกษา

ผศ. ดร. ว้ลลภ สุรกะกำพลธร

Advisor

Assistant Professor Dr. Wanlop Surkamontorn

อาจารย์ที่ปรึกษาร่วม

ผศ. ดร. พัลลภ เหล่าเจริญ

Co-Advisor

Assistant Professor Dr. Pallop Laocharoen

วิทยานิพนธ์สำหรับปริญญาวิศวกรรมศาสตรมหาบัณฑิต

สาขาวิศวกรรมไฟฟ้า

บัณฑิตวิทยาลัย

สถาบันเทคโนโลยีพระจอมเกล้าเจ้าคุณทหารลาดกระบัง

เอกสารนี้เป็นเอกสารที่สงวนไว้สำหรับการใช้งานเพื่อการศึกษาเท่านั้น ไม่อนุญาตให้นำไปใช้ประโยชน์ด้านการค้า
ปีการศึกษา 2530
ไม่ว่ากรณีใดๆทั้งสิ้น อีกทั้งห้ามมิให้ดัดแปลงเนื้อหา และต้องอ้างอิงถึงเจ้าของเอกสารทุกครั้งที่มีการนำไปใช้

บัณฑิตวิทยาลัย


สถาบันเทคโนโลยีพระจอมเกล้าเจ้าคุณทหารลาดกระบัง

แบบฟอร์มการให้คะแนนการสอบวิทยานิพนธ์

สำหรับนักศึกษาระดับมหาบัณฑิต

ชื่อนักศึกษา นายวันชัย ธีรรุจา เลขประจำตัว 27.0010

ชื่อเรื่องวิทยานิพนธ์ การสังเคราะห์ความต้านทานไม่เชิงเส้น
(Integrable Voltage-Controlled and Current-
Controlled Nonlinear Resistances)

ชื่ออาจารย์ผู้ควบคุมการสอบ	ลายมือชื่อ	ผลการสอบ
ผศ.ดร.วัลลภ สุระภาพลธร		ดีเยี่ยม
ผศ.ดร.พัลลภ เหล่าเจริญ		ดีเยี่ยม
รศ.ดร.สิทธิชัย โภไคยอุดม		ผ่าน
ผศ.ดร.จ.เร สุรวุฒน์ปัญญา		ดี

วันเดือนปี ที่สอบ 9 มิถุนายน 2531 เวลา 13.00 น. สถานที่ ห้อง A-305


(นายสิทธิชัย โภไคยอุดม)

เอกสารนี้เป็นเอกสารที่สงวนไว้สำหรับการใช้งานเพื่อการศึกษาคณะบัณฑิตวิทยาลัย ตีหน้าไปใช้ประโยชน์ด้านการค้า
ไม่ว่ากรณีใดๆทั้งสิ้น อีกทั้งห้ามมิให้คัดแปลงเนื้อหา และต้องอ้างอิงถึงเจ้าของเอกสารทุกครั้งที่มีการนำไปใช้

สารบัญ

บทคัดย่อ	III
Abstract	IV
บทที่ 1 บทนำ	1
บทที่ 2 ความต้านทานไม่เป็นเชิงเส้น	5
2.1 บทนำ	5
2.2 คุณลักษณะจำเพาะของความต้านทานเชิงเส้นและไม่เป็นเชิงเส้น	5
2.3 หลักการสังเคราะห์ความต้านทานเชิงเส้นและไม่เป็นเชิงเส้น	10
2.4 บทสรุป	12
บทที่ 3 การสังเคราะห์ความต้านทานไม่เป็นเชิงเส้น	13
3.1 บทนำ	13
3.2 การประมาณค่าด้วยฟังก์ชันตรรกยะ	13
3.2.1 วงจรศักดาแปรค่าความต้านทาน	13
3.2.2 วงจรความต้านทานแบบลอยตัว	21
3.2.3 วงจรความต้านทานไม่เป็นเชิงเส้นแบบฟังก์ชันตรรกยะ	25
3.3 การประมาณค่าด้วยความเป็นเชิงเส้นแบบช่วง	29
3.3.1 การสังเคราะห์ความต้านทานไม่เป็นเชิงเส้นโดยใช้ซีแอร์ไดโอดและไดโอดชนิดกระแสคงที่	30
3.3.2 การสังเคราะห์ความต้านทานไม่เป็นเชิงเส้นโดยใช้วงจรถ่อนกระแส	37
3.3.3 การสังเคราะห์ความต้านทานไม่เป็นเชิงเส้นโดยใช้วงจรถ่วงคัตคัตตา	39
3.4 บทสรุป	43

บทที่ 4 การสังเคราะห์ความต้านทานไม่เป็นเชิงเส้น

เอกสารนี้เป็นเอกสารที่สงวนไว้สำหรับการใช้งานเพื่อการศึกษาเท่านั้น ไม่อนุญาตให้นำไปใช้ประโยชน์ด้านการค้า
โดยไม่ผ่านการเห็นชอบจากสำนักพิมพ์ และต้องอ้างอิงถึงเจ้าของเอกสารทุกครั้งที่มีการนำไปใช้

4.1	บทนำ	45
4.2	หลักการพื้นฐานของความต้านทานเชิงเส้นแบบช่วง	45
4.3	การสังเคราะห์ความต้านทานไม่เป็นเชิงเส้น ชนิดคักตาควบคุม	49
4.4	การสังเคราะห์ความต้านทานไม่เป็นเชิงเส้น ชนิดกระแสควบคุม	51
4.5	บทสรุป	57

บทที่ 5 วงจรความต้านทานไม่เป็นเชิงเส้นที่ได้พัฒนาขึ้น 58

5.1	บทนำ	58
5.2	หลักการของวงจรจำกัดกระแส	58
5.2.1	หลักการของวงจรจ่ายกระแสไม่เป็นเชิงเส้น	68
5.3	ความต้านทานไม่เป็นเชิงเส้นชนิดกระแสควบคุม	70
5.4	ความต้านทานไม่เป็นเชิงเส้นชนิดคักตาควบคุม	72
5.5	บทสรุป	75

บทที่ 6 ผลการทดลองและตัวอย่างการประยุกต์ใช้งาน 76

6.1	บทนำ	76
6.2	การทดสอบวงจรจ่ายกระแสไม่เป็นเชิงเส้น	76
6.3	การประยุกต์ใช้งานของวงจรความต้านทานไม่เป็นเชิงเส้น	78
6.4	บทสรุป	86

กิตติกรรมประกาศ 87

เอกสารอ้างอิง 88

ภาคผนวก ก	การหาค่าความต้านทานแบบลอยตัว ชนิดแปรผันตรงกับคักตาควบคุม	90
-----------	---	----

ภาคผนวก ข	การหาความสัมพันธ์ของกระแสอินพุทและกระแสเอาต์พุท ในวงจรสะท้อนกระแสแบบลบ	94
-----------	---	----

ภาคผนวก ค	การหาความสัมพันธ์ของคักตาอินพุทและคักตาเอาต์พุทของ	
-----------	--	--

เอกสารนี้เป็นเอกสารที่สงวนไว้สำหรับการใช้งานเพื่อการศึกษาเท่านั้น ไม่อนุญาตให้นำไปใช้ประโยชน์ด้านการค้า
วงจรตามคักตา 96

ไม่ว่ากรณีใดๆทั้งสิ้น อีกทั้งห้ามมิให้ดัดแปลงเนื้อหา และต้องอ้างอิงถึงเจ้าของเอกสารทุกครั้งที่มีการนำไปใช้

บทคัดย่อ

ในวิทยานิพนธ์นี้ได้เสนอหลักการสังเคราะห์ความต้านทานไม่เป็นเชิงเส้นอีกแนวทางหนึ่งโดยอาศัยหลักการของวงจรรวม ซึ่งหลักการออกแบบจะใช้วงจรถักกระแส (current limiter) ที่ได้พัฒนาขึ้นหลายชุดมาต่อร่วมกันเพื่อสังเคราะห์ความต้านทานไม่เป็นเชิงเส้นที่มีฟังก์ชันรูปแบบต่างๆตามที่ได้กำหนดขึ้น ความต้านทานไม่เป็นเชิงเส้นที่สังเคราะห์ขึ้นนี้จะมีความต้านทานชนิดลอยตัวและสามารถใช้งานได้ทั้งในรูปแบบของคิกคาควบคุมและกระแสควบคุม เพื่อเป็นการทดสอบและยืนยันถึงหลักการที่ได้เสนอขึ้นในวิทยานิพนธ์นี้ จึงได้ทดลองต่อวงจรเพื่อสังเคราะห์ความต้านทานไม่เป็นเชิงเส้นตามหลักการที่ได้กล่าวถึง โดยได้กำหนดฟังก์ชันไม่เป็นเชิงเส้นที่จะสังเคราะห์รูปแบบหนึ่งขึ้น และจากการทดสอบคุณลักษณะจำเพาะของความต้านทานไม่เป็นเชิงเส้นจะได้เส้นคุณลักษณะจำเพาะ (characteristic) ที่เหมือนกับฟังก์ชันที่ได้กำหนดไว้อย่างแม่นยำ

Abstract

This thesis proposes a method to synthesize integrable nonlinear resistances. New circuit elements termed as current-limiter are developed for realizable nonlinear resistances. Grounded and floating nonlinear resistances working in voltage-controlled mode or current-controlled mode can be easily synthesized. The performance of the circuits is confirmed by experimental realization.



บทที่ 1

บทนำ

1.1 กล่าวนำ

ความต้านทานไม่เป็นเชิงเส้นเป็นอนุภาค (element) ที่มีการประยุกต์และใช้งานกันอย่างกว้างขวาง เช่นเป็นตัววัดเชยความไม่เป็นเชิงเส้นของเทอร์โมคัปเปิล (thermocouples) เป็นตัวแปลงสัญญาณอนาล็อกเป็นดิจิตอล ใช้ในวงจรกำเนิดสัญญาณความถี่ เป็นตัวแปลงรูปสัญญาณ เป็นต้น โดยทั่วไปความต้านทานไม่เป็นเชิงเส้นสามารถที่จะสังเคราะห์ได้โดยอาศัยคุณลักษณะจำเพาะของอนุภาคจำพวกสารกึ่งตัวนำเช่น ไดโอด ซีเนอร์ไดโอด ทลเนลไดโอด ทรานซิสเตอร์ เป็นต้น แต่เนื่องจากคุณลักษณะจำเพาะ (characteristic) ของอนุภาคประเภทนี้จะมีรูปแบบที่แน่นอนซึ่งในบางกรณีจะไม่เหมาะสมกับการใช้งาน จึงได้มีการวิจัยและพัฒนาทางด้านวงจรขึ้นเพื่อที่จะสังเคราะห์ความต้านทานไม่เป็นเชิงเส้นให้มีคุณลักษณะจำเพาะตามที่ต้องการ แนวทางในการออกแบบวงจรเพื่อสังเคราะห์ความต้านทานไม่เป็นเชิงเส้นสามารถที่จะแบ่งออกได้เป็นสองแนวทางคือ การออกแบบวงจรแบบดิสครีท (discrete) และการออกแบบโดยใช้หลักการของวงจรรวม (integrated circuits) ในการออกแบบวงจรแบบดิสครีทส่วนใหญ่จะมีรูปแบบของความไม่เป็นเชิงเส้นที่แน่นอนและจะเป็นการออกแบบขึ้นเพื่อใช้เฉพาะกับงาน [1] ทำให้จะต้องออกแบบหรือมีการเปลี่ยนแปลงวงจรใหม่ทุกครั้ง เมื่อมีการเปลี่ยนแปลงรูปแบบของความไม่เป็นเชิงเส้น ซึ่งเป็นการยุ่งยากและความแม่นยำของเส้นคุณลักษณะจำเพาะของความต้านทานจะมีค่าผิดพลาดสูง เนื่องจากอนุภาคที่ใช้ในวงจรมีค่าพารามิเตอร์ต่างๆที่ไม่เป็นไปตามอุดมคติ ส่วนการออกแบบโดยใช้หลักการของวงจรรวมนั้นสามารถที่จะออกแบบให้เปลี่ยนแปลงฟังก์ชันของความไม่เป็นเชิงเส้นได้ง่าย โดยการต่อร่วมกันของวงจรความต้านทานไม่เป็นเชิงเส้นหลายๆชุด และความแม่นยำของเส้นคุณลักษณะจำเพาะจะมีค่าผิดพลาดน้อย ซึ่งจะได้อีกกล่าวถึงรายละเอียดในบทต่อไป

ซีฟ (passive) มาต่อร่วมกันบนชิ้นสารกึ่งตัวนำเดียวกัน ทำให้วงจรอิเล็กทรอนิกส์
ในรูปของวงจรรวมจะมีขนาดเล็กลง แต่มีประสิทธิภาพและขีดความสามารถในการ
ทำงานสูงและต้นทุนในการผลิตวงจรจะลดต่ำลง อีกทั้งการซ่อมบำรุงของอุปกรณ์ที่ใช้
วงจรรวมมีความยุ่งยากน้อยกว่าวงจรประเภทดิสครีท จึงทำให้มีการประยุกต์เอาวง
จรรวมมาแทนวงจรแบบดิสครีทในงานต่าง ๆ อย่างมากมายทั้งทางด้าน การสื่อสาร
อุตสาหกรรม เกษตรกรรม การคมนาคม เครื่องมือวัดและวิเคราะห์สัญญาณ เป็นต้น
ในวงจรรวมอนุกรมประเภทพาสซีฟโดยเฉพาะความต้านทานจะเป็นอนุกรมที่ต้องการเนื้อ
ที่ในชิ้นสารกึ่งตัวนำมาก ถ้าในวงจรรวมมีความต้านทานประกอบอยู่มาก จะทำให้
ชิ้นสารกึ่งตัวนำที่ทำเป็นวงจรรวมจะมีขนาดใหญ่ และค่าความต้านทานที่สังเคราะห์ได้
ในวงจรรวมจะมีค่าผิดพลาดสูง [2] ดังนั้นในการออกแบบวงจรจึงพยายามหลีกเลี่ยงการ
ใช้อนุกรมประเภทพาสซีฟ

1.2 วัตถุประสงค์ในการทำวิทยานิพนธ์

ในการทำวิทยานิพนธ์นี้จะเป็นการวิจัยและพัฒนาการออกแบบวงจร เพื่อสัง
เคราะห์อนุกรมไม่เป็นเชิงเส้นอีกแนวทางหนึ่ง ซึ่งจะใช้หลักการของวงจรรวมและจะ
เน้นเฉพาะการสังเคราะห์ความต้านทานไม่เป็นเชิงเส้นเท่านั้น โดยที่ความต้านทาน
ที่สังเคราะห์ขึ้นนี้จะ เป็นประเภทแอคทีฟและสามารถที่จะใช้งานได้ ในลักษณะของกร
แสควบคุมหรือคักตาควบคุม ค่าความไม่เป็นเชิงเส้นของความต้านทานจะไม่ขึ้นอยู่กับ
คุณลักษณะจำเพาะทางกายภาพของอนุกรมที่ใช้ในวงจร และสามารถที่จะเปลี่ยนแปลง
ความไม่เป็นเชิงเส้นให้เป็นรูปแบบใดก็ได้ ซึ่งความต้านทานไม่เป็นเชิงเส้นที่สัง
เคราะห์ขึ้นในวิทยานิพนธ์นี้จะ เป็นการประมาณค่าความไม่เป็นเชิงเส้นโดยใช้ความ
เป็นเชิงเส้นแบบช่วง (piecewise-linear)

1.3 รายละเอียดของวิทยานิพนธ์

เอกสารนี้เป็นเอกสารที่รวมไว้สำหรับการใช้งานเพื่อการศึกษาเท่านั้น ไม่อนุญาตให้นำไปใช้ประโยชน์ด้านการค้า
ในวิทยานิพนธ์นี้ได้แบ่งเนื้อหาออกเป็น 6 บท โดยในบทที่หนึ่งจะเป็นการ
ไม่วากรณีใดๆทั้งสิ้น อีกทั้งห้ามมิให้ดัดแปลงเนื้อหา และต้องอ้างอิงถึงเจ้าของเอกสารทุกครั้งหากนำไปใช้

กล่าวนำและวัตถุประสงค์ในการทำวิทยานิพนธ์ ส่วนในบทอื่นๆจะมีรายละเอียดดังต่อไปนี้

บทที่ 2 จะกล่าวถึงคุณลักษณะจำเพาะของความต้านทานเชิงเส้นและไม่เป็นเชิงเส้น และหลักการสังเคราะห์ความต้านทานไม่เป็นเชิงเส้นด้วยวิธีของฟังก์ชันตรรกยะและความเป็นเชิงเส้นแบบช่วง

บทที่ 3 ในบทนี้จะกล่าวถึงการสังเคราะห์ความต้านทานไม่เป็นเชิงเส้นโดยใช้วงจรแบบดิสครีท โดยจะเป็นการออกแบบวงจรความต้านทานแบบโพลีโนเมียลเพื่อนำมาสังเคราะห์ความต้านทานไม่เป็นเชิงเส้นแบบฟังก์ชันตรรกยะ การออกแบบวงจรความต้านทานเชิงเส้นแบบช่วงโดยใช้ซีเนอร์ไดโอด ไดโอดชนิดกระแสคงที่ และการออกแบบวงจรความต้านทานไม่เป็นเชิงเส้นโดยใช้วงจรสะท้อนกระแส (current mirror) และวงจรจำกัดศักดา (voltage limiter)

บทที่ 4 จะกล่าวถึงการสังเคราะห์ความต้านทานไม่เป็นเชิงเส้นโดยใช้หลักการของวงจรรวม ซึ่งหลักการออกแบบความต้านทานไม่เป็นเชิงเส้นในบทนี้จะใช้ความต้านทานเชิงเส้นแบบช่วงเป็นหลัก

บทที่ 5 เป็นการเสนอหลักการสังเคราะห์ความต้านทานไม่เป็นเชิงเส้นอีกแนวทางหนึ่ง ซึ่งจะใช้วงจรจำกัดกระแส (current limiter) เป็นหลักโดยที่การทำงานของวงจรจะอยู่ในรูปของกระแสทั้งหมด ทำให้ความต้านทานไม่เป็นเชิงเส้นที่สังเคราะห์ขึ้นมีความแม่นยำสูงและความผิดเพี้ยนของสัญญาณมีค่าต่ำ

บทที่ 6 ซึ่งเป็นบทสุดท้ายจะเป็นการทดสอบและการประยุกต์ใช้งานของวงจรความต้านทานไม่เป็นเชิงเส้นที่ได้นำเสนอในวิทยานิพนธ์นี้

ภาคผนวก ก จะเป็นการหาค่าความต้านทานของวงจรความต้านทานไม่เป็นเชิงเส้นชนิดแปรผันตรงกับศักดาควบคุม

ภาคผนวก ข จะเป็นการวิเคราะห์หาความสัมพันธ์ของกระแสอินพุทและกระแสเอาต์พุทของวงจรสะท้อนกระแสแบบลบ (negative current mirror)

ภาคผนวก ค จะเป็นการวิเคราะห์หาความสัมพันธ์ของศักดาอินพุทและศักดาเอาต์พุทของวงจรตามศักดา (voltage follower)



บทที่ 2

ความต้านทานเชิงเส้นและไม่เป็นเชิงเส้น

2.1 บทนำ

ความต้านทานเป็นอนุกลพื้นฐานที่สำคัญตัวหนึ่งในวงจรโครงข่ายไฟฟ้า โดยที่ความต้านทานสามารถแบ่งออกตามคุณลักษณะจำเพาะได้เป็นสองชนิดคือ ความต้านทานเชิงเส้นและความต้านทานไม่เป็นเชิงเส้น การสังเคราะห์ความต้านทานทั้งสองชนิดนี้นอกจากจะอาศัยคุณลักษณะทางกายภาพของสารตัวนำหรือสารกึ่งตัวนำแล้ว ยังสามารถที่จะสังเคราะห์ได้โดยใช้วงจรอิเล็กทรอนิกส์อีกด้วย โดยที่ในบทที่สองนี้จะเป็นการกล่าวถึงคุณลักษณะจำเพาะของความต้านทานเชิงเส้นและไม่เป็นเชิงเส้นและวิธีการประมาณค่าความไม่เป็นเชิงเส้นโดยใช้ฟังก์ชันตรรกยะและความเป็นเชิงเส้นแบบช่วง

2.2 คุณลักษณะจำเพาะของความต้านทานเชิงเส้นและไม่เป็นเชิงเส้น

2.2.1 ความต้านทานเชิงเส้น

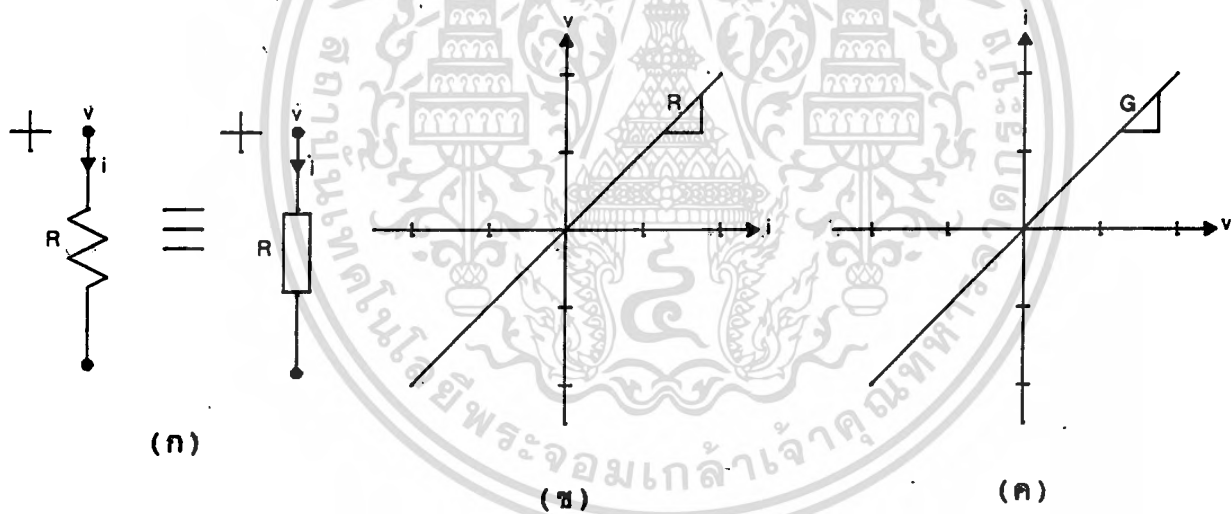
อนุกลที่มีความสัมพันธ์ระหว่างศักดาที่ตกคร่อมและกระแสที่ไหลผ่านตัวมันเป็นไปตามกฎของ Ohm's จะสามารถเรียกอนุกลนั้นว่าความต้านทาน โดยทั่วไปเมื่อกล่าวถึงความต้านทานมักจะหมายถึงความต้านทานเชิงเส้นซึ่งจะมีสัญลักษณ์แสดงในรูปที่ 2.2.1 (ก) และมีความสัมพันธ์ตามกฎของ Ohm's ดังสมการที่ (2.2.1) โดยที่ $v(t)$ เป็นศักดาที่ตกคร่อมความต้านทาน R และ $i(t)$ เป็นค่ากระแสที่ไหลผ่านความต้านทาน R ส่วน R และ G เป็นค่าความต้านทานและค่าความนำตามลำดับ เพราะฉะนั้น

เอกสารนี้เป็นเอกสารที่สงวนไว้สำหรับครูใช้งานเพื่อการศึกษาเท่านั้น ไม่อนุญาตให้นำไปใช้ประโยชน์ด้านการค้า
$$v(t) = Ri(t) \quad \text{หรือ} \quad i(t) = Gv(t) \quad (2.2.1)$$

ไม่ว่ากรณีใดๆทั้งสิ้น อีกทั้งห้ามมิให้ดัดแปลงเนื้อหา และต้องอ้างอิงถึงเจ้าของเอกสารทุกครั้งที่มีการนำไปใช้

ในรูปที่ 2.2.1 (ข) และ (ค) เป็นคุณลักษณะจำเพาะของความต้านทานเชิงเส้นบนระนาบ $v-i$ และ $i-v$ ตามลำดับซึ่งเขียนขึ้นจากสมการที่ (2.2.1) โดยที่ค่าความชันของเส้นกราฟก็คือค่าความต้านทานหรือค่าความนำ

จากกฎของ Ohm's ความสัมพันธ์ระหว่างศักดาและกระแสจะบอกเพียงว่าอนุภาคนั้นเป็นความต้านทานหรือไม่โดยที่ไม่ได้แบ่งแยกออกมาว่าเป็นความต้านทานเชิงเส้นหรือไม่เป็นเชิงเส้น ดังนั้นในวิทยานิพนธ์นี้จึงได้พิจารณาคุณลักษณะจำเพาะของความต้านทานอีกแนวทางหนึ่ง เพื่อที่จะแยกคุณลักษณะจำเพาะของความต้านทานทั้งสองชนิด โดยที่สามารถที่จะกล่าวได้ว่าอนุภาคที่เป็นความต้านทานจะต้องมีศักดา v ที่ตกคร่อมและกระแส i ที่ไหลผ่านตัวมันสอดคล้องกับสมการที่ (2.2.2)



รูปที่ 2.2.1 (ก) สัญลักษณ์ของความต้านทานเชิงเส้น (ข) และ (ค) คุณลักษณะจำเพาะบนระนาบ $v-i$ และ $i-v$



รูปที่ 2.2.2 สัญลักษณ์ของความต้านไม่เป็นเชิงเส้น

เอกสารนี้เป็นเอกสารที่สงวนไว้สำหรับการใช้งานเพื่อการศึกษาเท่านั้น ไม่อนุญาตให้นำไปใช้ประโยชน์ด้านการค้าไม่ว่ากรณีใดๆทั้งสิ้น อีกทั้งห้ามมิให้ตัดแปลงเนื้อหา และต้องอ้างอิงถึงเจ้าของเอกสารทุกครั้งที่มีการนำไปใช้

$$R_{\Sigma} = \{(v, i) : f(v, i) = 0\} \quad (2.2.2)$$

เมื่อ R_{Σ} คือความต้านทานและ $f(v, i)$ คือฟังก์ชันของศักดา v และกระแส i ซึ่งความสัมพันธ์ในสมการที่ (2.2.2) นี้แสดงให้เห็นว่าความต้านทาน R_{Σ} จะสัมพันธ์กับศักดา v และกระแส i โดยฟังก์ชัน $f(v, i) = 0$ หรืออาจกล่าวได้ว่าสมการที่ (2.2.2) ก็คือคุณลักษณะจำเพาะบนระนาบ $v-i$ เมื่อฟังก์ชัน $f(v, i) = 0$ และในกรณีของความต้านทานเชิงเส้นเงื่อนไขของ $f(v, i)$ จะเป็นดังนี้

$$f(v, i) = v - iR = 0 \quad \text{หรือ} \quad f(v, i) = i - Gv = 0 \quad (2.2.3)$$

เมื่อ v และ i เป็นศักดาที่ตกคร่อมและกระแสที่ไหลผ่านความต้านทาน R หรือความนำ G ตามลำดับ ซึ่งจะเห็นได้ว่าเงื่อนไขในสมการที่ (2.2.3) ก็คือกฎของ Ohm's ในสมการที่ (2.2.1) นั่นเอง โดยที่ความสัมพันธ์ของศักดา v และกระแส i จะแปรไปอย่างเป็นเชิงเส้นดังในรูปที่ 2.2.1 (ก) และ (ข) หรืออีกนัยหนึ่งสามารถที่จะกล่าวได้ว่าความต้านทานเชิงเส้นก็คือความต้านทานที่จะต้องมีส่วนคุณลักษณะจำเพาะ $v-i$ ที่เป็นเส้นตรงและลากผ่านจุดกำเนิด

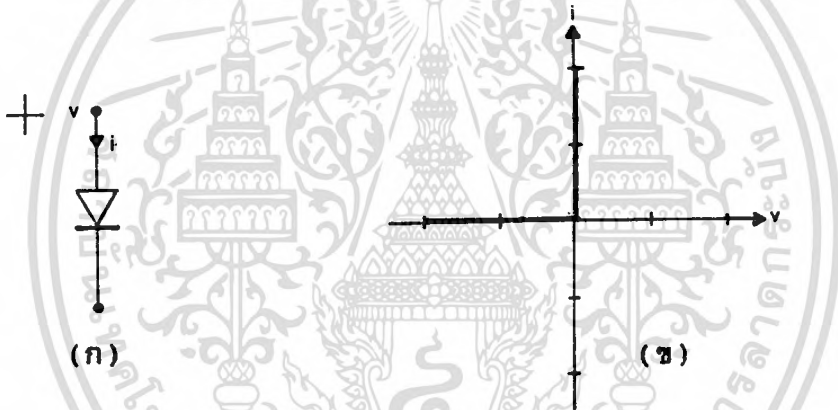
2.2.2 ความต้านทานไม่เป็นเชิงเส้น

จากสมการที่ (2.2.2) ส่วนที่จะเป็นตัวกำหนดคุณลักษณะจำเพาะของความต้านทานก็คือฟังก์ชัน $f(v, i)$ ดังนั้นอนุกรมหรือความต้านทานที่มีเงื่อนไขที่นอกเหนือไปจากสมการที่ (2.2.3) ก็สามารที่จะกล่าวได้ว่าความต้านทานหรืออนุกรมนั้นเป็นความต้านทานไม่เป็นเชิงเส้นซึ่งมีสัญลักษณ์ดังแสดงในรูปที่ 2.2.2 ตัวอย่างของความต้านทานไม่เป็นเชิงเส้นจะขอยกตัวอย่างที่รู้จักกันดี 3 ตัวอย่างดังนี้คือ

(ก) ไดโอดอุณหคณิต ซึ่งอาจจัดเป็นความต้านทานไม่เป็นเชิงเส้นที่มีคุณลักษณะจำเพาะดังแสดงในรูปที่ 2.2.3 จากรูปที่ 2.2.3 จะเห็นว่าไดโอดอุณหคณิตจะสละไมวารณิใดๆทั้งสิ้น อีกทั้งห้ามมิให้ตัดแปลงเนื้อหา และต้องอ้างอิงถึงเจ้าของเอกสารทุกครั้งที่มีการนำไปใช้

มารณแบ่งช่วงการทำงานออกเป็นสองช่วงคือ ในช่วงที่มีกระแส i ไหลผ่านไดโอด หรือไดโอดถูกไบอัสตรงซึ่งจะเป็นผลให้ศักดา v ที่ตกคร่อมไดโอดมีค่าเป็นศูนย์หรือสามารถที่จะกล่าวอีกนัยหนึ่งได้ว่าความต้านทานของไดโอดจะมีค่าเป็นศูนย์ และในช่วงที่ศักดา v มีค่าน้อยกว่าศูนย์หรือไดโอดถูกไบอัสกลับจะทำให้ไม่มีกระแส i ไหลผ่านไดโอดหรือก็คือความต้านทานของไดโอดจะมีค่าเป็นอนันต์ ดังนั้นจากผลของกระแส i และศักดา v ที่ไหลผ่านและตกคร่อมไดโอดตามลำดับสามารถที่จะแสดงความสัมพันธ์ได้ดังนี้

$$R_D = \{(v, i) : v i = 0, i = 0 \text{ เมื่อ } v < 0 \text{ และ } v = 0 \text{ เมื่อ } i > 0\} \quad (2.2.4)$$



รูปที่ 2.2.3 ไดโอดอุดมคติและคุณลักษณะจำเพาะ

จากสมการที่ (2.2.4) เงื่อนไขของความต้านทานไม่เป็นเชิงเส้นจะพิจารณาจากกำลังงานที่สูญเสียในตัวไดโอดอุดมคติซึ่งจะมีค่าเท่ากับศูนย์ เป็นผลให้สามารถที่จะแยกความต้านทานของไดโอดอุดมคติออกเป็นสองค่าคือศูนย์และอนันต์ซึ่งเป็นค่าที่ไม่ต่อเนื่องและไม่เป็นเชิงเส้น ดังนั้นจึงกล่าวได้ว่าไดโอดอุดมคติเป็นความต้านทานไม่เป็นเชิงเส้น

(ข) P-N ไดโอด เป็นไดโอดที่ใช้งานกันอยู่ทั่วไปซึ่งมีคุณลักษณะจำเพาะแสดงในรูปที่ 2.2.4 ซึ่งค่ากระแส i ที่ไหลผ่านไดโอดจะเป็นไปตามสมการ

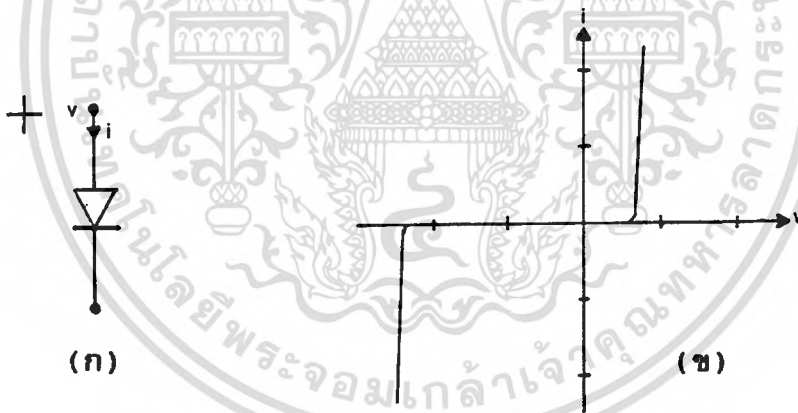
เอกสารนี้เป็นเอกสารที่สงวนไว้สำหรับการใช้งานเพื่อการศึกษาเท่านั้น ไม่อนุญาตให้นำไปใช้ประโยชน์ด้านการค้าไม่ว่ากรณีใดๆทั้งสิ้น อีกทั้งห้ามมิให้คัดแปลงเนื้อหา และต้องอ้างอิงถึงเจ้าของเอกสารทุกครั้งที่มีการนำไปใช้

$$i = I_s [\exp(v/V_T) - 1] = i(v) \tag{2.2.5}$$

โดยที่ I_s เป็นค่ากระแสอิ่มตัวในขณะที่ไดโอดถูกไบอัสกลับ v เป็นศักดาที่ตกคร่อมไดโอด V_T เป็นค่าศักดาที่ขึ้นอยู่กับอุณหภูมิ จากเงื่อนไขของความต้านทานในสมการที่ (2.2.2) สามารถเขียนได้ดังนี้

$$f(v, i) = i - i(v) = 0 \tag{2.2.6}$$

ซึ่งจะเห็นได้ว่าเป็นสมการไม่เป็นเชิงเส้นและถ้าค่ากระแส I_s และศักดา V_T คงที่ ค่ากระแส i ที่ไหลผ่านไดโอดก็จะขึ้นอยู่กับศักดา v ที่ตกคร่อมตัวไดโอดหรือสามารถที่จะกล่าวได้ว่ากระแส i จะถูกควบคุมโดยศักดา v ดังนั้นความต้านทานของ P-N ไดโอดจึงเป็นความต้านทานไม่เป็นเชิงเส้นชนิดศักดาควบคุม



รูปที่ 2.2.4 P-N ไดโอดและคุณลักษณะจำเพาะ

(ค) หลอดเรืองแสง เป็นที่ทราบดีอยู่แล้วว่าหลอดเรืองแสงจำพวกหลอดนีออนจะนำกระแสก็ต่อเมื่อมีศักดาตกคร่อมตัวหลอดถึงค่าหนึ่ง และในขณะที่หลอดนำกระแสจะเสมือนกับเป็นการลัดวงจรระหว่างขั้วทั้งสองของหลอดเป็นผลให้ศักดาที่ตกคร่อมระหว่างขั้วทั้งสองลดลง เส้นคุณลักษณะจำเพาะของหลอดเรืองแสงแสดงในรูปที่ 2.2.5 และสามารถที่จะเขียนเป็นฟังก์ชันได้ดังนี้

และ

$$f(v, i) = v - v(i) = 0 \quad (2.2.8)$$

จากสมการที่ (2.2.7) และ (2.2.8) คักตา v คือคักตาที่ตกคร่อมระหว่างขั้วของหลอดและกระแส i คือค่าของกระแสที่ไหลผ่านหลอดในช่วงที่หลอดนำกระแส ซึ่งจะเห็นได้ว่าคักตา v ที่ตกคร่อมขั้วหลอดจะขึ้นอยู่กับกระแส i ที่ไหลผ่านหลอดหรือจะกล่าวได้ว่ากระแส i จะเป็นตัวควบคุมคักตา v ที่ตกคร่อมหลอด ดังนั้นความต้านทานของหลอดเรืองแสงจึงเป็นความต้านทานไม่เป็นเชิงเส้นชนิดกระแสควบคุม



รูปที่ 2.2.5 หลอดเรืองแสงและคุณลักษณะจำเพาะ

2.3 หลักการสังเคราะห์ความต้านทานไม่เป็นเชิงเส้น

จากตัวอย่างที่กล่าวมาทั้งสามตัวอย่างจะเห็นได้ว่าเงื่อนไขของความไม่เป็นเชิงเส้น $f(v, i)$ จะมีรูปแบบที่แน่นอนทำให้การประยุกต์ใช้งานมีข้อจำกัดอยู่มาก ดังนั้นจึงได้มีการพัฒนาทางด้านวงจรขึ้นเพื่อสังเคราะห์ความต้านทานไม่เป็นเชิงเส้นที่มีรูปแบบตามที่ต้องการ การสังเคราะห์ความต้านทานไม่เป็นเชิงเส้นอาจทำได้สองวิธี [3] โดยวิธีแรกจะเป็นการประมาณค่าความไม่เป็นเชิงเส้นด้วยฟังก์ชันตรรกยะและวิธีที่สองจะเป็นการประมาณค่าโดยใช้ความเป็นเชิงเส้นแบบช่วง สำหรับในหัวข้อนี้จะกล่าวถึงวิธีการประมาณค่าความไม่เป็นเชิงเส้นของทั้งสองวิธี ส่วนการออกแบบเอกสารนี้เป็นเอกสารที่สงวนไว้สำหรับการใช้งานเพื่อการศึกษาเท่านั้น ไม่อนุญาตให้นำไปใช้ประโยชน์ด้านการค้า วงจรจะได้กล่าวถึงในบทต่อไป

ไม่ว่ากรณีใดๆ ทั้งสิ้น อีกทั้งห้ามมิให้ตัดแปลงเนื้อหา และต้องอ้างอิงถึงเจ้าของเอกสารทุกครั้งที่มีการนำไปใช้

2.3.1 การประมาณค่าด้วยฟังก์ชันตรรกยะ

ในทางคณิตศาสตร์รูปแบบของฟังก์ชันต่อเนื่องใดที่สามารถที่จะเขียนเป็นอนุกรมได้ดังนี้

$$w = c_0 + c_1 z + c_2 z^2 + \dots + c_n z^n \tag{2.3.1}$$

โดยที่ w เป็นฟังก์ชันต่อเนื่องใด c_0, \dots, c_n จะเป็นค่าคงที่และ z จะเป็นตัวแปรใด ฟังก์ชันในสมการที่ (2.3.1) สามารถที่จะหาได้จากอัตราส่วนของสองโพลิโนเมียลดังนี้

$$w = P(z)/Q(z) \tag{2.3.2}$$

โดยที่ $P(z)$ และ $Q(z)$ เป็นโพลิโนเมียลใดและสมการที่ (2.3.2) จะเป็นจริงก็ต่อเมื่อฟังก์ชัน $Q(z)$ จะต้องมีความไม่เท่ากับศูนย์และสมการที่ (2.3.2) นี้ก็คือฟังก์ชันตรรกยะ การประมาณค่าของฟังก์ชันต่อเนื่องใดด้วยฟังก์ชันตรรกยะนั้นจะได้ค่าที่มีความแม่นยำสูง แต่การประมาณค่าความไม่เป็นเชิงในวิธีนี้จะไม่สามารถที่จะประมาณค่าฟังก์ชันไม่ต่อเนื่องได้เพราะเหตุว่าฟังก์ชันไม่ต่อเนื่องจะกระจายอนุกรมได้ไม่ตลอดช่วง ทำให้การประมาณค่าความไม่เป็นเชิงเส้นด้วยฟังก์ชันตรรกยะจึงถูกใช้เฉพาะในฟังก์ชันต่อเนื่องเท่านั้น

2.3.2 การประมาณค่าด้วยความเป็นเชิงเส้นแบบช่วง

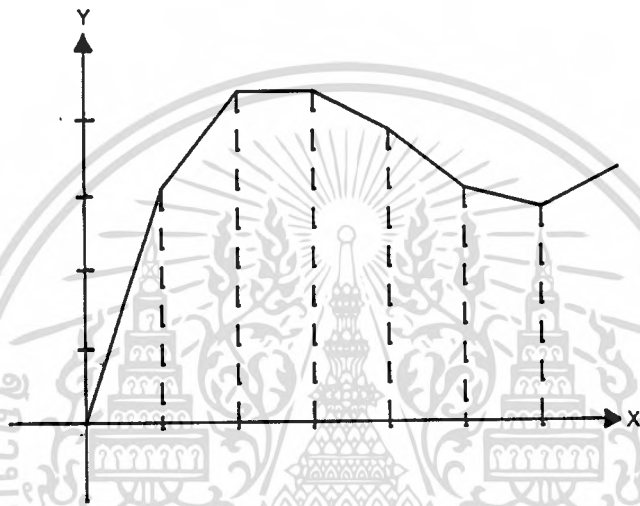
การประมาณค่าด้วยวิธีนี้จะทำการแบ่งฟังก์ชันรูปแบบใดออกเป็นช่วงๆ โดยแต่ละช่วงสามารถที่จะแทนได้ด้วยเส้นตรงดังแสดงในรูปที่ 2.3.1 ซึ่งเส้นตรงที่เป็นช่วงๆนี้จะเรียกว่าความเป็นเชิงเส้นแบบช่วง ดังนั้นในการประมาณค่าของฟังก์ชันรูปแบบใดจึงสามารถที่จะทำได้โดยการนำเอาความเป็นเชิงเส้นแบบช่วงมาต่อร่วมกัน

เอกสารนี้เป็นเอกสารที่สรวนไว้สำหรับการใช้งานเพื่อการศึกษาเท่านั้น ไม่อนุญาตให้ทำไปใช้ประโยชน์ด้านการค้าไม่ว่ากรณีใดๆทั้งสิ้น อีกทั้งห้ามแก้ไขเปลี่ยนแปลงเนื้อหา และต้องอ้างอิงถึงเจ้าของเอกสารทุกครั้งที่มีการนำไปใช้

ซึ่งสามารถที่จะเขียนเป็นสมการได้ดังนี้

$$Q(x) = \sum_{n=1}^m a_n X + b_n \quad (2.3.3)$$

โดยที่ $Q(x)$ เป็นฟังก์ชันใด ๆ ส่วน a_n และ b_n เป็นค่าคงที่ใด ๆ ในแต่ละช่วง n



รูปที่ 2.3.1 การประมาณค่าด้วยความเป็นเชิงเส้นแบบช่วง

2.4 บทสรุป

ความต้านทานคืออนุภาคที่มีความสัมพันธ์ของกระแสที่ไหลผ่านและศักดาที่ตกคร่อมตัวมัน เป็นไปตามกฎของ Ohm's และความต้านทานยังสามารถแบ่งออกได้เป็นสองชนิดคือความต้านทานเชิงเส้นและความต้านทานไม่เป็นเชิงเส้น โดยที่ความต้านทานไม่เป็นเชิงเส้นสามารถที่จะสังเคราะห์ได้จากการใช้คุณลักษณะจำเพาะของสารกึ่งตัวนำหรือการสังเคราะห์โดยใช้วงจรทางอิเล็กทรอนิกส์

บทที่ 3

การสังเคราะห์ความต้านทานไม่เป็นเชิงเส้น

3.1 บทนำ

การสังเคราะห์ความต้านทานไม่เป็นเชิงเส้นเป็นส่วนที่สำคัญส่วนหนึ่งในด้านการออกแบบวงจรโครงข่ายไฟฟ้า โดยทั่วไปการสังเคราะห์ความต้านทานไม่เป็นเชิงเส้นสามารถทำได้โดยอาศัยคุณลักษณะจำเพาะของอนุกลสารกึ่งตัวนำดังที่ได้กล่าวมาแล้วในบทที่ 2 เพื่อลดและหลีกเลี่ยงข้อจำกัดทางกายภาพของอนุกลจึงได้มีการวิจัยและพัฒนาทางด้านวงจรขึ้น เพื่อที่จะสังเคราะห์ความต้านทานไม่เป็นเชิงเส้นให้มีฟังก์ชันรูปแบบใดๆได้ สำหรับในบทที่ 3 นี้จะกล่าวถึงหลักการออกแบบวงจรไม่เป็นเชิงเส้นแบบดิสครีทโดยการประมาณค่าความไม่เป็นเชิงเส้นด้วยฟังก์ชันตรรกยะและความเป็นเชิงเส้นแบบช่วง

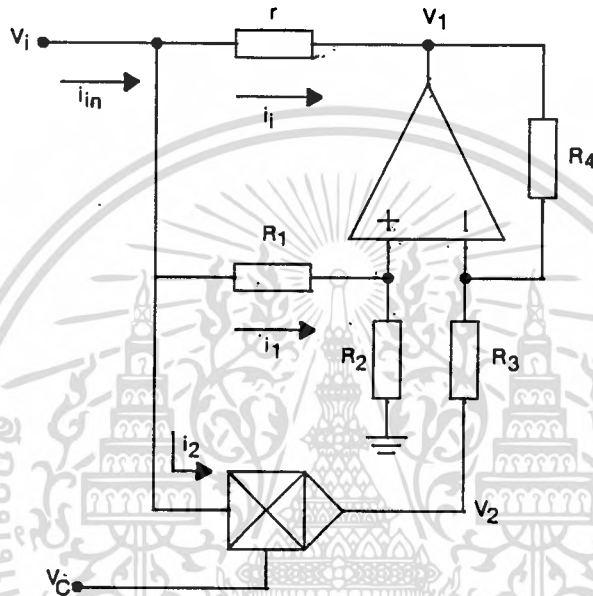
3.2 การประมาณค่าด้วยฟังก์ชันตรรกยะ

ความต้านทานไม่เป็นเชิงเส้นที่มีฟังก์ชันเป็นแบบต่อเนื่องนั้นสามารถที่จะประมาณค่าได้ด้วยฟังก์ชันตรรกยะดังที่ได้กล่าวมาแล้วในบทที่ 2 ดังนั้นในการสังเคราะห์ความต้านทานไม่เป็นเชิงเส้นในวิธีนี้จึงต้องอาศัยความต้านทานแบบโพลีโนเมียล ซึ่งในการออกแบบความต้านทานแบบโพลีโนเมียลนี้จะใช้วงจรคัตตาแปรค่าความต้านทานเป็นหลัก จากนั้นจึงนำวงจรความต้านทานแบบโพลีโนเมียล 2 วงจรที่มีค่าสัมประสิทธิ์ตามที่ได้กำหนดขึ้นมาหาอัตราส่วนโดยใช้คุณสมบัติของออปแอมป์ในวงจรขยายแบบบ้อนกลับ ซึ่งรายละเอียดการออกแบบวงจรจะได้อธิบายถึงดังต่อไปนี้

3.2.1 วงจรคัตตาแปรค่าความต้านทาน

เอกสารนี้เป็นเอกสารที่สงวนไว้สำหรับการใช้งานเพื่อการศึกษาเท่านั้น ไม่อนุญาตให้นำไปใช้ประโยชน์ด้านการค้า
วงจรถักคัตตาแปรค่าความต้านทานแบบพื้นฐาน
ไม่ว่ากรณีใดๆทั้งสิ้น อีกทั้งห้ามมิให้ดัดแปลงเนื้อหา และต้องอ้างอิงถึงเจ้าของเอกสารทุกครั้งที่มีการนำไปใช้

วงจรคักตาแปรค่าความต้านทานเป็นวงจรหลักที่จะใช้ในการสังเคราะห์ความต้านทานแบบโพลีโนเมียล ซึ่งจะประกอบไปด้วยออปแอมป์และตัวคูณแบบอนาลอก (analog multiplier) โดยมีวงจรแสดงในรูปที่ 3.2.1 การทำงานของวงจรถ้าสามารถอธิบายได้ดังนี้



รูปที่ 3.2.1 วงจรคักตาแปรค่าความต้านทานแบบพื้นฐาน

ถ้ากำหนดให้ผลรวมของกระแส i_1 และ i_2 มีค่าน้อยกว่ากระแส i_1 มากๆ ดังนั้นจึงสามารถที่จะประมาณได้ว่ากระแส i_1 จะมีค่าเท่ากับกระแสอินพุต i_{in} เมื่อกระแส i_{in} เป็นกระแสอินพุตที่เข้ามาในวงจร กระแส i_1 และ i_2 เป็นกระแสที่ไหลผ่านความต้านทาน r และ R_1 ตามลำดับ ส่วนกระแส i_2 เป็นกระแสอินพุตของตัวคูณแบบอนาลอก V_1 เป็นคักตาอินพุตที่ป้อนเข้าในวงจรและ V_2 เป็นคักตาคงที่ใดๆ เมื่อป้อนคักตา V_1 เข้ามาในวงจรจะสามารถหาค่าคักตา V_2 ได้ดังนี้

$$V_2 = (1 + R_4/R_3)[R_2/(R_1 + R_2)]V_1 - (R_4/R_3)V_2 \quad (3.2.1)$$

$$V_2 = kV_1 V_c \tag{3.2.3}$$

เมื่อ k เป็นค่าอัตราขยายของตัวคูณแบบบนาลอก และสำหรับค่ากระแส i_1 หาได้จาก

$$i_1 = (V_1 - V_2) / r \tag{3.2.2}$$

จากสมการที่ (3.2.1) และ (3.2.2) สามารถที่จะหากระแส i_1 ได้ดังนี้

$$i_1 = [1 - (R_2/R_3)(R_3 + R_4)/(R_1 + R_2) + k(R_4/R_3)V_c] V_1 / r \tag{3.2.3}$$

ถ้าให้ $R_1 = R_2$ และ $R_3 = R_4$ ดังนั้น

$$i_1 = (kV_c) V_1 / r \tag{3.2.4}$$

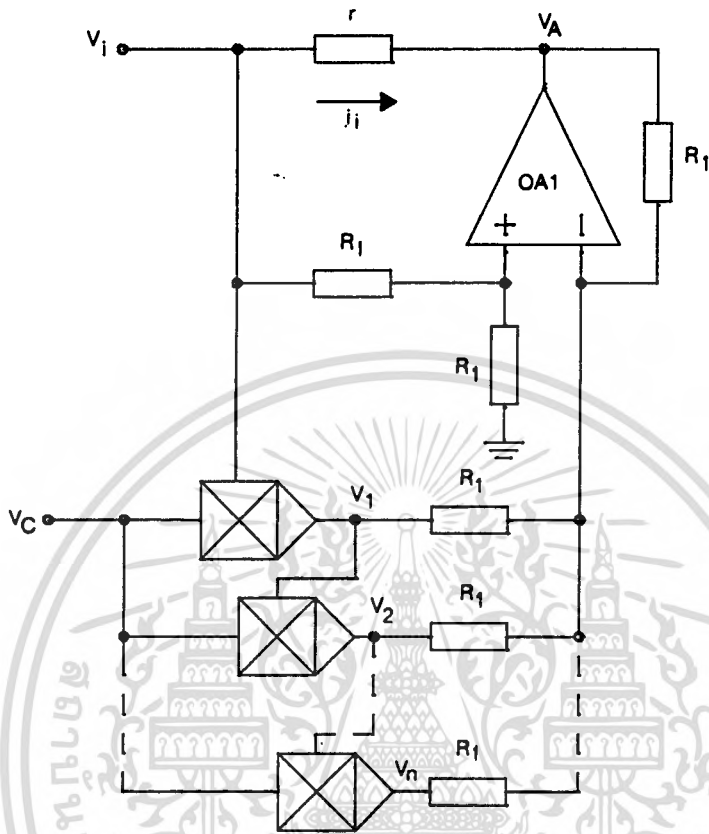
เมื่อพิจารณาความต้านทานที่เกิดขึ้นที่จุดอินพุทที่ป้อนศักดา V_1 ทำให้สามารถที่จะหาค่าความต้านทานได้ดังนี้

$$V_1 / i_1 = R_1 = r / kV_c \tag{3.2.5}$$

โดยที่ R_1 เป็นความต้านทานที่พิจารณาจากอินพุทของวงจรในรูปที่ 3.2.1 และจากสมการที่ (3.2.5) ค่าความต้านทาน R_1 ซึ่งเป็นความต้านทานของวงจรในรูปที่ 3.2.1 สามารถที่จะแปรค่าได้ด้วยศักดา V_c ดังนั้นจึงสามารถที่จะเรียกวงจรในรูปที่ 3.2.1 ได้ว่าเป็นวงจรศักดาแปรค่าความต้านทาน จากวงจรในรูปที่

3.2.1 สามารถที่จะพัฒนาให้มีค่าความต้านทานเป็นอนุกรมเลขยกกำลังหรือโพลิโน

เอกสารนี้เป็นเอกสารที่สงวนไว้สำหรับการใช้งานเพื่อการศึกษาเท่านั้น ไม่อนุญาตให้นำไปใช้ประโยชน์ด้านการค้า
 เมียลได้โดยการเพิ่มตัวคูณแบบบนาลอกเข้าไปในวงจรดังแสดงในรูปที่ 3.2.2
 ไม่วาทกรรมใดๆทั้งสิ้น อีกทั้งห้ามมิให้ตัดแปลงเนื้อหา และต้องอ้างอิงถึงเจ้าของเอกสารทุกครั้งที่มีการนำไปใช้



รูปที่ 3.2.2 วงจรค้ำค่าแปรค่าความต้านทานแบบโพลีโนเมียล

จากรูปที่ 3.2.2 สามารถที่จะหาค่าค้ำค่า V_1, \dots, V_n ได้ดังนี้

$$V_1 = kV_c V_i$$

$$V_2 = kV_c V_1 = k^2 V_c^2 V_i$$

⋮ ⋮ ⋮ ⋮

$$V_n = k^n V_c^n V_i$$

(3.2.6)

ในการทำงานเกี่ยวกับการหาความต้านทานอินพุทของวงจรในรูปที่ 3.2.1 สามารถที่จะหาความต้านทานอินพุทของวงจรในรูปที่ 3.2.2 ได้ดังนี้

เอกสารนี้เป็นเอกสารที่สงวนไว้สำหรับการใช้งานเพื่อการศึกษาเท่านั้น ไม่อนุญาตให้นำไปใช้ประโยชน์ด้านการค้า ไม่ว่าจะกรณีใดๆทั้งสิ้น อีกทั้งห้ามมิให้คัดแปลงเนื้อหา และต้องอ้างอิงถึงเจ้าของเอกสารทุกครั้งที่มีการนำไปใช้



$$i_1 = (V_1 - V_A) / r \tag{3.2.7}$$

เมื่อศักดา V_A คือศักดาเอาต์พุทของออปแอมป์ OA1 และศักดา V_1 จะมีค่าดังนี้

$$V_A = V_1 - \sum_{j=1}^n k^j V_{e_j} V_1 \tag{3.2.8}$$

จากสมการที่ (3.2.7) และ (3.2.8) จะได้ว่า

$$i_1 = V_1 \left(\sum_{j=1}^n k^j V_{e_j} \right) / r \tag{3.2.9}$$

หรือ

$$V_1 / i_1 = R_1 = r / \left(\sum_{j=1}^n k^j V_{e_j} \right) \tag{3.2.10}$$

จากสมการที่ (3.2.10) จะเห็นว่าความต้านทานอินพุทของวงจรในรูปที่ 3.2.2 จะมีค่าเป็นความต้านทานแบบโพลีโนเมียล

วงจรศักดาแปรค่าความต้านทานชนิดแปรผันตรงกับศักดาควบคุม

ค่าความต้านทานที่สังเคราะห์ได้จากวงจรในรูปที่ 3.2.1 และ 3.2.2 นั้นจะมีค่าที่แปรผกผันกับศักดา V_e หรืออีกนัยหนึ่งก็คือค่าความต้านทานจะลดลงเมื่อเพิ่มศักดา V_e ส่วนความต้านทานแปรผันตรงกับศักดา V_e อาจสังเคราะห์ได้โดยใช้วงจรในรูปที่ 3.2.3

การทำงานของวงจรในรูปที่ 3.2.3 จะมีลักษณะคล้ายกับการทำงานของวงจรในรูปที่ 3.2.1 โดยกำหนดให้ค่ากระแส i_1 มีค่ามากกว่าผลบวกของกระแส

i_1 และ i_2 มาก ดังนั้นค่ากระแส i_1 จึงเสมือนเป็นค่ากระแสอินพุทของวงจรไมวารณีใดๆทั้งสิ้น อีกทั้งยังมีให้ตัดแปลงเนื้อหา และต้องอ้างอิงถึงเจ้าของเอกสารทุกครั้งที่มีการนำไปใช้

$$V_1 = kV_2 V_2 - V_2 \tag{3.2.12}$$

ดังนั้นสมการที่จะหาค่ากระแส i_1 ได้ดังนี้

$$i_1 = (V_1 - V_2)/r = V_2/r \tag{3.2.13}$$

จากสมการที่ (3.2.11) และ (3.2.12) สามารถที่จะหาค่า V_2 ได้ดังนี้

$$V_2 = V_1 - (kV_2 - 1)V_2 = V_1/kV_2 \tag{3.2.14}$$

เมื่อแทนค่าสมการที่ (3.2.14) ลงในสมการที่ (3.2.13) จะได้ว่า

$$i_1 = V_1/krV_2 \tag{3.2.15}$$

และ

$$V_1/i_1 = R_1 = krV_2 \tag{3.2.16}$$

จากสมการที่ (3.2.16) ค่าความต้านทาน R_1 ซึ่งเป็นความต้านทานอินพุทของวงจรในรูปที่ 3.2.3 จะสามารถแปรค่าได้ด้วยศักดา V_2 เมื่อเพิ่มตัวคูณแบบอนาล็อกเข้าไปในวงจรรูปที่ 3.2.3 ก็สมการที่จะทำให้ความต้านทานที่ได้เป็นแบบโพลีโนมีนลตั้งวงจรในรูปที่ 3.2.4 โดยที่ค่าศักดา V_1, V_2, \dots, V_n เป็นศักดาเอาต์พุทของตัวคูณแบบอนาล็อกที่สามารถหาได้จาก

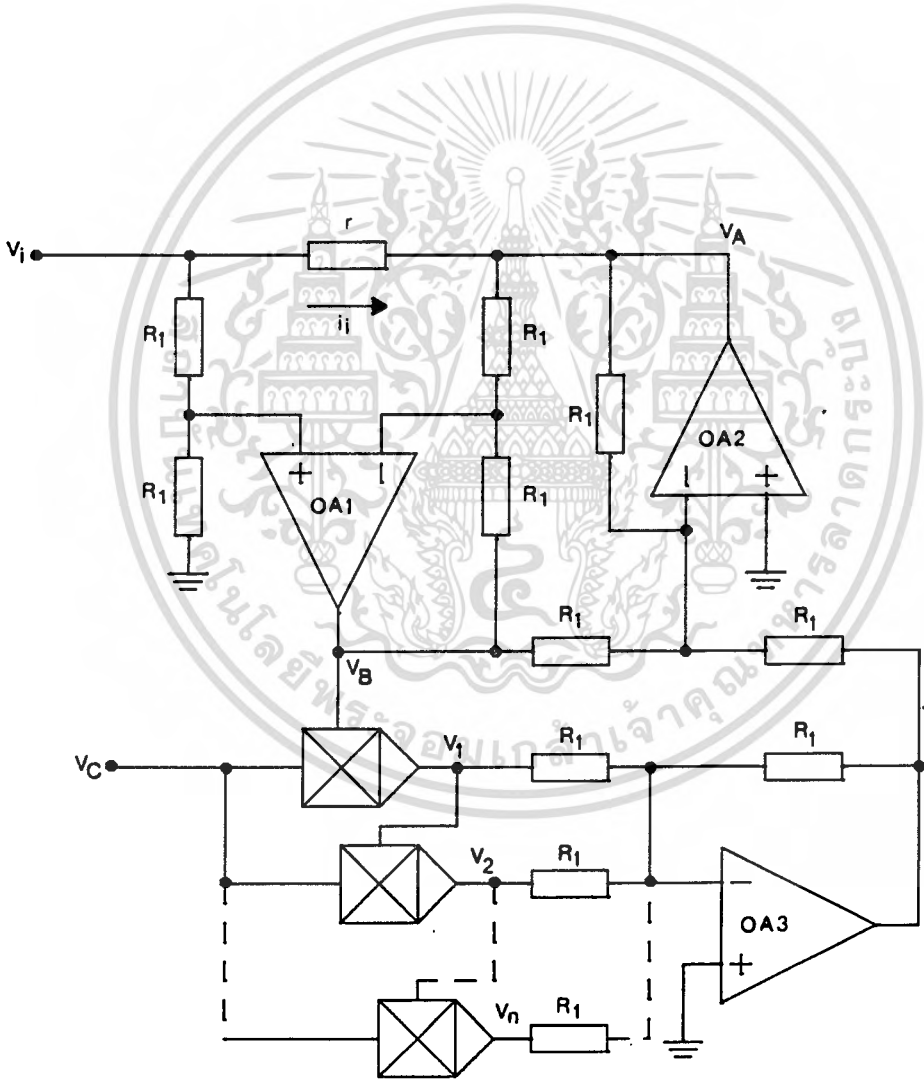
$$V_1 = kV_2 V_2$$

$$V_2 = kV_2 V_1 = k^2 V_2^2 V_2$$

$$V_n = k^n V_c^n V_m \tag{3.2.17}$$

เมื่อ V_m เป็นศักดาเอาท์พุทของออปแอมป์ OA1 และเนื่องจากออปแอมป์ OA3 ต่อเป็นวงจรรวมศักดาซึ่งจะทำการรวมศักดา V_1, \dots, V_n ดังนั้นศักดาที่เอาท์พุทของออปแอมป์ OA2 หรือ V_A จะมีค่าดังนี้

$$V_A = V_m \sum_{j=1}^n k^j V_c^j - V_m \tag{3.2.18}$$



รูปที่ 3.2.4 วงจรความต้านทานแบบโพลีโนเมียลชนิดแปรผันตรงกับศักดา V_c
 เอกสารนี้เป็นเอกสารที่สงวนลิขสิทธิ์ ซึ่งห้ามทำซ้ำโดยไม่ได้รับอนุญาตจากผู้จัดทำเอกสาร
 ไม่ว่าจะกรณีใดๆทั้งสิ้น อีกทั้งห้ามมิให้ตัดแปลงเนื้อหา และต้องอ้างอิงถึงเจ้าของเอกสารทุกครั้งที่มีการนำไปใช้

สำหรับออปแอมป์ OA1 จะต่อเป็นวงจรขยายความแตกต่างระหว่าง V_1 และ V_2 ดังนั้นคิกคาที่เอาต์พุต V_o จะมีค่าเท่ากับ $V_1 - V_2$ และจากสมการที่ (3.2.18) จะได้ว่า

$$V_o = V_1 - \left(\sum_{j=1}^n k^j V_{e^j} - 1 \right) V_o \quad (3.2.19)$$

หรือ

$$V_1 = V_o \sum_{j=1}^n k^j V_{e^j} \quad (3.2.20)$$

ส่วนค่ากระแส i_1 สามารถหาได้จาก

$$i_1 = (V_1 - V_2) / r = V_o / r \quad (3.2.21)$$

จากสมการที่ (3.2.20) และ (3.2.21) จะได้ว่า

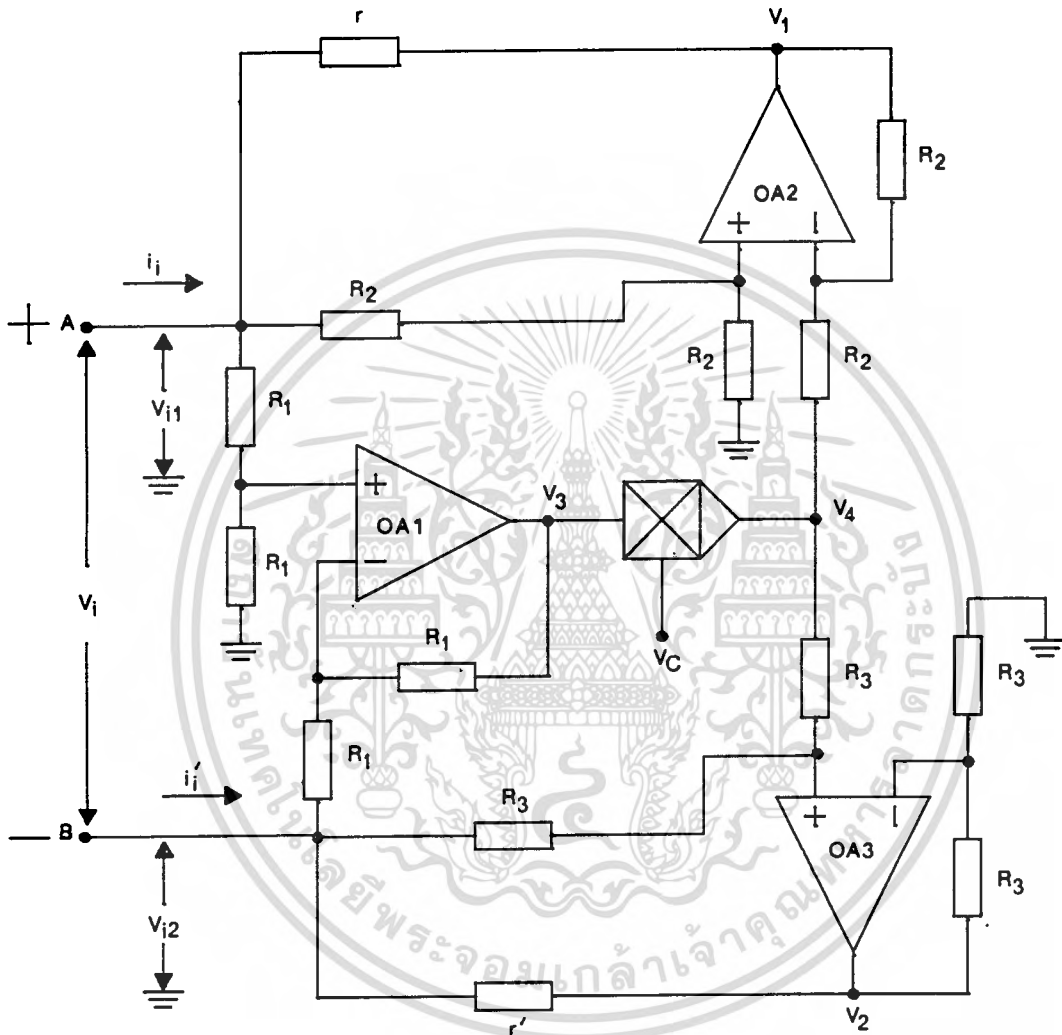
$$V_1 / i_1 = R_1 = r \sum_{j=1}^n k^j V_{e^j} \quad (3.2.22)$$

จากสมการที่ (3.2.22) จะเห็นได้ว่าความต้านทานของวงจรในรูปที่ 3.2.4 จะมีค่าเป็นความต้านทานที่มีฟังก์ชันเป็นโพลิโนเมียล

3.2.2 วงจรความต้านทานแบบลอยตัว

จากความต้านทานในรูปที่ 3.2.1 ถึง 3.2.4 ที่กล่าวมาแล้วนั้นจะเป็นความต้านทานแบบที่ปลายด้านหนึ่งต่อลงกราวด์เสมอทำให้การประยุกต์ใช้งานถูกจำกัด จึงได้พัฒนาวงจรขึ้นมาใหม่เพื่อให้ความต้านทานที่สังเคราะห์ได้เป็นแบบลอยตัว สำหรับในหัวข้อนี้จะยึดวงจรในรูปที่ 3.2.1 และ 3.2.4 เป็นหลักในการพัฒนาเป็นวงจรเอกสารนี้เป็นเอกสารที่สงวนไว้สำหรับการใช้งานเพื่อการศึกษาเท่านั้น ไม่อนุญาตให้นำไปใช้ประโยชน์ด้านการค้า ความต้านทานแบบลอยตัว วงจรความต้านทานแบบลอยตัวที่จะกล่าวถึงนี้จะใช้วงจรไมวากรณีใดๆทั้งสิ้น อีกทั้งยังมีให้คัดแปลงเนื้อหา และต้องอ้างอิงถึงเจ้าของเอกสารทุกครั้งที่มีการนำไปใช้

ความต้านทานแบบปลายด้านหนึ่งต่อลงกราวด์สองชุดมาต่อร่วมกันโดยจะใช้ตัวคูณแบบ
อนาลอกร่วมกันดังวงจรในรูปที่ 3.2.5 และ 3.2.6



รูปที่ 3.2.5 วงจรคักดาควบคุมความต้านทานแบบลอยตัว

จากรูปที่ 3.2.5 จะเป็นการพัฒนามาจากวงจรในรูปที่ 3.2.1 การทำงาน
ของวงจรก็ยิ่งเหมือนกับการทำงานของวงจรในรูปที่ 3.2.1 สำหรับการหาค่าความ
ต้านทานอินพุทระหว่างปลายทั้งสองของวงจรในรูปที่ 3.2.5 สามารถที่จะพิจารณาได้
ดังนี้ เมื่อป้อนศักดา V_1 เข้าที่ปลายทั้งสองของอินพุทจะทำให้เกิดคักดาตกร้อมระ
เอกสารที่เป็นเอกสารที่สมบรูณ์ไว้สำหรับการใช้รวมเพื่อการตีความเท่านั้น ไม่เอกสารให้นำไปใช้ประโยชน์ต่อ
ระหว่างปลายทั้งสอง เมื่อเทียบกับกราวด์มีค่าเท่ากับ V_{i1} และ V_{i2} และกำหนดให้
ไม่วากรณีใดๆทั้งสิ้น อีกทั้งห้ามมิให้ตัดแปลงเนื้อหา และต้องอ้างอิงถึงเลขของเอกสารทุกครั้งที่มีการนำไปใช้

กระแสที่ไหลผ่านความต้านทาน R_1 , R_2 และ R_3 มีค่าน้อยกว่ากระแสที่ไหลผ่านความต้านทาน r มากๆ ดังนั้นสามารถที่จะหาค่ากระแส i_1 และ i_1' ได้จาก

$$\begin{aligned}
i_1 &= (V_{11} - V_1)/r \\
i_1' &= (V_{12} - V_2)/r.
\end{aligned}
\tag{3.2.23}$$

ส่วนออปแอมป์ OA1 จะทำหน้าที่เป็นวงจรขยายความแตกต่างระหว่างอินพุตทั้งสอง ดังนั้นศักดาเอาต์พุต V_1 ของ OA1 จะมีค่าเท่ากับ $(V_{11} - V_{12})$ ซึ่งก็คือ V_1 สำหรับออปแอมป์ OA2 จะต่อเป็นวงจรขยายความแตกต่างเช่นเดียวกับ OA1 แต่จะให้ผลเอาต์พุต V_2 เป็นผลต่างระหว่างศักดา V_{11} และ V_2 ซึ่ง V_2 เป็นศักดาเอาต์พุตของตัวคูณแบบอนาล็อก ดังนั้นสามารถหาค่าศักดา V_1 ได้ดังนี้

$$\begin{aligned}
V_1 &= V_{11} - (V_{11} - V_{12})kV_2 \\
&= V_{11} - kV_1V_2
\end{aligned}
\tag{3.2.24}$$

ส่วนออปแอมป์ OA2 ต่อเป็นวงจรรวมศักดาซึ่งจะทำการรวมศักดา V_{12} และ V_2 ทำให้สามารถหาค่าของศักดา V_2 ได้ดังนี้

$$\begin{aligned}
V_2 &= V_{12} + (V_{11} - V_{12})kV_2 \\
&= V_{12} + kV_1V_2
\end{aligned}
\tag{3.2.25}$$

แทนค่าสมการที่ (3.2.24) และ (3.2.25) ลงในสมการที่ (3.2.23) จะได้ว่า

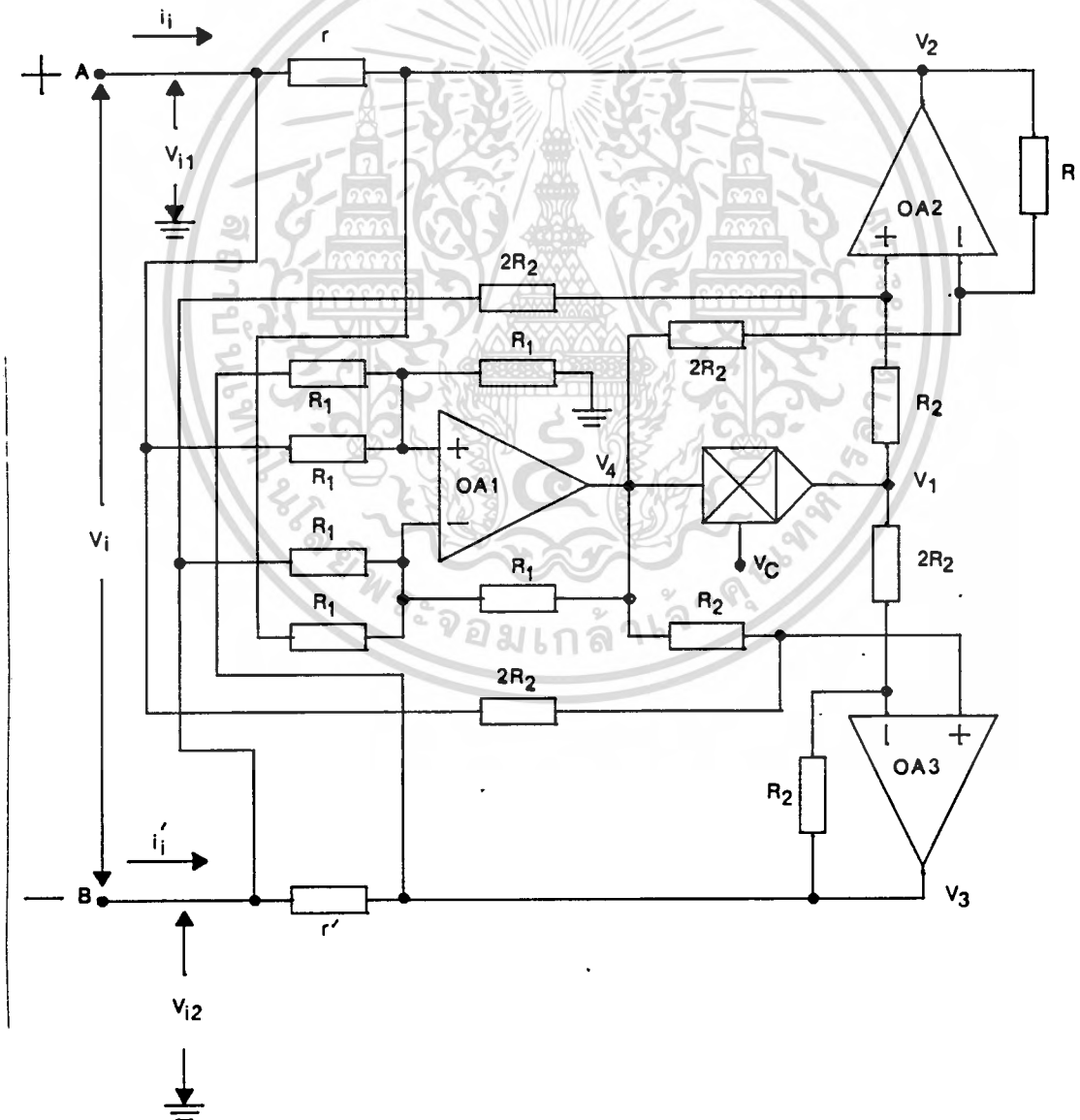
$$i_1 = -i_1' \tag{3.2.26}$$

และ

$$R_1 = V_1/i_1 = 1/k r V_2 \tag{3.2.27}$$

เอกสารนี้เป็นเอกสารที่สงวนไว้สำหรับการใช้งานเพื่อการศึกษาเท่านั้น ไม่อนุญาตให้นำไปใช้ประโยชน์ด้านการค้าไม่ว่ากรณีใดๆทั้งสิ้น อีกทั้งห้ามมิให้ตัดแปลงเนื้อหา และต้องอ้างอิงถึงเจ้าของเอกสารทุกครั้งที่มีการนำไปใช้

จากสมการที่ (3.2.26) จะเห็นได้ว่าจะให้ผลเหมือนกับสมการที่ (3.2.7) จึงสามารถสรุปได้ว่าวงจรในรูปที่ 3.2.5 เป็นวงจรคัตตาแปรค่าความต้านทานและจากสมการที่ (3.2.26) กระแสอินพุท i_i และ i_i' จะไหลเข้าสู่จุด A และ B ตามลำดับ แต่กระแส i_i' จะมีค่าเท่ากับ $-i_i$ จึงเสมือนกับมีกระแส i_i ไหลออกจากอินพุทที่จุด B ซึ่งจากทิศทางการไหลของกระแสอินพุททำให้วงจรในรูปที่ 3.2.5 มีลักษณะเหมือนกับอนุกรมแบบลอยตัว ดังนั้นจึงสามารถกล่าวได้ว่าวงจรในรูปที่ 3.2.5 เป็นวงจรคัตตาแปรค่าความต้านทานแบบลอยตัว



รูปที่ 3.2.6 วงจรคัตตาแปรค่าความต้านทานแบบลอยตัวชนิดแปรผันตรงกับคัตตา V_c
ไม่ว่ากรณีใดๆทั้งสิ้น อีกทั้งห้ามมิให้ตัดแปลงเนื้อหา และต้องอ้างอิงถึงเจ้าของเอกสารทุกครั้งที่มีการนำไปใช้

สำหรับวงจรในรูปที่ 3.2.6 จะเป็นวงจรที่พัฒนามาจากวงจรในรูปที่ 3.2.2 โดยที่ออปแอมป์ OA1 จะต่อเป็นวงจรขยายความแตกต่างที่จะขยายผลต่างของศักดาที่ตกคร่อม r และ r' และค่าความต้านทานสามารถเขียนได้เป็น

$$R_1 = V_1 / i_1 = krV_2 \quad (3.2.28)$$

จากสมการที่ (3.2.28) จะเห็นได้ว่าวงจรในรูปที่ 3.2.6 จะเป็นความต้านทานที่สามารถแปรค่าได้โดยศักดา V_2 และกระแสอินพุท i_1 จะไหลเข้าที่จุด A ส่วนกระแส i_1' จะไหลเข้าที่จุด B แต่เนื่องจากกระแส $i_1 = -i_1'$ จึงเสมือนกับว่ามีกระแส i_1 ไหลออกจากจุด B ซึ่งจากการไหลของกระแส i_1 นี้ทำให้วงจรความต้านทานในรูปที่ 3.2.6 จึงมีลักษณะเหมือนกับอนุกรมแบบลอยตัวจึงสามารถกล่าวได้ว่าเป็นความต้านทานแบบลอยตัว สำหรับการสังเคราะห์ความต้านทานแบบโพลีโนเมียลแบบลอยตัวก็จะเหมือนกับการสังเคราะห์ความต้านทานแบบลอยตัวดังที่ได้กล่าวมาแล้วจึงไม่ขอกล่าวถึงในที่นี้

3.2.3 วงจรความต้านทานไม่เป็นเชิงเส้นแบบฟังก์ชันตรรกยะ

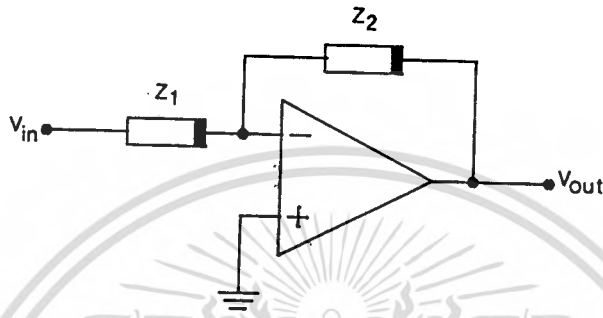
การสังเคราะห์ฟังก์ชันตรรกยะสามารถทำได้โดยการใช้วงจรขยายแบบกลับขั้วที่ใช้ออปแอมป์ดังแสดงในรูปที่ 3.2.7 ซึ่งค่าอัตราขยายของวงจรจะเท่ากับอัตราส่วนของความต้านทาน Z_2 และ Z_1 ถ้าให้ความต้านทาน Z_1 และ Z_2 เป็นวงจรความต้านทานแบบโพลีโนเมียลวงจรขยายในรูปที่ 3.2.7 ก็จะเป็นวงจรสังเคราะห์ฟังก์ชันตรรกยะ เมื่อนำหลักการของวงจรในรูปที่ 3.2.7 เข้าไปแทนตัวคุณแบบอนุกรมของวงจรในรูปที่ 3.2.1 หรือ 3.2.2 ก็จะได้เป็นวงจรความต้านทานไม่เป็นเชิงเส้นแบบฟังก์ชันตรรกยะแบบปลายด้านหนึ่งต่อลงกราวด์ดังแสดงในรูปที่ 3.2.8 และ 3.2.9 ในรูปที่ 3.2.8 ถ้ากำหนดให้กระแสที่ไหลผ่านความต้านทาน R_1 และ Z_1 มีค่าน้อยกว่ากระแส i_1 มากและความต้านทาน Z_1 และ Z_2 จะเป็นความต้านทานแบบโพลีโนเมียลที่กำหนดให้มีค่าดังนี้

ไม่ว่ากรณีใดๆทั้งสิ้น อีกทั้งห้ามมิให้คัดแปลงเนื้อหา และต้องอ้างอิงถึงเจ้าของเอกสารทุกครั้งที่มีการนำไปใช้

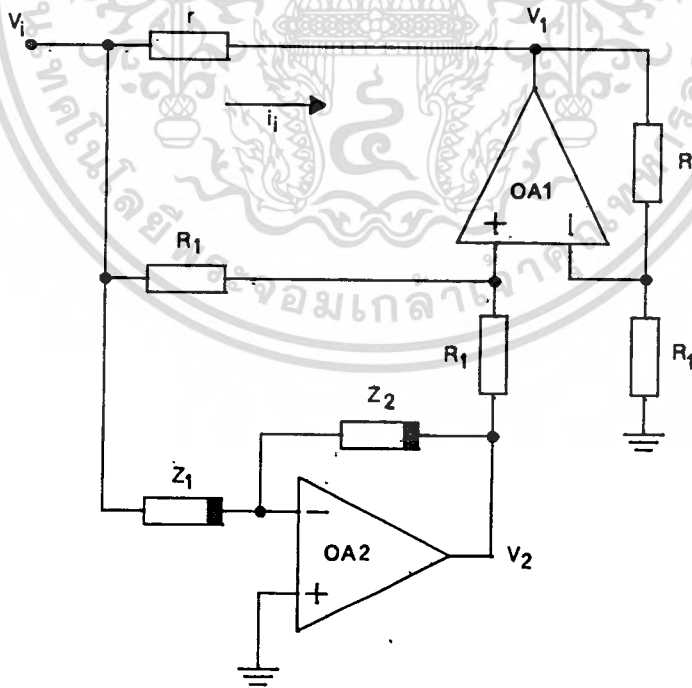
$$Z_1 = \sum_{j=0}^n a_j v_c^j$$

$$Z_2 = \sum_{k=0}^n b_k v_c^k$$

(3.2.29)



รูปที่ 3.2.7 วงจรขยายแบบกลับขั้ว



รูปที่ 3.2.8 วงจรความต้านทานไม่เป็นเชิงแบบฟังก์ชันตรรกยะ

เอกสารนี้เป็นเอกสารที่สงวนไว้สำหรับการใช้งานเพื่อการศึกษาเท่านั้น ไม่อนุญาตให้นำไปใช้ประโยชน์ด้านการค้า
 ที่พัฒนาจากรวงจรในรูปที่ 3.2.1
 ไม่ว่าจะกรณีใดๆทั้งสิ้น อีกทั้งห้ามมิให้ดัดแปลงเนื้อหา และะต้องอ้างอิงถึงเจ้าของเอกสารทุกครั้งที่มีการนำไปใช้

ออปแอมป์ OA1 ต่อเป็นวงจรรวมคักตาระหว่าง v_1 และ v_2 ซึ่งเป็นเอาต์พุทของวง
จรสังเคราะห์ฟังก์ชันตรรกยะ เมื่อป้อนคักดา v_1 ทำให้สามารถหาค่าคักดา v_2 ได้
ดังนี้

$$v_2 = v_1 - (Z_2/Z_1)v_1 \tag{3.2.30}$$

และกระแส i_1 สามารถหาได้จาก

$$i_1 = (v_1 - v_2)/r \tag{3.2.31}$$

เมื่อแทนค่าสมการที่ (3.2.30) ลงในสมการที่ (3.2.31) จะได้ว่า

$$i_1 = Z_2 v_1 / Z_1 r \tag{3.2.32}$$

หรือ

$$R_1 = v_1 / i_1 = r(Z_1/Z_2) = r\left(\frac{\sum_{j=0}^n a_j v_c^{-j}}{\sum_{k=0}^m b_k v_c^{-k}}\right) \tag{3.2.33}$$

จากสมการที่ (3.2.33) ค่าความต้านทาน R_1 จะเป็นฟังก์ชันตรรกยะ ดัง
นั้นวงจรในรูปที่ 3.2.8 จึงเป็นวงจรสังเคราะห์ความต้านทานไม่เป็นเชิงเส้นแบบ
ฟังก์ชันตรรกยะ

สำหรับวงจรในรูปที่ 3.2.9 สามารถที่จะหาค่าความต้านทานของวงจรได้ดัง
นี้ เมื่อป้อนคักดา v_1 เข้าที่อินพุทของวงจร ออปแอมป์ OA3 จะทำหน้าที่เป็นวงจร
ขยายความแตกต่างระหว่างคักดา v_1 และ v_2 ทำให้เกิดคักดาเอาต์พุท v_3 ดังนี้

$$v_3 = v_1 - v_2 \tag{3.2.34}$$

เอกสารนี้เป็นเอกสารที่สงวนไว้สำหรับการใช้งานเพื่อการศึกษาเท่านั้น ไม่อนุญาตให้นำไปใช้ประโยชน์ด้านการค้า
ไม่ว่ากรณีใดๆทั้งสิ้น อีกทั้งห้ามมิให้คัดแปลงเนื้อหา และต้องอ้างอิงถึงเจ้าของเอกสารทุกครั้งที่มีการนำไปใช้

สำหรับออปแอมป์ OA1 จะทำหน้าที่เป็นวงจรรวมค้ำคาระหว่าง V_3 และ V_2 โดยที่ค้ำคา V_2 คือค้ำคาเอาต์พุทของวงจรสังเคราะห์ฟังก์ชันที่ขั้นตรรกยะซึ่งสามารถหาได้จาก

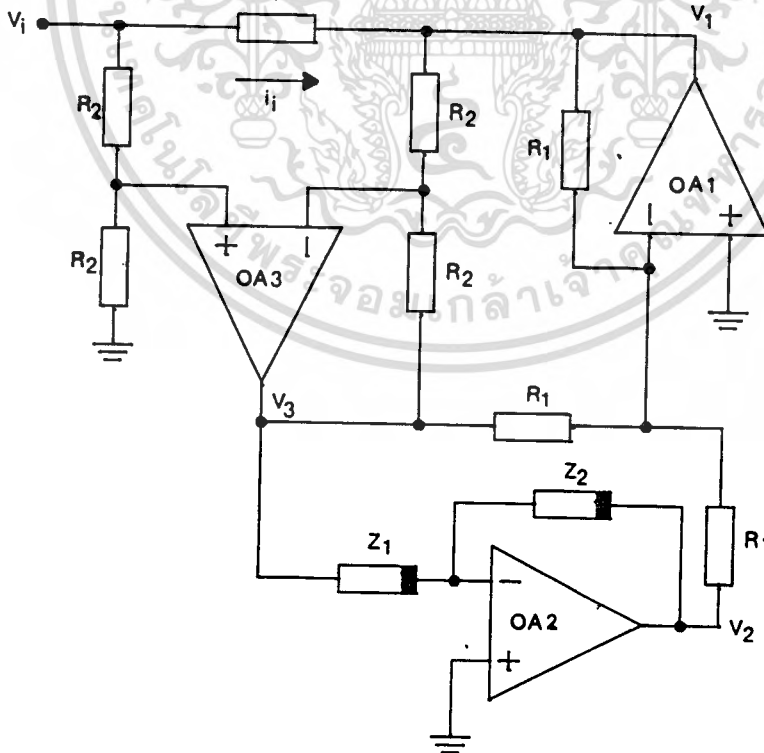
$$V_2 = - (Z_2/Z_1) V_3 = - \left(\frac{\sum_{j=0}^n a_j V_{e^j}}{\sum_{k=0}^m b_k V_{e^k}} \right) V_3 \quad (3.2.35)$$

และค้ำคาเอาต์พุท V_1 ของออปแอมป์ OA1 จะมีค่าดังนี้

$$V_1 = - (V_3 + V_2) \quad (3.2.36)$$

หรือ

$$V_1 = [(Z_2 - Z_1) - 1] V_3 \quad (3.2.37)$$



รูปที่ 3.2.9 วงจรความต้านทานไม่เป็นเชิงเส้นแบบฟังก์ชันตรรกยะ

เอกสารนี้เป็นเอกสารที่สงวนไว้สำหรับการใช้งานเพื่อการศึกษาเท่านั้น ไม่อนุญาตให้นำไปใช้ประโยชน์ด้านการค้า
ที่พัฒนาจากวงจรในรูปที่ 3.2.3
ไม่ว่ากรณีใดๆทั้งสิ้น อีกทั้งห้ามมิให้ตัดแปลงเนื้อหา และต้องอ้างอิงถึงเจ้าของเอกสารทุกครั้งที่มีการนำไปใช้

แทนค่าสมการที่ (3.2.37) ลงในสมการที่ (3.2.34) จะได้ว่า

$$V_2 = (Z_1/Z_2)V_1 \tag{3.2.38}$$

สำหรับค่ากระแส i_1 สามารถหาได้จาก

$$i_1 = (V_1 - V_2)/r = V_2/r \tag{3.2.39}$$

เมื่อแทนค่า V_2 ในสมการที่ (3.2.38) ลงในสมการที่ (3.2.39) จะได้

$$i_1 = Z_1 V_1 / Z_2 r \tag{3.2.40}$$

หรือ

$$R_1 = V_1 / i_1 = r \left(\frac{\sum_{k=0}^m b_k V_1^k}{\sum_{j=0}^n a_j V_1^j} \right) \tag{3.2.41}$$

จากสมการที่ (3.2.41) ความต้านทานที่สังเคราะห์โดยวงจรในรูปที่ 3.2.9 จะเป็นความต้านทานไม่เป็นเชิงเส้นแบบฟังก์ชันตรรกยะ การประมาณค่าความไม่เป็นเชิงเส้นด้วยฟังก์ชันตรรกยะนั้นสามารถที่จะสังเคราะห์ความไม่เป็นเชิงเส้นให้มีรูปแบบต่อเนื่องใดๆได้ แต่ฟังก์ชันตรรกยะจะไม่สามารถที่จะประมาณค่าความไม่เป็นเชิงเส้นแบบไม่ต่อเนื่องได้

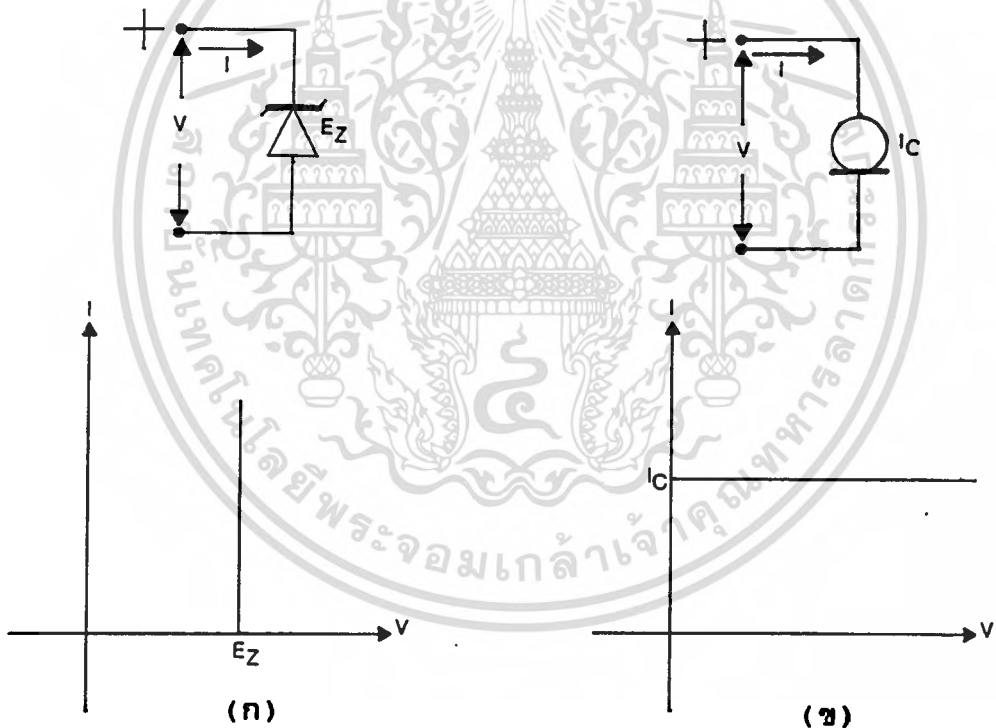
3.3 การประมาณค่าด้วยความเป็นเชิงเส้นแบบช่วง

การสังเคราะห์ความต้านทานไม่เป็นเชิงเส้นด้วยความเป็นเชิงเส้นแบบช่วง เป็นวิธีที่ใช้กันมากเนื่องจากมีความซับซ้อนและยุ่งยากน้อยกว่าแบบใช้ฟังก์ชันตรรกยะ อีกทั้งยังสามารถออกแบบให้ใช้กับฟังก์ชันทั้งต่อเนื่องและไม่ต่อเนื่องได้ ในการออกแบบวงจรนี้แบ่งเอกสารที่สามารถใช้ได้กับการสังเคราะห์ความไม่เป็นเชิงเส้นไปใช้ประโยชน์ด้านการคำนวณวาทกรรมใดๆทั้งสิ้น อีกทั้งห้ามมิให้ตัดแปลงเนื้อหา และต้องอ้างอิงถึงเจ้าของเอกสารทุกครั้งที่มีการนำไปใช้

แบบวงจรความต้านทานเชิงเส้นแบบช่วงจะใช้อนุกรมจำพวกไดโอดเป็นหลักในการกำหนดช่วงของความเป็นเชิงเส้น

3.3.1 การสังเคราะห์ความต้านทานไม่เป็นเชิงเส้นโดยใช้ซีเนอร์ไดโอดและไดโอดชนิดกระแสคงที่

ความเป็นเชิงเส้นแบบช่วงสามารถที่จะสังเคราะห์ได้โดยใช้คุณลักษณะจำเพาะของไดโอดซีเนอร์ไดโอด หรือไดโอดชนิดกระแสผ่านคงที่ [9] คุณลักษณะจำเพาะของซีเนอร์ไดโอดและไดโอดชนิดกระแสผ่านคงที่แสดงในรูปที่ 3.3.1



รูปที่ 3.3.1 สัญญาณลักษณะและคุณลักษณะจำเพาะของซีเนอร์ไดโอด (ก) และไดโอดชนิดกระแสคงที่ (ข)

จากคุณลักษณะจำเพาะของอนุกรมดังกล่าวเมื่อนำมาต่อร่วมกันโดยกำหนดให้ไดโอดแต่ละตัวมีจุด E_Z หรือ I_C ให้มีค่าต่างหากัน ทำให้ผลรวมของกระแสหรือศักดาที่ป้อนให้กับวงจรจะมีค่าไม่เป็นเชิงเส้นดังในรูปที่ 3.3.2 (ก) เป็นคุณลักษณะจำเพาะของไม่ว่ากรณีใดๆทั้งสิ้น อีกทั้งห้ามมิให้ตัดแปลงเนื้อหา และต้องอ้างอิงถึงเจ้าของเอกสารทุกครั้งที่มีการนำไปใช้

ความต้านทานไม่เป็นเชิงเส้นที่กำหนดขึ้น ซึ่งจะเห็นได้ว่าเส้นโค้งของความต้านทานสามารถที่จะประมาณได้ด้วยเส้นตรงที่เป็นช่วงๆ

จากรูปที่ 3.3.2 (ก) สามารถที่จะหาค่าของความต้านทานในแต่ละช่วง (r_j) ได้ดังนี้

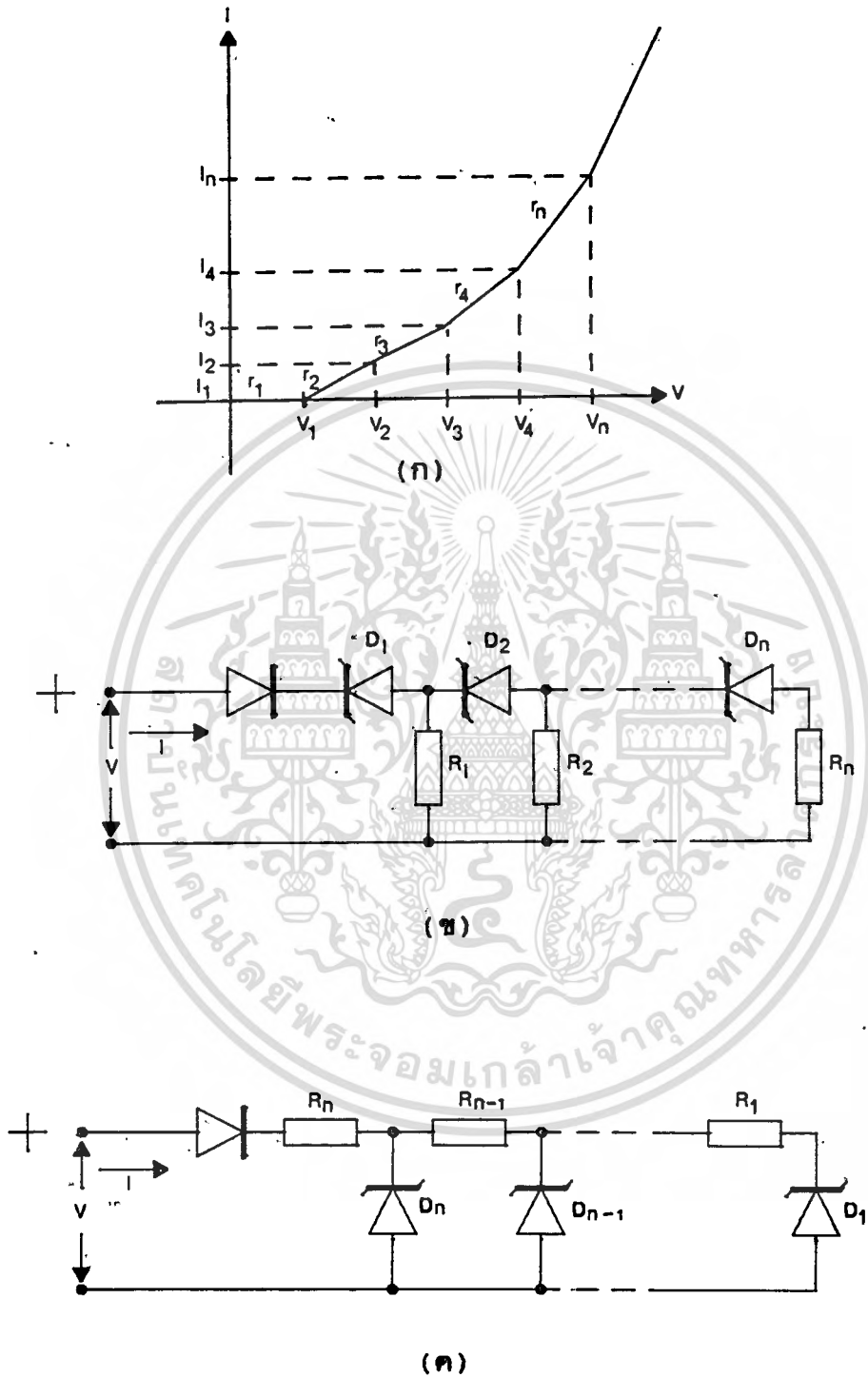
$$r_j = (V_{j+1} - V_j) / (I_{j+1} - I_j) \quad (3.3.1)$$

โดยที่ $j = 1, 2, 3, \dots, n$ การประมาณค่าความต้านทานในแต่ละช่วงนี้อาจทำได้โดยนำซีเนอร์ไดโอดมาต่อกันแบบอนุกรมดังแสดงในรูปที่ 3.3.2 (ข) และแบบขนานดังแสดงในรูปที่ 3.3.2 (ค) ซึ่งจะกล่าวถึงรายละเอียดของวงจรทั้งสองแบบดังต่อไปนี้

การประมาณค่าโดยใช้ซีเนอร์ไดโอดต่อแบบอนุกรม

สำหรับรูปที่ 3.3.2 (ข) ถ้าใช้ซีเนอร์ไดโอด D_j มีศักดาซีเนอร์เท่ากับ E_j โดยที่ $E_1 < E_2 < E_3 < \dots$ และ R_j เป็นความต้านทานโหลดของซีเนอร์ไดโอด เมื่อให้ศักดา V เพิ่มขึ้นซีเนอร์ไดโอด D_j จะนำกระแส เมื่อ $V \geq E_j$ เป็นผลให้มีกระแสไหลผ่าน R_j เกิดเป็นศักดาตกคร่อม R_j เมื่อศักดาตกคร่อม R_j มีค่ามากกว่า E_2 ซีเนอร์ไดโอด D_2 ก็จะนำกระแสเป็นผลให้เกิดศักดาตกคร่อม R_2 ขึ้น เมื่อเพิ่มศักดา V ขึ้นไปอีกก็จะเกิดการทำงานในลักษณะดังที่ผ่านมากับซีเนอร์ไดโอดตัวต่อไป เมื่อนำเอาวงจรในรูปที่ 3.3.2 (ข) ไปประมาณความเป็นเชิงเส้นในแต่ละช่วงที่แสดงในกราฟรูปที่ 3.3.2 (ก) ทำให้สามารถที่จะหาค่า E_j และ R_j ได้จาก

$$E_j = (V_j - V_{j-1}) \quad (3.3.2)$$



รูปที่ 3.3.2 (ก) เส้นคุณลักษณะจำเพาะของความต้านทานไม่เป็นเชิงเส้น
(ข) การประมาณค่าโดยใช้ซีเนอร์ไดโอดต่ออนุกรม
(ค) การประมาณค่าโดยใช้ซีเนอร์ไดโอดต่อขนาน

เอกสารนี้เป็นเอกสารที่สงวนไว้สำหรับการใช้งานเพื่อการศึกษาเท่านั้น ไม่อนุญาตให้นำไปใช้ประโยชน์ด้านการค้า
ไม่ว่ากรณีใดๆทั้งสิ้น อีกทั้งห้ามมิให้ตัดแปลงเนื้อหา และต้องอ้างอิงถึงเจ้าของเอกสารทุกครั้งที่มีการนำไปใช้

ดังนี้

$$r_j = R_j // r_{j-1} \tag{3.3.3}$$

โดยที่ r_j เป็นค่าความต้านทานในแต่ละช่วงของกราฟรูปที่ 3.3.2 (ก) หรือสามารถหาค่า r_j ได้ดังนี้

$$r_j = (R_j r_{j-1}) / (R_j + r_{j-1}) \tag{3.3.4}$$

ซึ่งจะได้ว่า

$$R_j = r_j r_{j-1} / (r_{j-1} - r_j) \tag{3.3.5}$$

การประมาณค่าโดยใช้รีเนอร์ไดโอดต่อแบบขนาน

ส่วนในรูปที่ 3.3.2 (ค) สามารถหาค่า R_j และ E_j ได้ในทำนองเดียวกันคือ เมื่อ $j = 1$ จะได้ว่า

$$E_j = V_j \tag{3.3.6}$$

และที่ $j = 2, 3, \dots, n$ จะได้

$$E_j = E_{j-1} + R_{j-1} \sum_{k=1}^{j-1} (V_{n+1} - V_n) / r_k \tag{3.3.7}$$

และ

เอกสารนี้เป็นเอกสารที่สงวนไว้สำหรับการใช้งานเพื่อการศึกษาเท่านั้น ไม่อนุญาตให้นำไปใช้ประโยชน์อื่นใด
แม้ว่ากรณีใดๆทั้งสิ้น อีกทั้งห้ามมิให้ตัดแปลงเนื้อหา และต้องอ้างอิงถึงเจ้าของเอกสารทุกครั้งที่มีการนำไปใช้ $R_j = R_j + r_{j+1}$ (3.3.8)

หรือ

$$R_j = r_j - r_{j+1} \tag{3.3.9}$$

ส่วนในกรณีที่ $j = n$ จะได้

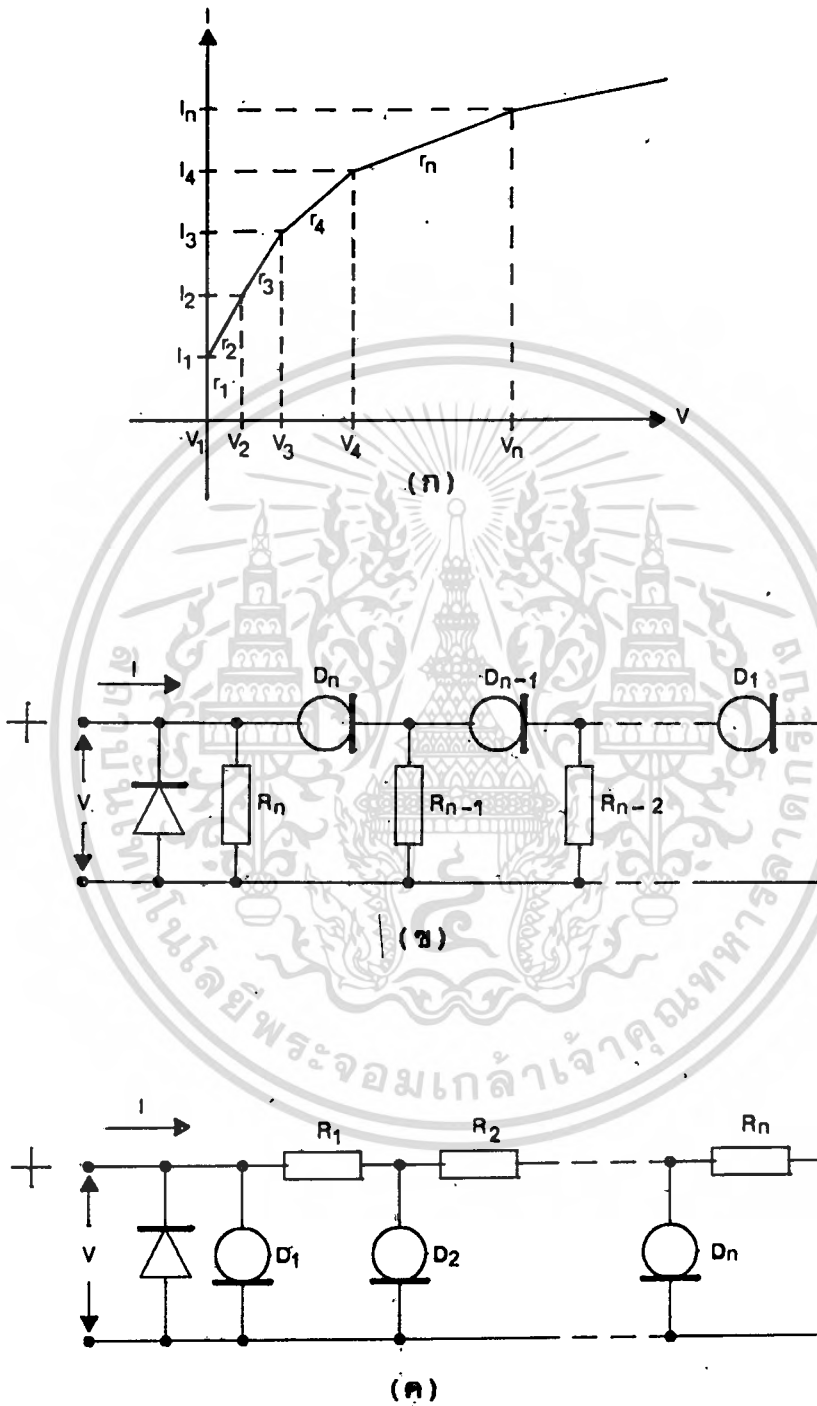
$$R_j = r_j \tag{3.3.10}$$

การประมาณค่าโดยใช้ไดโอดชนิดกระแสแสงที่

ความต้านทานไม่เป็นเชิงเส้นอาจสังเคราะห์ได้จากวงจรที่ใช้ไดโอดชนิดกระแสแสงที่ตั้งแสดงในรูปที่ 3.3.3 ซึ่งจะมีการทำงานเหมือนกับแบบแรกที่ใช้ซีเนอร์ไดโอดที่มีการทำงานในรูปของคัทคา แต่วงจรที่ใช้ไดโอดชนิดกระแสแสงที่จะทำงานในรูปของกระแส จากรูปที่ 3.3.3 (ข) จะเห็นได้ว่าเมื่อบ็อนกระแส I เข้าไปในวงจร ไดโอดชนิดกระแสแสงที่จะมีคัทคาตกคร่อมเป็นศูนย์ดังนั้นคัทคาที่ตกคร่อมวงจรก็จะเป็นศูนย์ด้วย เมื่อกระแส $I \geq I_1$ ไดโอด D_1 จะนำกระแสคัทคาที่ I_1 และจะเกิดมีคัทคาตกคร่อม D_1 ขึ้นเนื่องจากคัทคาที่เกิดจากกระแส $(I - I_1)$ ไหลผ่าน R_1 เมื่อ $I \geq I_2$ ไดโอด D_2 ก็จะนำกระแสคัทคาที่ I_2 และในขณะเดียวกันก็จะมีกระแส $(I - I_2)$ ไหลผ่านความต้านทาน R_2 ด้วยจึงเกิดเป็นคัทคาตกคร่อม R_2 ส่วน R_1 จะยังคงมีกระแสคัทคาที่ไหลผ่านอยู่คือ $(I_2 - I_1)$ ดังนั้นคัทคาที่ตกคร่อม R_2 จึงเริ่มจากคัทคาที่ตกคร่อม R_1 ในทำนองเดียวกันเมื่อกระแส $I > I_3$ ก็จะเกิดการทํางานในลักษณะเดียวกับที่ผ่านมาข้างต้น

จากรูปที่ 3.3.3 (ข) จะสามารถหาค่าความต้านทาน R_j ในทำนองเดียวกับวงจรที่ใช้ซีเนอร์ไดโอด เนื่องจากไดโอดชนิดกระแสแสงที่จะมีคัทคาตกคร่อมเท่ากับศูนย์ เมื่อกระแสที่ไหลผ่านตัวมันยังมีค่าน้อยกว่า I_j ดังนั้น

เอกสารนี้เป็นเอกสารที่สงวนไว้สำหรับการใช้งานเพื่อการศึกษาเท่านั้น ไม่อนุญาตให้นำไปใช้ประโยชน์ด้านการค้าไม่ว่ากรณีใดๆทั้งสิ้น อีกทั้งห้ามมิให้ตัดแปลงเนื้อหา และต้องอ้างอิงถึงเจ้าของเอกสารทุกครั้งที่มีการนำไปใช้



รูปที่ 3.3.3 การสังเคราะห์ความต้านทานไม่เป็นเชิงเส้นโดยใช้ไดโอดชนิดกระแสคงที่

เอกสารนี้เป็นเอกสารที่สงวนไว้สำหรับการใช้งานเพื่อการศึกษาเท่านั้น ไม่อนุญาตให้นำไปใช้ประโยชน์ด้านการค้า ไม่ว่าจะกรณีใดๆทั้งสิ้น อีกทั้งห้ามมิให้ตัดแปลงเนื้อหา และต้องอ้างอิงถึงเจ้าของเอกสารทุกครั้งที่มีการนำไปใช้

$$R_j = r_{j+1} r_j / (r_{j+1} - r_j) \tag{3.3.11}$$

โดยที่ r_j เป็นความต้านทานในแต่ละช่วงของกราฟรูปที่ 3.3.3 (ก) เมื่อ $j=1, 2, 3, \dots, n-1$ และที่ $j = n$ จะได้

$$R_j = r_j \tag{3.3.12}$$

และที่ $j = 1$ จะได้

$$I_j = i_j \tag{3.3.13}$$

ในกรณี $j=2, 3, 4, \dots, n$

$$I_j = I_{j-1} + \left(\sum_{k=1}^{j-1} (i_{k+1} - i_k) r_k \right) / R_{j-1} \tag{3.3.14}$$

สำหรับวงจรไดโอดชนิดกระแสคงที่แบบขนานสามารถหาค่า R_j และ I_j ได้

ดังนี้

$$R_j = r_j - r_{j-1} \tag{3.3.15}$$

และ

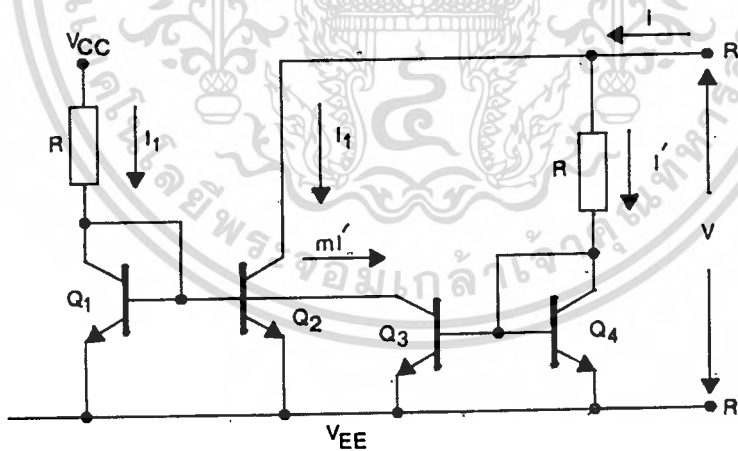
$$I_j = i_j - i_{j-1} \tag{3.3.16}$$

การประมาณค่าความไม่เชิงเส้นด้วยความเป็นเชิงเส้นแบบช่วงนี้ จากหลักการที่ผ่านมาจะเห็นได้ว่าความแม่นยำของความต้านทานไม่เชิงเส้นจะขึ้นอยู่กับค่าคงที่ชื่อนอร์ E_z หรือกระแส I_c ของไดโอดชนิดกระแสผ่านคงที่ แต่การที่จะหาไมวากรณ์ใดๆทั้งสิ้น อีกทั้งห้ามมิให้ตัดแปลงเนื้อหา และต้องอ้างอิงถึงเจ้าของเอกสารทุกครั้งที่มีการนำไปใช้

ซีเนอร์ไดโอดหรือไดโอดชนิดกระแสผ่านคงที่มีค่า B_z และ I_c ตามที่คำนวณนั้นทำได้ยากมาก จึงได้มีการพัฒนาวงจรขึ้นใหม่โดยใช้คุณลักษณะจำเพาะของไดโอดและอนุกรมประเภทแอคทีฟจำพวกทรานซิสเตอร์หรือออปแอมป์ เข้าช่วย

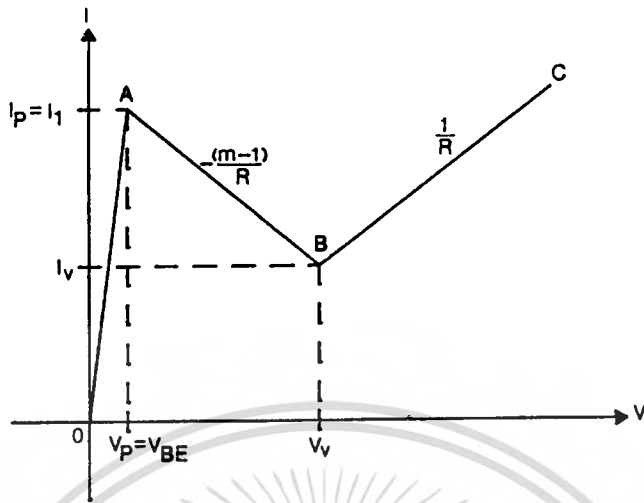
3.3.2 การสังเคราะห์ความต้านทานไม่เป็นเชิงเส้นโดยใช้วงจรสห้อนกระแส

หลักการนี้จะอาศัยคุณลักษณะจำเพาะของทรานซิสเตอร์และวงจรสห้อนกระแสแสดงดังแสดงในรูปที่ 3.3.4 [4] จากรูปเมื่อให้ Q_1 และ Q_2 , Q_3 และ Q_4 เป็นทรานซิสเตอร์ที่มีความสมพงษ์กันทุกประการและประกอบกันเป็นวงจรสห้อนกระแส 2 ชุด โดยขาคอลเลคเตอร์ของ Q_3 จะเป็นตัวดึงกระแส mI' จาก Q_1 ถ้าพื้นที่อิมิตเตอร์ของ Q_1 เท่ากับ Q_2 และ Q_3 เท่ากับ m เท่าของ Q_4 ความต้านทานไม่เป็นเชิงเส้นจะเกิดขึ้นระหว่างจุด R และ R' ดังแสดงในรูปที่ 3.3.5



รูปที่ 3.3.4 วงจรความต้านทานไม่เป็นเชิงเส้น

จากรูปที่ 3.3.4 เมื่อศักดา V แปรค่าจากศูนย์ไปจนถึง V_{BE} ทำให้ Q_2 จะเริ่มนำกระแสถ้า V มีค่าเท่ากับ V_{BE} ที่จุดนี้ Q_3 และ Q_4 จะยังคงไม่นำกระแสแต่ Q_2 จะเข้าสู่ช่วงแอคทีฟและ I จะมีค่าเท่ากับ I_1 เนื่องจาก Q_1 และ Q_2 เป็นวงจรมัวร์มีได้ทั้งสิ้น อีกทั้งห้ามมิให้ตัดแปลงเนื้อหา และต้องอ้างอิงถึงเจ้าของเอกสารทุกครั้งที่มีการนำไปใช้



รูปที่ 3.3.5 เส้นคุณลักษณะจำเพาะของวงจรในรูปที่ 3.3.4

สะท้อนกระแส การทำงานในส่วนนี้แสดงกราฟที่ตำแหน่ง OA ของรูปที่ 3.3.5 เมื่อศักดา V เพิ่มขึ้นทำให้ Q_1 และ Q_2 เริ่มนำกระแสทำให้กระแส I_1 ของ Q_1 จะถูก Q_2 แบ่งแยกออกไป mI' เป็นผลให้กระแสที่ขาคอลเลคเตอร์ของ Q_2 ลดลง mI' ด้วย เมื่อ $m > 1$ จะเห็นได้ว่ากระแส I ที่ขึ้นอยู่กับการทำงานจะลดลงดังแสดงในกราฟช่วง AB ของรูปที่ 3.3.5 ซึ่งก็คือช่วงของความต้านทานแบบลบ ความสัมพันธ์ของกระแส I และ V สามารถหาได้ดังนี้

$$I = I_1 + I' - mI' \tag{3.3.17}$$

เนื่องจาก $I' = (V - V_{BE})/R$ ดังนั้นจะได้ว่า

$$I = I_1 + [(1-m)V - V_{BE}]/R \tag{3.3.18}$$

โดยที่ I_1 เป็นกระแสที่หาได้จาก $(V_{CC} - V_{BE})/R_1$ และจากสมการที่

(3.3.18) เมื่อ $m > 1$ จะเห็นได้ว่าเป็นความต้านทานเชิงเส้นแบบลบที่แสดง

ในกราฟช่วง AB ของรูปที่ 3.3.5 เส้น AB นี้จะมีค่าความชันเท่ากับ $-(m-1)/R$ ไม่วากกรณีใดๆทั้งสิ้น อีกทั้งหนังสือไม่ได้เปลี่ยนแปลงเนื้อหา และต้องอ้างอิงถึงเจ้าของเอกสารทุกครั้งที่มีการนำไปใช้

หรือจะมีค่าความต้านทานแบบลบเท่ากับ $R/(m-1)$ เมื่อศักดา V เพิ่มขึ้นไปจนกระทั่งถึงจุด V_v ซึ่งจะทำให้กระแส mI' เท่ากับ I_1 เป็นผล ให้ Q_2 หายจนกระแส และเมื่อเพิ่มศักดาให้มากกว่า V_v กระแส I ก็จะมีค่าเท่ากับ I' ดังนั้นในกราฟ ช่วง BC จึงมีความชันเท่ากับ $1/R$ หรือมีค่าความต้านทานแบบบวกเท่ากับ R สำหรับศักดา V_v และ กระแส I_v สามารถหาได้ดังนี้

$$V_v = V_{BE} + I' R \tag{3.3.19}$$

เนื่องจาก $mI' = I_1$ ดังนั้นจะได้

$$V_v = V_{BE} + I_1 R/m \tag{3.3.20}$$

และ

$$I_v = I_1/m \tag{3.3.21}$$

จากรูปที่ 3.3.4 ความต้านทานไม่เป็นเชิงเส้นจะเกิดขึ้นที่ระหว่าง V และ V_v ซึ่งค่าความต้านทานหรือความชันสามารถที่จะเปลี่ยนแปลงค่าได้ แต่รูปแบบความไม่เป็นเชิงเส้นจะยังคงเหมือนเดิม

3.3.3 การสังเคราะห์ความต้านทานไม่เป็นเชิงเส้นโดยใช้วงจรถ้ากักศักดา

วงจรมูลฐานของวงจรถ้ากักศักดาแสดงในรูปที่ 3.3.6 ซึ่งก็คือวงจรถ้ากักเคราะห์ความต้านทานเชิงเส้นแบบช่วงนั่นเอง โดยในรูปที่ 3.3.6 (ก) จะเป็นความต้านทานแบบบวกและในรูปที่ 3.3.6 (ค) จะเป็นความต้านทานแบบลบ สำหรับศักดา E จะเป็นศักดาอ้างอิงที่ใช้สำหรับกำหนดจุดเริ่มต้นของความเป็นเชิงเส้นแบบช่วงจากรูปที่ 3.3.6 (ก) เมื่อป้อนศักดา V เข้าที่อินพุตและในช่วงศักดา V ไม่ว่ากรณีใดๆทั้งสิ้น อีกทั้งห้ามมิให้ตัดแปลงเนื้อหา และต้องอ้างอิงถึงเจ้าของเอกสารทุกครั้งที่มีการนำไปใช้

มีค่าน้อยกว่า E ไดโอด D_1 จะไม่นำกระแสเนื่องจากไดโอดถูกไบอัสกลับเป็นผลให้ไม่มีกระแส i ไหลเข้ามาในวงจร และเมื่อศักดา V มีค่ามากกว่า E แล้วไดโอด D_1 ก็จะนำกระแสเกิดกระแส i ไหลเข้ามาในวงจรซึ่งสามารถหาค่าได้ดังนี้

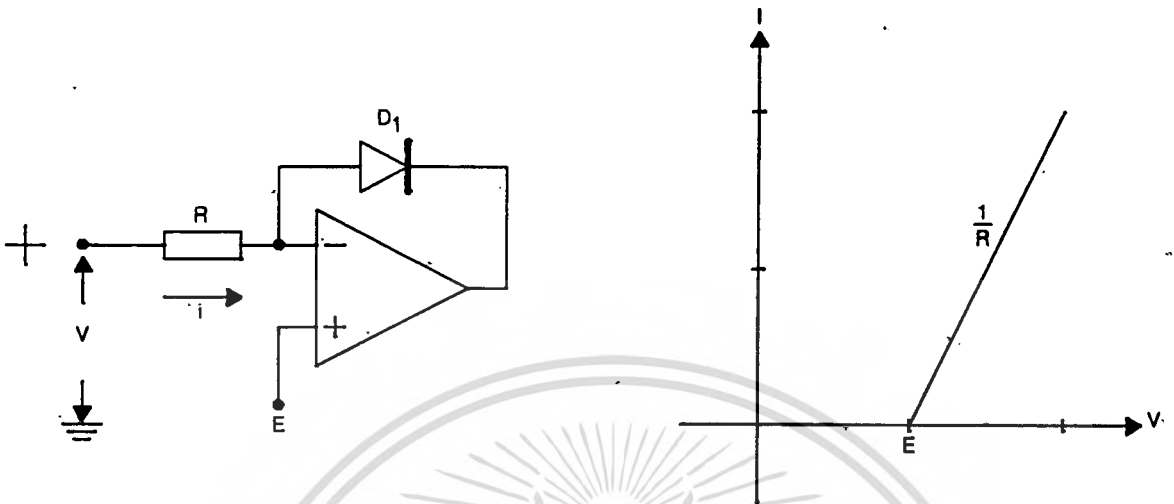
$$i = \begin{cases} 0 & V \leq E \\ (V - E)/R & V > E \end{cases} \quad (3.3.22)$$

ซึ่งเขียนเป็นกราฟได้ดังรูปที่ 3.3.6 (ข) สำหรับวงจรในรูปที่ 3.3.6 (ค) ไดโอด D_1 จะกันไม่ให้เกิดศักดาลบขึ้นที่จุด A และเป็นตัวทำให้อัตราการขยายของ A_1 เท่ากับหนึ่ง เมื่อศักดา $V \leq E$ จะทำให้ศักดาที่จุด A เท่ากับ V และเนื่องจาก A_2 ต่อเป็นวงจรขยายที่มีอัตราขยายเท่ากันหนึ่งทำให้ศักดาที่จุด B มีค่าเท่ากับ V ด้วยเป็นผลให้ไม่มีกระแส i ไหลเข้ามาในวงจร และเมื่อศักดา $V > E$ จะทำให้ D_1 หยุดนำกระแสและ D_2 จะนำกระแสแทนทำให้ A_1 เกิดการขยายขึ้นในอัตราส่วนของ R_2/R_1 เนื่องจาก A_1 ต่อเป็นวงจรขยายความแตกต่างซึ่งจะให้ศักดาเอาท์พุทที่จุด A ดังนี้

$$V_A = \begin{cases} V & V \leq E \\ V + (V-E)R_2/R_1 & V > E \end{cases} \quad (3.3.23)$$

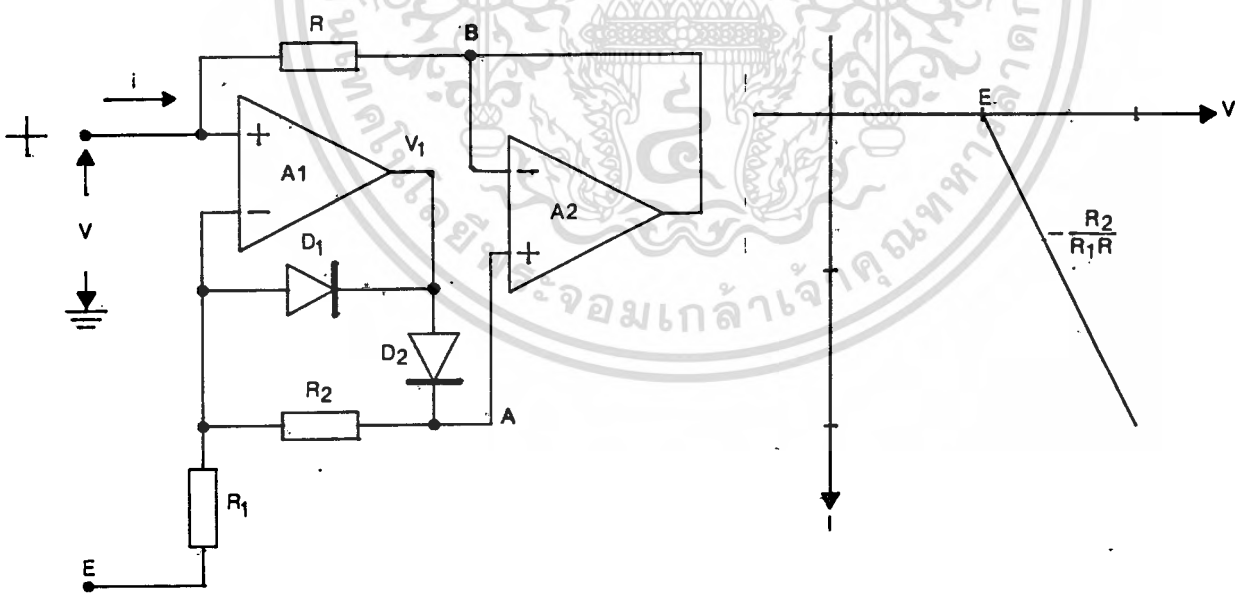
เนื่องจาก A_2 ต่อเป็นวงจรตามศักดาและในกรณีที่ $V > E$ สามารถหากระแส i ได้ดังนี้

$$i = (V - V_A)/R \quad (3.3.24)$$



(ก)

(ข)



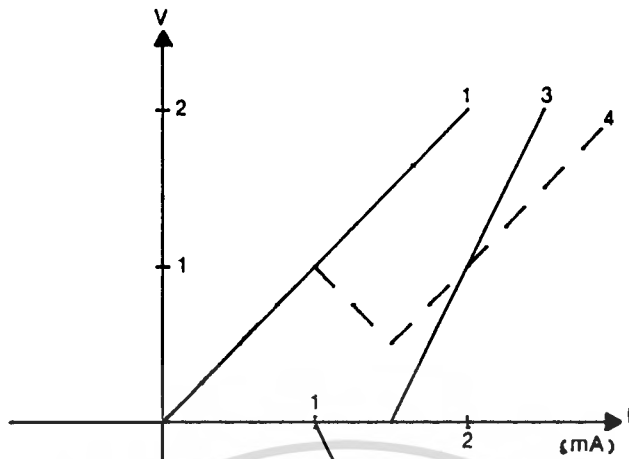
(ค)

(ง)

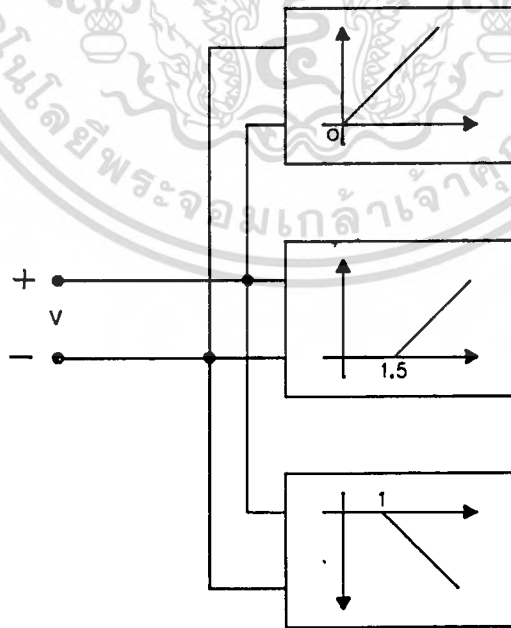
รูปที่ 3.3.6 วงจรความต้านทานเชิงเส้นแบบช่วง

(ก) และ (ข) ความต้านทานแบบขวก

เอกสารนี้เป็นเอกสารที่สงวนไว้สำหรับดูเท่านั้น ไม่อนุญาตให้นำไปใช้ประโยชน์ด้านการค้า
(ค) และ (ง) ความต้านทานแบบลบ
ไม่ว่ากรณีใดๆทั้งสิ้น อีกทั้งห้ามมิให้ตัดแปลงเนื้อหา และต้องอ้างอิงถึงเจ้าของเอกสารทุกครั้งที่มีการนำไปใช้



(ก)



(ข)

รูปที่ 3.3.7 ตัวอย่างการสังเคราะห์ความต้านทานไม่เป็นเชิง

เอกสารนี้เป็นเอกสารที่สงวนไว้สำหรับการศึกษาเท่านั้น ไม่อนุญาตให้นำไปใช้ประโยชน์ด้านการค้า
เส้นโดยใช้ความต้านทานเชิงเส้นแบบช่วง
ไม่ว่ากรณีใดๆทั้งสิ้น อีกทั้งห้ามมิให้คัดลอกเนื้อหา และต้องอ้างอิงถึงเจ้าของเอกสารทุกครั้งที่มีการนำไปใช้

$$i = \begin{cases} 0 & V \leq E \\ -(V-E)R_2/R_1R & V > E \end{cases} \quad (3.3.25)$$

ซึ่งสามารถเขียนเป็นกราฟได้ดังรูปที่ 3.3.6 (ง) จากรูปที่ 3.3.6 จะเห็นได้ว่าเมื่อต้องการความไม่เป็นเชิงเส้นในรูปแบบใดก็สามารทำได้โดยการนำเอา วงจรที่มีค่าของศักดา E ที่ค่าต่าง ๆ มาต่อขนานกันดังตัวอย่างแสดงในรูปที่ 3.3.7 (ข) ซึ่งจะเป็นการสังเคราะห์ความต้านทานไม่เป็นเชิงเส้นของรูปที่ 3.3.7 (ก) จากรูปที่ 3.3.7 (ก) จะต้องใช้วงจรความต้านทานเชิงเส้นแบบช่วงทั้งหมด 3 ชุด เพื่อที่จะให้ได้กราฟเส้นที่ (4) โดยจะใช้วงจรในรูปที่ 3.3.5 (ก) 2 ชุด ชุดแรกให้ค่า E เป็นศูนย์และ R มีค่าเท่ากับ $1 \text{ k}\Omega$ ซึ่งจะให้กราฟในเส้นที่ (1) ของรูปที่ 3.3.7 (ก) ส่วนชุดที่สองจะให้กราฟเส้นที่ (3) ในรูปเดียวกัน โดยจะให้ $E = 1.5 \text{ V}$. และ R มีค่าเท่ากับ $0.5 \text{ k}\Omega$ สำหรับค่าความชันที่เป็นลบในกราฟเส้นที่ (2) จะใช้วงจรในรูปที่ 3.3.5 (ค) โดยให้ $R_1 = R_2$, $E = 1 \text{ V}$. และ $R = 0.5 \text{ k}\Omega$ เมื่อต่อวงจรทั้งสามเข้าด้วยกันดังรูปที่ 3.3.7 (ข) ก็จะได้เส้นกราฟรวมคือเส้นที่ (4) ซึ่งจะเป็นเส้นคุณลักษณะจำเพาะของความต้านทานไม่เป็นเชิงเส้นตามต้องการ

3.4 บทสรุป

การสังเคราะห์ความต้านทานไม่เป็นเชิงเส้นโดยใช้วงจรทางอิเล็กทรอนิกส์อาจสามารถแบ่งออกได้เป็นสองวิธีคือ วิธีแรกเป็นการใช้หลักการของฟังก์ชันตรรกยะ และวิธีที่สองจะเป็นการใช้หลักการของความไม่เป็นเชิงเส้นแบบช่วง สำหรับการใส่ฟังก์ชันตรรกยะนั้นค่อนข้างจะมีความยุ่งยากทางวงจรมาก เนื่องจากถ้ามีการเปลี่ยนแปลงรูปแบบของฟังก์ชันก็จะต้องออกแบบวงจรใหม่ทั้งหมด และฟังก์ชันตรรกยะจะไม่สามารถประมาณค่าของฟังก์ชันชนิดไม่ต่อเนื่องได้ ส่วนการสังเคราะห์ความต้านทานไม่เป็นเชิงเส้นโดยใช้ความต้านทานเชิงเส้นแบบช่วงจะสามารถที่จะประมาณค่าของ

ไม่ว่ากรณีใดๆทั้งสิ้น อีกทั้งห้ามมิให้คัดแปลงเนื้อหา และต้องอ้างอิงถึงเจ้าของเอกสารทุกครั้งที่มีการนำไปใช้

ฟังก์ชันใดก็ได้ และการเปลี่ยนแปลงรูปแบบของฟังก์ชันก็ไม่จำเป็นต้องออกแบบวงจรใหม่ เนื่องจากการประมาณค่าความไม่เป็นเชิงเส้นจะใช้การต่อขนานกันของความต้านทานเชิงเส้นแบบช่วง



4

เอกสารนี้เป็นเอกสารที่สงวนไว้สำหรับการใช้งานเพื่อการศึกษาเท่านั้น ไม่อนุญาตให้นำไปใช้ประโยชน์ด้านการค้า
ไม่ว่ากรณีใดๆทั้งสิ้น อีกทั้งห้ามมิให้ตัดแปลงเนื้อหา และต้องอ้างอิงถึงเจ้าของเอกสารทุกครั้งที่มีการนำไปใช้

บทที่ 4

การสังเคราะห์ความต้านทานไม่เป็นเชิงเส้นโดยใช้หลักการของวงจรรวม

4.1 บทนำ

การสังเคราะห์ความต้านทานไม่เป็นเชิงเส้นโดยใช้ฟังก์ชันตรรกยะนั้นไม่สามารถที่จะใช้กับฟังก์ชันไม่ต่อเนื่องได้ และในการประยุกต์ใช้งานยังต้องออกแบบวงจรความต้านทานไม่เป็นเชิงเส้นเพื่อใช้กับงานนั้นๆ โดยเฉพาะ ทำให้ไม่สามารถที่จะสร้างเป็นวงจรสำเร็จในรูปแบบของวงจรรวมได้ ส่วนการสังเคราะห์ความต้านทานไม่เป็นเชิงเส้นโดยใช้ความเป็นเชิงเส้นแบบช่วงนี้สามารถที่จะประมาณค่าฟังก์ชันได้ทุกรูปแบบและความต้านทานเชิงเส้นในแต่ละชุดจะสามารถทำเป็นวงจรรวมได้ โดยที่ในบทที่ 4 นี้จะเป็นการกล่าวถึงการสังเคราะห์ความต้านทานไม่เป็นเชิงเส้นโดยใช้หลักการของวงจรรวม และจะกล่าวถึงเฉพาะการสังเคราะห์ความต้านทานเชิงเส้นแบบช่วง

4.2 หลักการพื้นฐานของความต้านทานเชิงเส้นแบบช่วง

ความต้านทานเชิงเส้นแบบช่วงดังที่แสดงไว้ในรูปที่ 4.2.1 (ก) และ (ข) โดยที่ในรูปที่ 4.2.1 (ก) เป็นความต้านทานแบบขวกและในรูปที่ 4.2.1 (ข) จะเป็นความต้านทานแบบลบ [5] จากรูปที่ 4.2.1 (ก) เมื่อทรานซิสเตอร์ Q_1 , Q_2 และ Q_3 , Q_4 ต่อเป็นวงจรสะท้อนกระแสแบบลบและความต้านทาน R จะเป็นความต้านทานอ้างอิงในวงจร เมื่อป้อนสัญญาณอินพุต V_{in} เข้าระหว่างจุด A และจุด B ทำให้สามารถที่จะหาค่าศักดา V_1' และ V_2' ได้ดังนี้

$$V_1' = V_A + V_{BE1}$$

$$V_2' = V_B + V_{BE2} \tag{4.2.1}$$

เอกสารนี้เป็นเอกสารที่สงวนไว้สำหรับการใช้งานเพื่อการศึกษาเท่านั้น ไม่อนุญาตให้นำไปใช้ประโยชน์ด้านการค้าไม่ว่ากรณีใดๆทั้งสิ้น อีกทั้งห้ามมิให้คัดแปลงเนื้อหา และต้องอ้างอิงถึงเจ้าของเอกสารทุกครั้งที่มีการนำไปใช้

โดยที่ v_1' และ v_2' เป็นศักดาที่ปลายทั้งสองของความต้านทาน R ศักดา v_A และ v_B เป็นศักดาอินพุทที่ป้อนให้กับวงจร ส่วน v_{zx1} และ v_{zx2} เป็นศักดาระหว่างขาคอนดิวเซอร์และเบสของทรานซิสเตอร์ Q_1 และ Q_2 เนื่องจากในวงจรรวมทรานซิสเตอร์แต่ละตัวจะมีความสมพ้องกันมาก ดังนั้นจึงถือได้ว่าศักดา v_{zx1} จะเท่ากับ v_{zx2} และกระแส i ซึ่งกระแสที่ไหลผ่านความต้านทาน R สามารถประมาณค่าได้จาก

$$iR = v_1' - v_2' \tag{4.2.2}$$

ดังนั้น

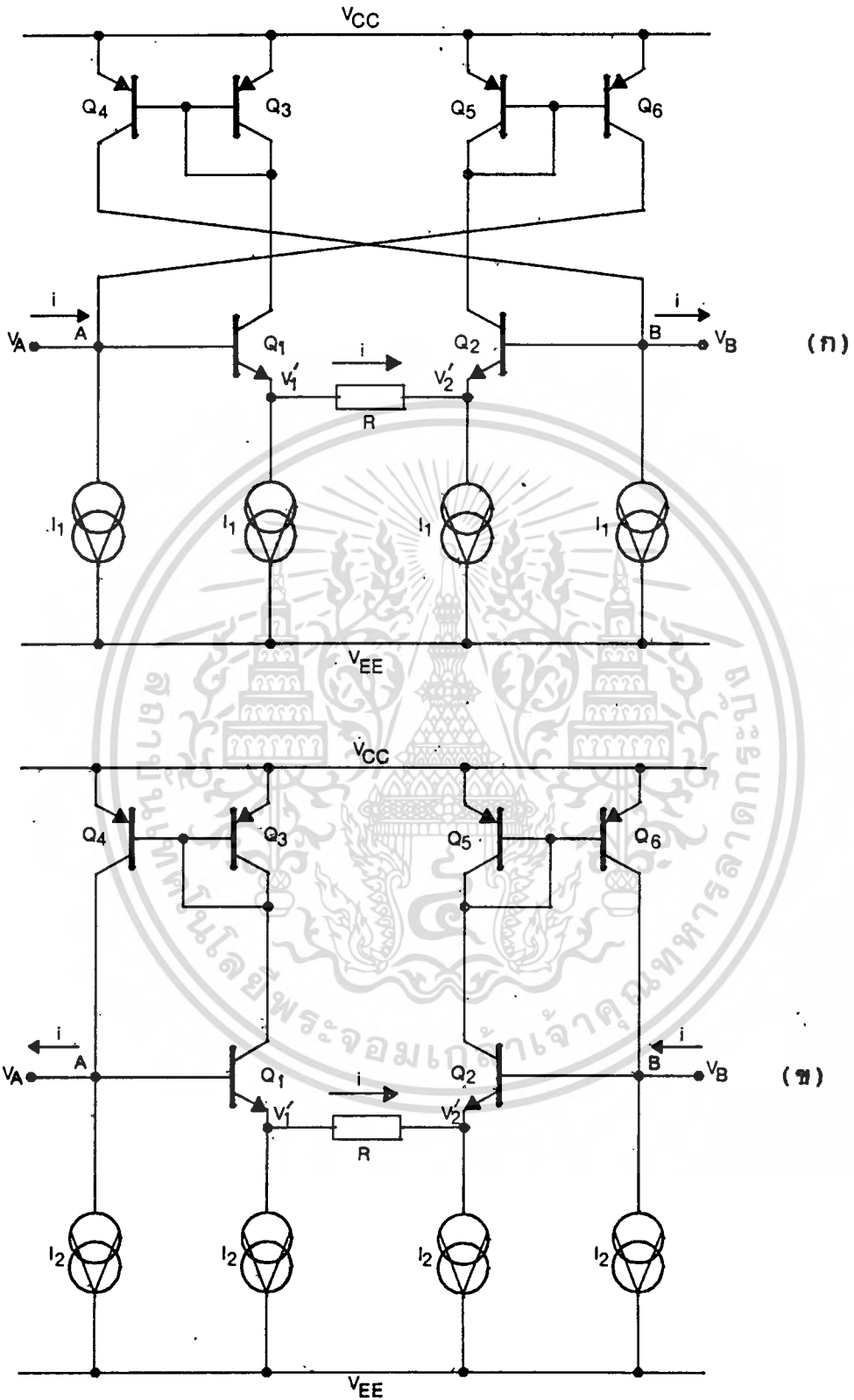
$$i = (v_A - v_B) / R \tag{4.2.3}$$

หรือ

$$R = (v_A - v_B) / i = v_{in} / i \tag{4.2.4}$$

และที่ขาคอนดิวเซอร์ของ Q_1 และ Q_2 ต่อกับกับวงจรสะท้อนกระแสแบบลบ และจะสะท้อนกระแสที่ขาคอนดิวเซอร์ของ Q_1 และ Q_2 มายังจุด A และ B เมื่อขาคอนดิวเซอร์ของ Q_1 และ Q_2 มีกระแสเพิ่มขึ้น i และ $-i$ อันเนื่องมาจากศักดา v_{in} กระแสนี้ก็จะถูกส่งผ่านมายังจุด A และ B ด้วยวงจรสะท้อนกระแส Q_1 , Q_2 และ Q_2 , Q_1 ทำให้ที่จุด A และ B มีกระแสไหลเข้าเท่ากับ i และ $-i$ ด้วย เมื่อศักดาที่ตกคร่อมระหว่างจุด A และ B มีค่าเท่ากับ v_{in} และมีกระแส i ไหลเข้าที่จุด A และที่จุด B จะมีกระแส $-i$ ไหลซึ่งก็คือมีกระแส i ไหลออกจากจุด B ดังนั้นค่าความต้านทานที่พิจารณาหารหว่างจุด A และ B ก็จะมีค่าเท่ากับ R ดังสมการที่ (4.2.4) และสำหรับในรูปที่ 4.2.1 (ข) การทำงานจะเหมือนกับรูป 4.2.1

เอกสารนี้เป็นเอกสารที่สงวนไว้สำหรับใช้ในงานเพื่อการศึกษาเท่านั้น ไม่อนุญาตให้นำไปใช้ประโยชน์ด้านการค้า (ก) แต่เมื่อป้อนศักดา v_{in} เข้าที่จุด A และ B โดยให้ศักดาที่จุด A มีค่าเป็นบวก



รูปที่ 4.2.1 ความต้านทานเชิงเส้นชนิดคิกตาควมคุม

(ก) วงจรความต้านทานแบบบวก

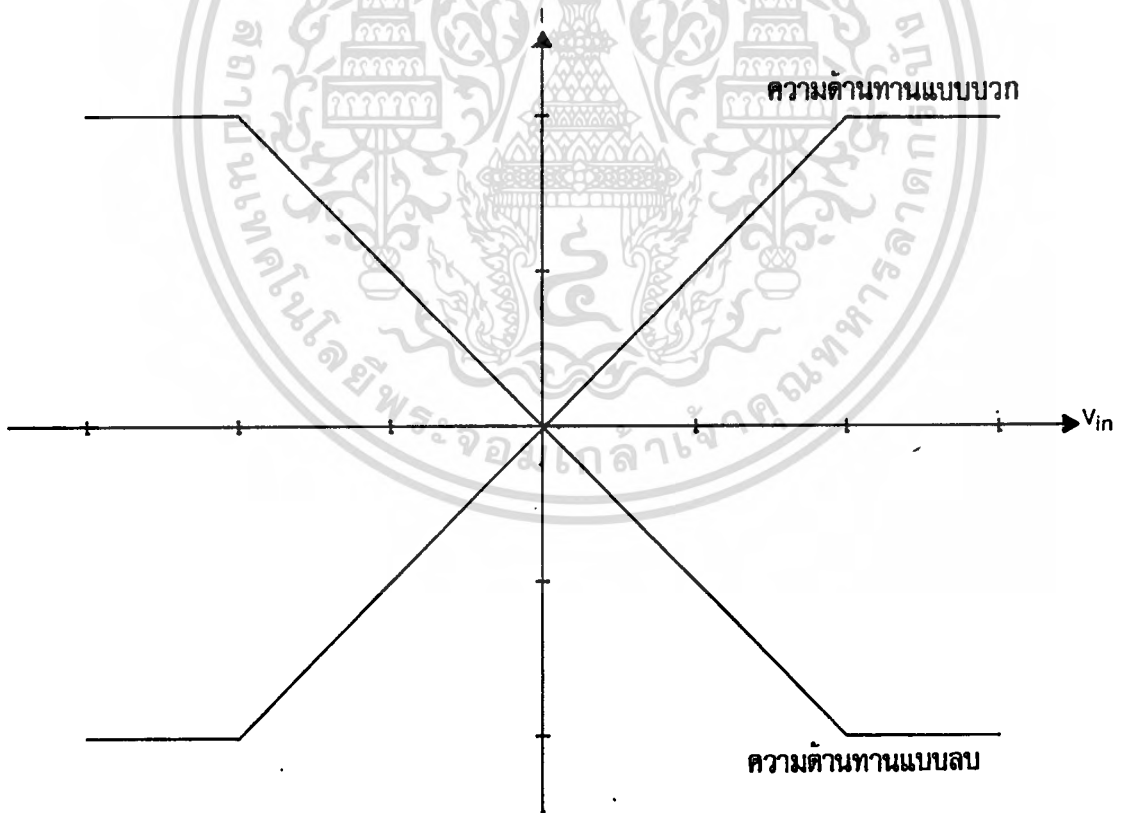
เอกสารนี้เป็นเอกสารที่สงวนไว้สำหรับการใช้งานเพื่อการศึกษาเท่านั้น ไม่อนุญาตให้นำไปใช้ประโยชน์ด้านการค้า

(ข) วงจรความต้านทานแบบลบ

ไม่ว่ากรณีใดๆทั้งสิ้น อีกทั้งห้ามมิให้ตัดแปลงเนื้อหา และต้องอ้างอิงถึงเจ้าของเอกสารทุกครั้งที่มีการนำไปใช้

เมื่อเทียบกับจุด B จะทำให้เกิดกระแส i ไหลออกจากจุด A และมีกระแส i ไหลเข้าที่จุด B ซึ่งจะตรงข้ามกับทิศทางกระแสของกระแสอินพุต i ในรูปที่ 4.2.1 (ก) ดังนั้นความต้านทานระหว่างจุด A และ B จะมีค่าเท่ากับ $-R$

วงจรรความต้านทานในรูปที่ 4.2.1 จะเป็นเชิงเส้นในช่วงสัญญาณ V_{in} มีค่าขนาดอยู่ในช่วง $-RI \leq V_{in} \leq RI$ เมื่อ I เป็นกระแสที่ตัวดึงกระแสคงที่ I_1 หรือ I_2 ดึงมาจากขั้วอิมิตเตอร์ของ Q_1 และ Q_2 เมื่อเพิ่มศักดา V_{in} ให้มีค่ามากกว่า RI แล้ว Q_1 จะนำกระแสในช่วงอิมิตตัวและ Q_2 จะหยุดนำกระแส ทำให้ผลต่างของกระแสที่เข้ามายังจุด A และกระแสที่ไหลออกจากจุด B ของรูปที่ 4.2.1 (ก) มีค่าคงที่ที่ I และ $-I$ ส่วนในรูปที่ 4.2.1 (ข) จะมีกระแสที่จุด A และ B เท่ากับ $-I$ และ I ตามลำดับดังแสดงในกราฟรูปที่ 4.2.2



รูปที่ 4.2.2 เส้นคุณลักษณะจำเพาะของวงจรในรูปที่ 4.2.1

ความต้านทานเชิงเส้นแบบช่วงที่สังเคราะห์ขึ้นในรูปที่ 4.2.1 นั้นสามารถที่จะ
เอกสารนี้เป็นเอกสารที่สงวนไว้สำหรับการใช้งานเพื่อการศึกษาเท่านั้น ไม่อนุญาตให้นำไปใช้ประโยชน์ด้านการค้า
กำหนดความเป็นเชิงเส้นได้ด้วยการกำหนดค่ากระแสของตัวดึงกระแสคงที่ I_1 และ
ไม่วาทกรรมใดๆทั้งสิ้น อีกทั้งห้ามมิให้คัดแปลงเนื้อหา และต้องอ้างอิงถึงเจ้าของเอกสารทุกครั้งที่มีการนำไปใช้

I_1 ดังสมการต่อไปนี้

$$R_{AB} = \begin{cases} R & i < I_1 \\ \infty & i = I_1 \end{cases} \quad (4.2.5)$$

หรือ

$$R_{AB} = \begin{cases} -R & i < I_2 \\ \infty & i = I_2 \end{cases} \quad (4.2.6)$$

โดยที่ R คือความต้านทานที่ต่ออนุกรมระหว่างขาคีมเตอร์ของ Q_1 และ Q_2 และ R_{AB} เป็นความต้านทานที่พิจารณาระหว่างจุด A และ B ของวงจรความต้านทานเชิงเส้นแบบช่วงในรูปที่ 4.2.1 สำหรับสมการที่ (4.2.5) จะเป็นความต้านทานของวงจรในรูปที่ 4.2.1 (ก) และสมการที่ (4.2.6) จะเป็นความต้านทานของวงจรในรูปที่ 4.2.1 (ข) จากหลักการของวงจรในรูปที่ 4.2.1 (ก) และ (ข) จะเห็นว่ากระแส i ที่ไหลผ่านความต้านทาน R จะเกิดขึ้นได้ก็ต่อเมื่อมีศักดา V_{in} ดังนั้นจึงสามารถที่จะกล่าวได้ว่าวงจรในรูปที่ 4.2.1 จะเป็นวงจรความต้านทานชนิดศักดาควบคุม

4.3 การสังเคราะห์ความต้านทานไม่เป็นเชิงเส้นชนิดศักดาควบคุม

ความต้านทานไม่เป็นเชิงเส้นสามารถที่จะสังเคราะห์ได้โดยการนำเอาความต้านทานเชิงเส้นแบบช่วงดังที่ได้กล่าวถึงในหัวข้อที่แล้วหลายวงจรมาต่อขนานกัน ซึ่ง

ความต้านทานที่ได้จะเป็นชนิดศักดาควบคุมถ้าให้ R_1 และ R_2 เป็นความต้านทานแบบ

เอกสารนี้เป็นเอกสารที่สงวนไว้สำหรับการใช้งานเพื่อการศึกษาเท่านั้น ไม่อนุญาตให้นำไปใช้ประโยชน์ด้านการค้า บวกและแบบฉบับที่มีความเป็นเชิงเส้นแบบช่วงจำนวน n และ m ตัวตามลำดับ และไม่ว่ากรณีใดๆทั้งสิ้น อีกทั้งห้ามมิให้ดัดแปลงเนื้อหา และต้องอ้างอิงถึงเจ้าของเอกสารทุกครั้งที่มีการนำไปใช้

กระแส I_j และ I_n เป็นค่ากระแสที่กำหนดช่วงความเป็นเชิงเส้นของความต้านทาน R_j และ R_n ตามลำดับ ส่วนกระแส i_j และ i_n เป็นกระแสที่ไหลผ่านความต้านทาน R_j และ R_n จากการสังเคราะห์ความต้านทานไม่เป็นเชิงเส้นจะใช้การต่อขนานกันของความต้านทานเชิงเส้นแบบช่วง ดังนั้นการพิจารณาในรูปของความนำจะสะดวกกว่าการพิจารณาในรูปของความต้านทานเนื่องจากการต่อขนานกันของความนำสามารถนำค่ามาบวกกันได้โดยตรง สำหรับผลรวมของความนำเมื่อกำหนดให้ $I_1^+ > I_2^+ > \dots > I_n^+$ และ $I_1^- > I_2^- > \dots > I_n^-$ ในเทอมของค่าความนำสามารถหาได้ดังนี้

$$G_{1n} = \sum_{j=1}^n G_j^+ - \sum_{k=1}^m G_k^- \quad (4.3.1)$$

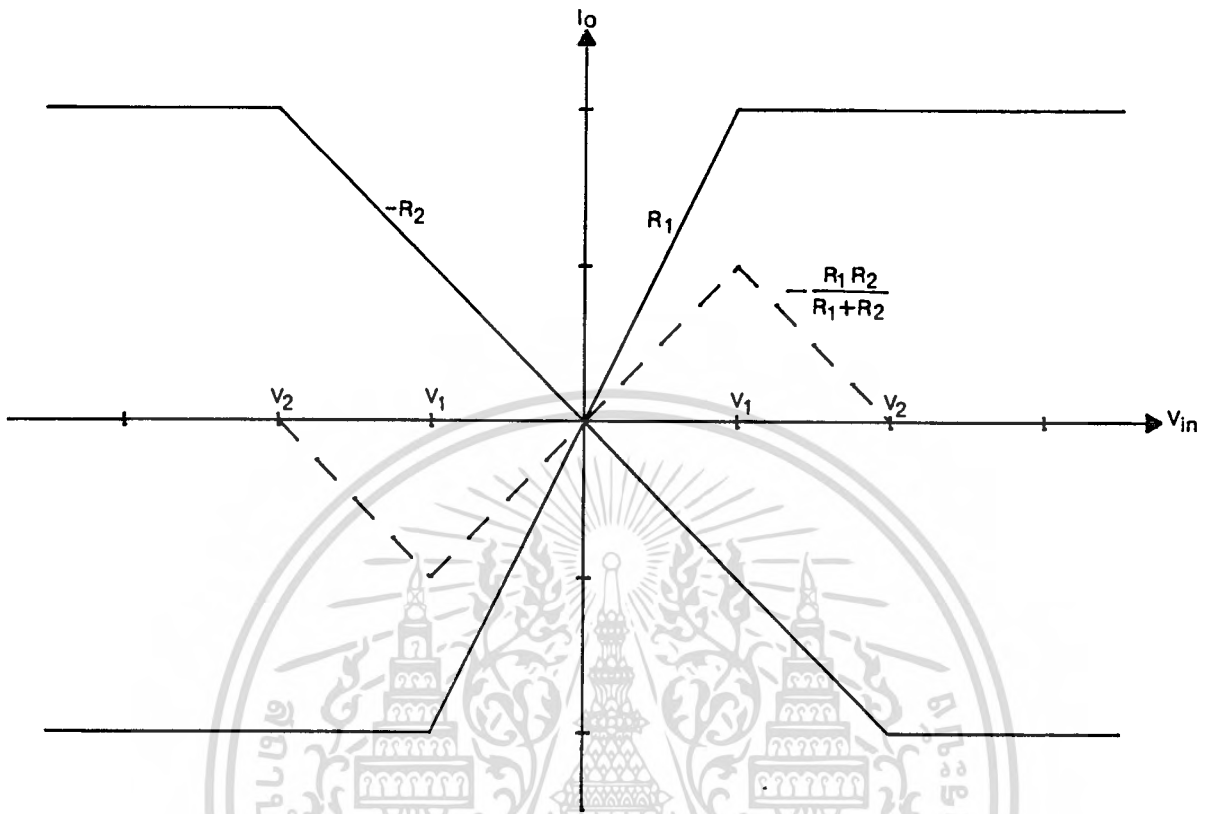
โดยที่ G_j และ G_k จะมีค่าเท่ากับ $1/R_j$ และ $1/R_k$ ตามลำดับ ส่วน G_{1n} จะมีค่าเท่ากับ $1/R_{1n}$ เมื่อป้อนศักดา V_{1n} เข้าที่อินพุทของความต้านทานเชิงเส้นแบบช่วงให้มีค่ามากจนกระทั่งทำให้ $i_j^+ = I_j^+$ และ $i_n^- = I_n^-$ แล้วจะได้ว่าค่าความนำจะเป็นศูนย์ เนื่องจากการทำงานในสภาวะอิมิตัวของทรานซิสเตอร์ Q_1 และ Q_2 ในรูปที่ 4.2.1 ทำให้เกิดกระแส i ที่มีค่าคงที่ไหลผ่านความต้านทาน ถ้าให้ $j = m-1, m-i+1, m-i+2, \dots, m$ โดยที่ $i < m$ และให้ $k = n-p, n-p+1, n-p+2, \dots, n$ โดยที่ $p < n$ ดังนั้นจะได้ว่า

$$G_j^+ = 0 \quad \text{เมื่อ } j = m-i, m-i+1, \dots, m \quad (4.3.2)$$

$$G_k^- = 0 \quad \text{เมื่อ } k = n-p, n-p+1, \dots, n$$

เมื่อนำค่าความนำทั้งสองแบบมาต่อขนานกันจะได้ค่าความนำรวมดังนี้

$$G_{1n} = \sum_{j=1}^{m-i-1} G_j^+ - \sum_{k=1}^{n-p-1} G_k^- \quad (4.3.3)$$



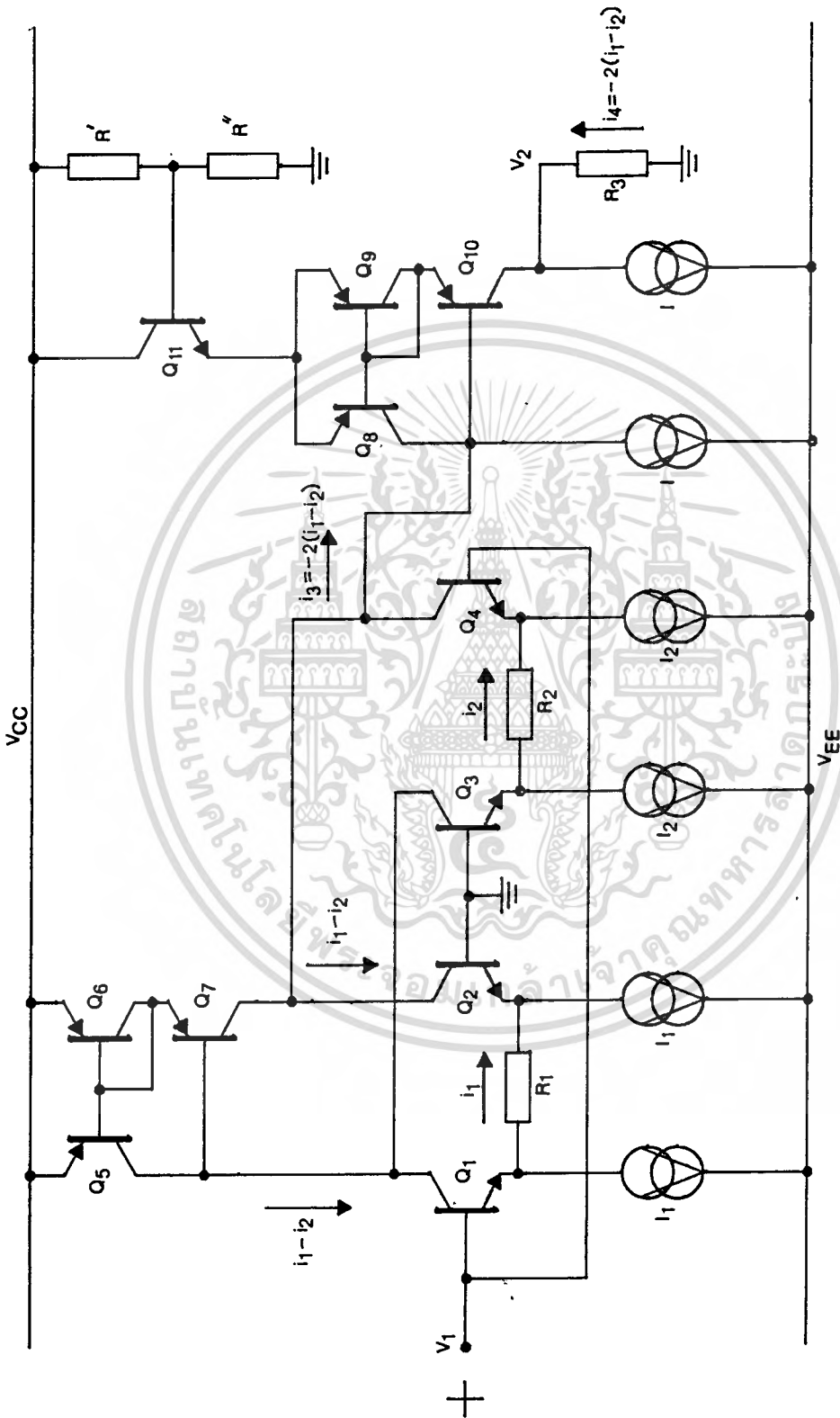
รูปที่ 4.3.1 ตัวอย่างการสังเคราะห์ความต้านทานไม่เป็นเชิงเส้น

ตัวอย่างการสังเคราะห์ความต้านทานไม่เป็นเชิงเส้นแสดงในรูปที่ 4.3.1 โดยเส้นประจะเป็นความต้านทานไม่เป็นเชิงเส้นที่ต้องการ จากรูปจะเห็นได้ว่าต้องใช้ความต้านทานเชิงเส้นแบบช่วงสองตัวมาต่อขนานกัน โดยตัวแรกจะเป็นความต้านทานแบบขวกที่มีค่าความต้านทานเท่ากับ R_1 และกระแส I_1 จะมีค่าเท่ากับ V_1/R_1 สำหรับความต้านทานเชิงเส้นแบบช่วงตัวที่สองจะเป็นความต้านทานแบบลบที่มีค่าความต้านทานเท่ากับ $-R_2$ และกระแส I_2 จะมีค่าเท่ากับ V_2/R_2 โดยที่ค่าความต้านทาน R_1 จะมีค่ามากกว่า R_2 ดังนั้นความต้านทานรวมจะมีค่าเท่ากับ $R_1/(-R_2)$ เมื่อศักดาอินพุต V_{in} มีค่ามากกว่า V_1 ความต้านทานแบบขวกหรือ R_1 จะมีค่า ∞

4.4 การสังเคราะห์ความต้านทานไม่เป็นเชิงเส้นชนิดกระแสควบคุม

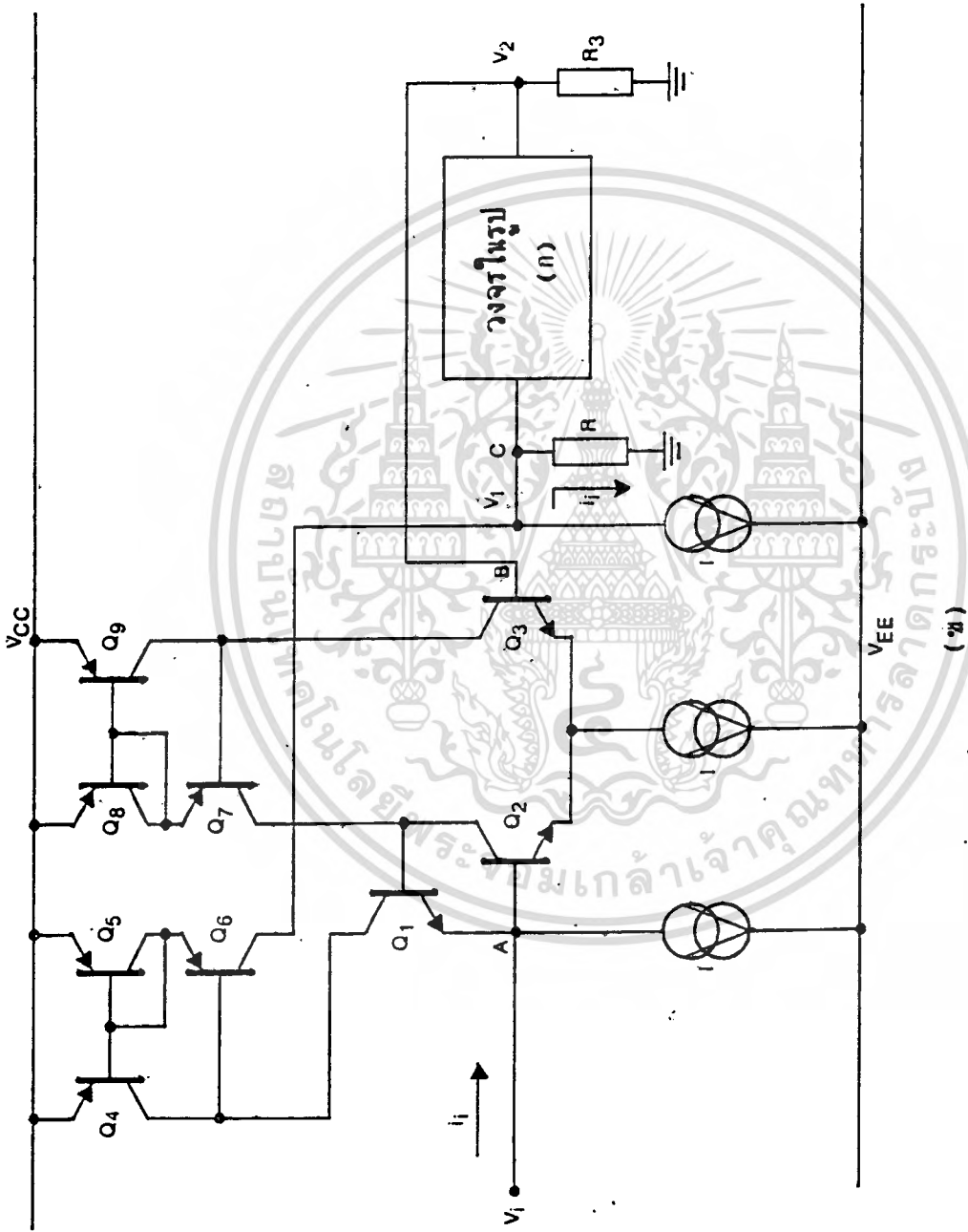
เอกสารนี้เป็นเอกสารที่สงวนไว้สำหรับการใช้งานเพื่อการศึกษาเท่านั้น ไม่อนุญาตให้นำไปใช้ประโยชน์ด้านการค้า ไม่ว่าจะกรณีใดๆทั้งสิ้น อีกทั้งห้ามมิให้ตัดแปลงเนื้อหา และต้องอ้างอิงถึงเจ้าของเอกสารทุกครั้งที่มีการนำไปใช้

การสังเคราะห์ความต้านทานไม่เป็นเชิงเส้นในหัวข้อนี้จะใช้หลักการของวงจรเปลี่ยนศักดาเป็นกระแสร่วมกับวงจรตามศักดาดังแสดงในรูปที่ 4.4.1 [5] จากรูปที่ 4.4.1 (ก) จะเป็นวงจรความต้านทานไม่เป็นเชิงเส้นชนิดศักดาควบคุม โดยในส่วนของทรานซิสเตอร์ Q_1, Q_2, Q_3, Q_4 และความต้านทาน R_1 และ R_2 ต่อร่วมกันเป็นวงจรเปลี่ยนศักดาเป็นกระแสแบบช่วงสองวงจรที่ต่อขนานกัน โดยมีตัวดึงกระแสคงที่ I_1 และ I_2 เป็นตัวกำหนดช่วงความเป็นเชิงเส้น การทำงานของวงจรอธิบายได้ดังนี้ เมื่อให้ศักดาอินพุต V_1 มีค่าเป็นบวกทรานซิสเตอร์ Q_1 และ Q_4 จะนำกระแสมากขึ้น เป็นผลให้เกิดกระแส i_1 และ i_2 ไหลผ่านความต้านทาน R_1 และ R_2 ทำให้ที่ขาคอลเลคเตอร์ของทรานซิสเตอร์ Q_3 มีกระแสเท่ากับ $(i_1 - i_2)$ แต่เนื่องจากทรานซิสเตอร์ Q_3, Q_5 และ Q_7 ต่อเป็นวงจรสะท้อนกระแส เป็นผลให้ที่ขาคอลเลคเตอร์ของ Q_7 มีกระแสเท่ากับ $(i_1 - i_2)$ ด้วย เนื่องจากขาคอลเลคเตอร์ของ Q_2 ต่ออยู่กับขาคอลเลคเตอร์ของ Q_4 เป็นผลให้ผลรวมของกระแสจุดนี้เท่ากับ $(i_2 - i_1)$ หรือ $-(i_1 - i_2)$ ดังนั้นจะได้ผลต่างของกระแสคือ i_3 ซึ่งมีค่าเท่ากับ $2(i_1 - i_2)$ ไหลไปสู่วงจรสะท้อนกระแสที่ประกอบด้วยทรานซิสเตอร์ Q_6, Q_8 และ Q_{10} และกระแส i_3 จะถูกส่งผ่านมาอีกด้านเป็นกระแส i_4 ซึ่งจะมีค่าเท่ากับกระแส i_3 สำหรับทรานซิสเตอร์ Q_9 และความต้านทาน R', R'' จะทำหน้าที่กำหนดระดับศักดาที่ขาอิมิตเตอร์ของ Q_9 และ Q_{10} ให้มีค่าที่เหมาะสม เนื่องจากที่ขาคอลเลคเตอร์ของ Q_9 จะมีศักดากัลเคียงกับแหล่งจ่ายไฟ V_{CC} ซึ่งจะทำให้วงจรสะท้อนกระแส Q_9, Q_8 และ Q_7 ทำงานในสภาวะที่ใกล้จุดอิ่มตัว ซึ่งจะทำให้การสะท้อนกระแสของวงจรสะท้อนกระแสมีค่าผิดพลาดสูง เมื่อป้อนศักดา V_1 เข้าไปในวงจรรูปที่ 4.4.1 (ก) และพิจารณาเฉพาะการเปลี่ยนแปลงของกระแส i_3 จะได้ว่าในขณะที่ V_1 มีค่าน้อยทำให้ค่ากระแส $i_1 < I_1$ และ $i_2 < I_2$ จะได้ค่ากระแส i_3 เท่ากับ $-2(i_1 - i_2)$ และเมื่อเพิ่มศักดา V_1 มากจนกระทั่งทำให้ Q_4 นำกระแสในสภาวะอิ่มตัว ซึ่งจะเป็นผลให้ i_2 มีค่าคงที่ที่ I_2 ดังนั้นการเปลี่ยนแปลงของกระแส i_3 ก็จะมีค่าเท่ากับ $-2i_1$ และถ้าเพิ่มศักดา V_1 ให้มีค่าเพิ่มขึ้นไปอีกจนกระทั่งทำให้ทรานซิสเตอร์ Q_1 และ Q_4 นำกระแสในสภาวะอิ่มตัว ซึ่งจะเป็นผลให้กระแส i_1 และ i_2 จะมีค่าคงที่ที่ I_1 และ I_2 ทำให้ i_3



(ก)

เอกสารนี้เป็นเอกสารที่สงวนไว้สำหรับการใช้งานเพื่อการศึกษาเท่านั้น ไม่อนุญาตให้นำไปใช้ประโยชน์ด้านการค้า
ไม่ว่ากรณีใดๆทั้งสิ้น อีกทั้งห้ามมิให้ตัดแปลงเนื้อหา และต้องอ้างอิงถึงเจ้าของเอกสารทุกครั้งที่มีการนำไปใช้



รูปที่ 4.4.1 (ก) วงจรความต้านทานไม่เป็นเชิงเส้น

(ข) วงจรความต้านทานไม่เป็นเชิงเส้นที่กระชแสควบคุม

ไม่มีการเปลี่ยนแปลง ในทำนองเดียวกันถ้าศักดา v_1 ทำให้ทรานซิสเตอร์ Q_1 นำกระแสในสภาวะอิ่มตัวและทรานซิสเตอร์ Q_2 ยังไม่เข้าสู่สภาวะอิ่มตัวทำให้สามารถหาค่าการเปลี่ยนแปลงของ i_2 ได้เท่ากับ $2i_2$ ดังนั้นทำให้สามารถหาความสัมพันธ์ของศักดา v_2 เมื่อเทียบกับศักดา v_1 ได้ดังนี้

เมื่อกำหนดให้ $G_1 = 1/R_1$ และ $G_2 = 1/R_2$ ดังนั้นกระแส i_1 และ i_2 จะหาได้จาก

$$i_1 = v_1 G_1$$

และ

$$i_2 = v_1 G_2$$

ดังนั้นอัตราส่วนระหว่าง v_1 และ v_2 จะหาได้จาก

$$v_2/v_1 = \begin{cases} -2R_2(G_1 - G_2) & \text{เมื่อ } i_1 \leq I_1 \text{ และ } i_2 \leq I_2 \\ -2R_2 G_1 & \text{เมื่อ } i_1 \leq I_1 \text{ และ } i_2 > I_2 \\ 2R_2 G_2 & \text{เมื่อ } i_1 > I_1 \text{ และ } i_2 \leq I_2 \\ 0 & \text{เมื่อ } i_1 > I_1 \text{ และ } i_2 > I_2 \end{cases} \quad (4.4.1)$$

โดยที่ $i_1 = v_1/R_1$ และ $i_2 = v_1/R_2$

ในรูปที่ 4.4.1 (ข) เป็นวงจรมตามศักดาโดยที่ทรานซิสเตอร์ Q_2 และ Q_3 ต่อเป็นวงจรขยายความแตกต่างซึ่งถูกกำหนดให้กระแสคอลเลคเตอร์มีค่าเท่ากับ $I/2$

โดยวงจรสะท้อนกระแส Q_7 , Q_8 และ Q_9 และเนื่องจากทรานซิสเตอร์ในวงจร

รวมมีความสมพงษ์กันมากเป็นผลให้ศักดา v_{B2} มีค่าเท่ากับศักดา v_{B3} ดังนั้นศักดาไม่วากรณ์ใดๆทั้งสิ้น อีกทั้งห้ามมิให้ตัดแปลงเนื้อหา และต้องอ้างอิงถึงเจ้าของเอกสารทุกครั้งที่มีการนำไปใช้

ดาที่จุด B จึงมีค่าเท่ากับศักดาที่จุด A ทราบซีลเตอร์ Q_1 จะทำหน้าที่เป็นวงจรตามกระแส เมื่อให้กระแส i_1 เข้าไปในวงจรที่จุด A กระแส i_1 นี้จะไหลไปยังจุดที่มีความต้านทานขาเข้าต่ำสุดซึ่งก็คือที่ขาอิมิตเตอร์ของ Q_1 และจะถูกส่งผ่านไปยังขาคอลเลคเตอร์เข้าสู่วงจรสะท้อนกระแส Q_1 , Q_2 และ Q_3 ซึ่งจะส่งผ่านกระแส i_1 ไปยังจุด C เนื่องจากวงจรในรูปที่ 4.4.1 (ก) มีความต้านทานขาเข้าสูงมากทำให้กระแส i_1 จะไหลไปยังความต้านทาน R ทั้งหมดเป็นผลให้เกิดศักดา V_1 ตกคร่อม R มีค่าเท่ากับ

$$V_1 = Ri_1 \tag{4.4.2}$$

เมื่อกำหนดให้ i_1 ไหลออกจากจุด A และศักดาที่จุด A หรือ V_1 เป็นศักดาอินพุทซึ่งจะมีค่าเท่ากับศักดาที่จุด B หรือ V_2 และ R_1 เป็นความต้านทานไม่เป็นเชิงเส้นที่สามารถหาความสัมพันธ์ได้ดังนี้

$$V_1 = V_2 \tag{4.4.3}$$

จากสมการที่ (4.4.1), (4.4.2) และ (4.4.3) จะได้ว่า

$$R_1 = V_1 / i_1 = \begin{cases} -2RR_2(G_1 - G_2) & \text{เมื่อ } i_1 \leq I_1 \text{ และ } i_2 \leq I_2 \\ -2RR_2G_1 & \text{เมื่อ } i_1 \leq I_1 \text{ และ } i_2 > I_2 \\ 2RR_2G_2 & \text{เมื่อ } i_1 > I_1 \text{ และ } i_2 \leq I_2 \\ 0 & \text{เมื่อ } i_1 > I_1 \text{ และ } i_2 > I_2 \end{cases} \tag{4.4.4}$$

จากที่ผ่านมาจะเห็นได้ว่าความไม่เป็นเชิงเส้นในหลักการนี้จะขึ้นอยู่กับวงจรเปลี่ยนศักดาเป็นกระแส ดังนั้นในการสังเคราะห์ความไม่เป็นเชิงเส้นในรูปแบบอื่น ๆ ก็สามารทำได้โดยการเพิ่มวงจรเปลี่ยนศักดาเป็นกระแสขนานเข้าไปในวงจรรูปที่

เอกสารนี้เป็นเอกสารที่สงวนไว้สำหรับการใช้งานเพื่อการศึกษาเท่านั้น ไม่อนุญาตให้นำไปใช้ประโยชน์ด้านการค้า
 4.4.1 (ข)
 ไม่ว่าจะฉีกทุกสิ่งอื่น อีกทั้งห้ามมิให้ตัดแปลงเนื้อหา และต้องอ้างอิงถึงเจ้าของเอกสารทุกครั้งที่มีการนำไปใช้

4.5 บทสรุป

การสังเคราะห์ความต้านทานไม่เป็นเชิงเส้นโดยใช้หลักการของวงจรรวมจะทำให้อนุกลทุกตัวในวงจรมีความสมนงกันมากเนื่องจากอยู่บนชิ้นสารกึ่งตัวนำเดียวกัน เป็นผลให้ค่าผิดพลาดในการประมาณค่าความไม่เป็นเชิงเส้นที่เกิดจากผลของอนุกลมมีค่าน้อยลง ซึ่งทำให้การทำงานของวงจรมีความแม่นยำสูงและสามารถที่จะทำงานในขณะที่มีสัญญาณอินพุตมีขนาดเล็กๆได้โดยมีความผิดเพี้ยนของสัญญาณน้อยกว่าแบบคิสิกที่ได้อีกกล่าวถึงในบทที่ผ่านมา



บทที่ 5

วงจรความต้านทานไม่เป็นเชิงเส้นที่ได้พัฒนาขึ้น

5.1 บทนำ

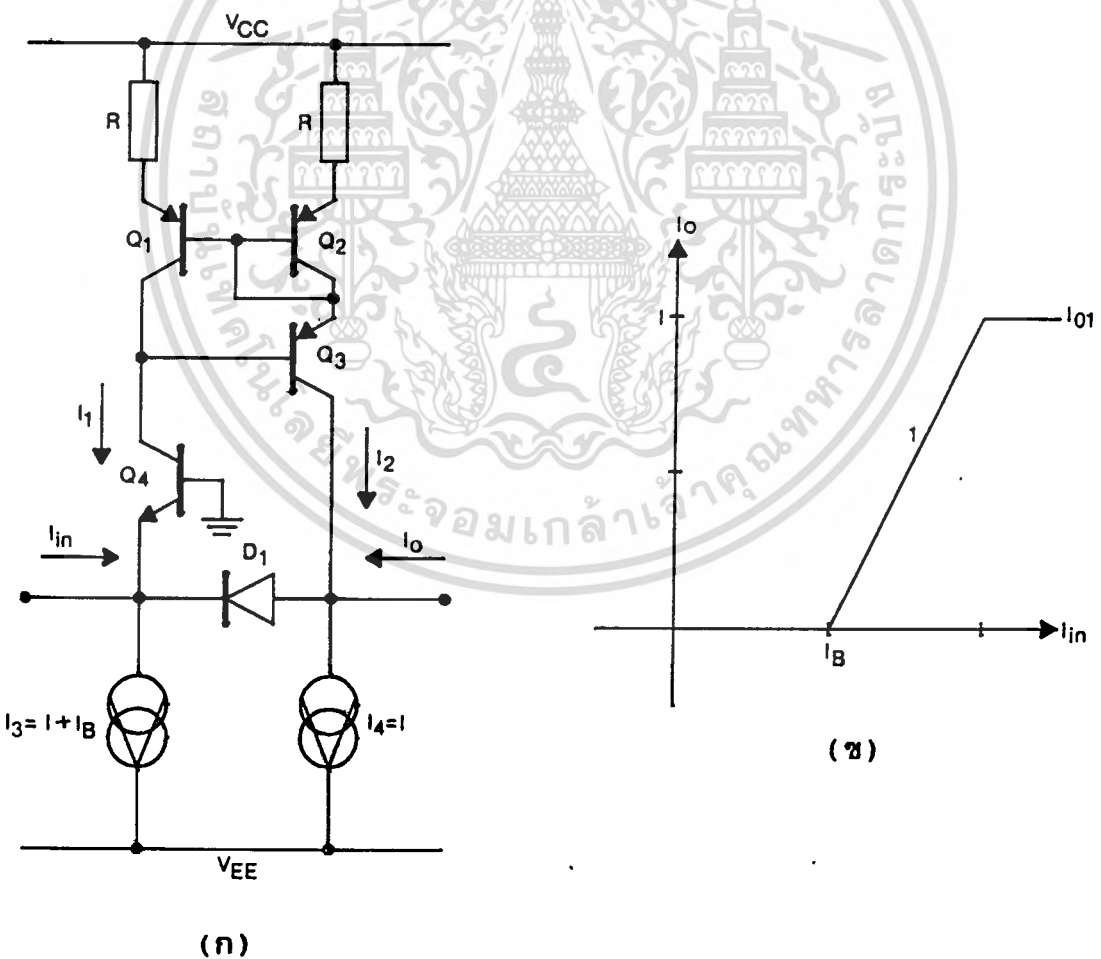
วงจรความต้านทานไม่เป็นเชิงเส้นที่กล่าวถึงในบทที่ผ่านมา นั้น ความแม่นยำของความไม่เป็นเชิงเส้นจะยังขึ้นอยู่กับอนุกลที่นำมาใช้ในวงจร เนื่องจากการทำงานของอนุกลจะพิจารณาเป็นอนุกลในทางอุดมคติ โดยเฉพาะการสังเคราะห์ที่ใช้หลักการของความไม่เป็นเชิงเส้นแบบช่วงจะใช้คุณสมบัติของไดโอดและทรานซิสเตอร์เป็นหลัก ซึ่งศักดาที่ตกคร่อมไดโอดหรือทรานซิสเตอร์จะไม่เป็นเชิงเส้นเมื่อเทียบกับกระแสที่ไหลผ่านตัวมัน การสังเคราะห์ความต้านทานไม่เป็นเชิงเส้นตามหลักการที่ผ่านมาจะพิจารณาในรูปของศักดาเป็นหลัก เป็นผลให้ความไม่เป็นเชิงเส้นจะเกิดผิดเพี้ยนไปในช่วงที่ไดโอดหรือทรานซิสเตอร์กำลังจะเริ่มนำกระแสหรือหยุดนำกระแส

ในบทนี้จึงได้เสนอหลักการและการออกแบบวงจรเพื่อสังเคราะห์ความต้านทานไม่เป็นเชิงเส้นขึ้นอีกวิธีหนึ่ง โดยจะใช้วงจรจำกัดกระแสซึ่งทำงานในรูปของกระแสแทนวงจรจำกัดศักดาซึ่งทำงานในรูปของศักดา ความต้านทานไม่เป็นเชิงเส้นที่สังเคราะห์ขึ้นโดยใช้หลักการของวงจรจำกัดกระแสนี้จะมีความแม่นยำสูง และสามารถที่จะออกแบบให้ทำงานได้ทั้งชนิดกระแสควบคุมและศักดาควบคุม

5.2 หลักการของวงจรจำกัดกระแส

สำหรับในวิทยานิพนธ์นี้ วงจรจำกัดกระแสจะเป็นวงจรพื้นฐานหลักที่ใช้ในการสังเคราะห์ความต้านทานไม่เป็นเชิงเส้น โดยที่วงจรจำกัดกระแสนี้จะทำงานในรูปของกระแสทั้งหมด ดังนั้นจึงไม่จำเป็นต้องคำนึงถึงผลของศักดาที่ตกคร่อมไดโอดหรือศักดาระหว่างขาเบสและอีมิเตอร์ของทรานซิสเตอร์ซึ่งจะมีค่าไม่เป็นเชิงเส้นเมื่อการคำนวณได้ออกมาแล้ว อีกทั้งห้ามมิให้คัดแปลงเนื้อหา และต้องอ้างอิงถึงเจ้าของเอกสารทุกครั้งที่มีการนำไปใช้

เทียบกับกระแสที่ไหลผ่านตัวมัน วงจรจำกัดกระแสที่ได้พัฒนาขึ้นแสดงในรูปที่ 5.2.1 โดยที่ทรานซิสเตอร์ Q_1 , Q_2 และ Q_3 จะต่อเป็นวงจรสะท้อนกระแสแบบลบบทรานซิสเตอร์ Q_4 จะทำหน้าที่เป็นวงจรตามกระแสและยังเป็นตัวกำหนดศักดาที่จุด a ให้มีค่าประมาณครึ่งหนึ่งของแหล่งจ่ายไฟ เพื่อให้วงจรขับกระแสจากภายนอกสามารถจ่ายกระแส I_{in} เข้ามายังจุด a ได้อย่างถูกต้อง ไดโอด D_1 จะทำหน้าที่เป็นตัวป้องกันกระแสจากจุด b มายังจุด a ในช่วงที่ต้องการให้กระแสเอาต์พุต I_o เป็นศูนย์และกระแสคงที่ I_1 เป็นค่ากระแสเริ่มต้นที่วงจรจำกัดกระแสจะให้กระแสเอาต์พุต I_o



รูปที่ 5.2.1 (ก) วงจรจำกัดกระแสควอทแดนท์ที่หนึ่ง

เอกสารนี้เป็นเอกสารที่สงวนไว้สำหรับการใช้งานเพื่อการศึกษาเท่านั้น ไม่อนุญาตให้นำไปใช้ประโยชน์ด้านการค้า
 (ข) เส้นคุณลักษณะจำเพาะ
 ไม่ว่าจะกรณีใดๆทั้งสิ้น อีกทั้งห้ามมิให้ดัดแปลงเนื้อหา และเผยแพร่ไปยังผู้ใดของเอกสารทุกครั้งที่มีการนำไปใช้

การทำงานของวงจรในรูปที่ 5.2.1 สามารถอธิบายได้ดังนี้ ในขณะที่ยังไม่มีกระแสอินพุต I_{in} วงจรสะท้อนกระแสแบบลบที่ประกอบด้วย Q_1 , Q_2 และ Q_3 จะบังคับให้ค่ากระแส I_1 เท่ากับ I_2 ซึ่งมีค่าเท่ากับ $I + I_o/2$ เมื่อมีกระแสอินพุต $I_{in} = i$ เข้ามายังจุด a ดังนั้นผลรวมของกระแสในวงจรจะมีค่าดังนี้

$$I_1 + I_2 + i = I_o + I_4 = 2I + I_o \tag{5.2.1}$$

เนื่องจากกระแส $I_1 = I_2$ ดังนั้น

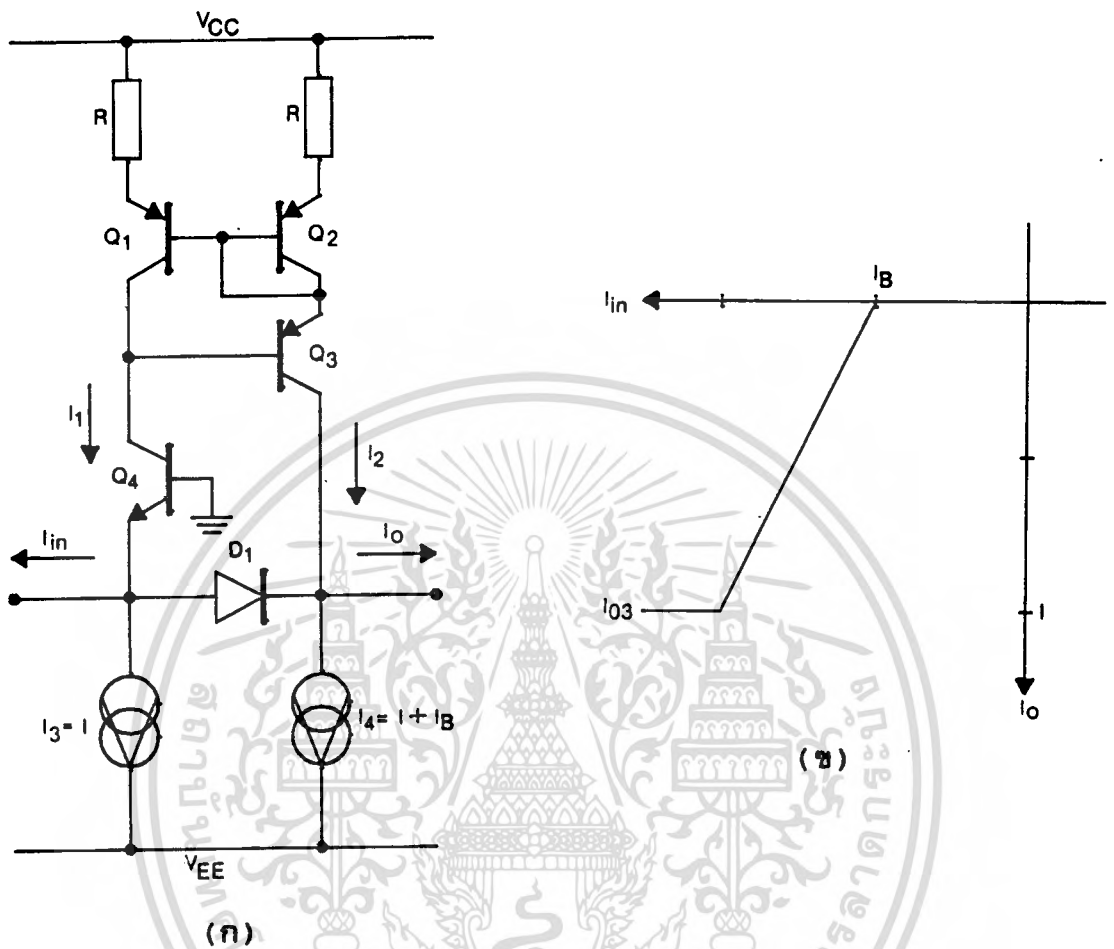
$$I_1 = I_2 = I + I_{o1} = I + I_o/2 - i/2 \tag{5.2.2}$$

เมื่อกระแส I_{o1} เป็นกระแสที่ไหลผ่านไดโอด D_1 จากสมการที่ (5.2.2) จะเห็นได้ว่าเมื่อกระแส i มีค่ามากขึ้นกระแสที่ไหลผ่านไดโอด D_1 ก็จะมีค่าลดลง และถ้ากระแส i มีค่าเท่ากับ I_o จะเป็นผลให้กระแส I_1 และ I_2 จะมีค่าเท่ากับ I ทำให้ไม่มีกระแสไหลผ่านไดโอด D_1 หรือก็คือไดโอด D_1 หยุดนำกระแส เมื่อกระแส i มีค่ามากกว่า I_o จะทำให้เกิดกระแสเอาต์พุต I_o ขึ้นซึ่งจะมีค่าเท่ากับ $(i - I_o)$ ความสัมพันธ์ระหว่างกระแสอินพุตและกระแสเอาต์พุตแสดงในรูปที่ 5.2.1 (ข) และกระแสเอาต์พุตสามารถแสดงได้ดังนี้

$$I_{o1} = \begin{cases} 0 & \text{เมื่อ } I_{in} < I_o \\ I_{in} - I_o & \text{เมื่อ } I_{in} > I_o \end{cases} \tag{5.2.3}$$

โดยที่ I_{o1} จะแทนกระแสเอาต์พุตที่อยู่ในควอเตอร์แคตที่หนึ่ง และสำหรับวงจรจำกัดกระแสที่ให้กระแสเอาต์พุตในควอเตอร์แคตที่สองหรือ I_{o2} จะแสดงในรูปที่ 5.2.2 โดยที่การทำงานของวงจรจะเหมือนกับในรูปที่ 5.2.1 เพียงแต่ทิศทางของกระแสอินพุตและกระแสเอาต์พุตตรงข้ามกันกับในรูปที่ 5.2.1

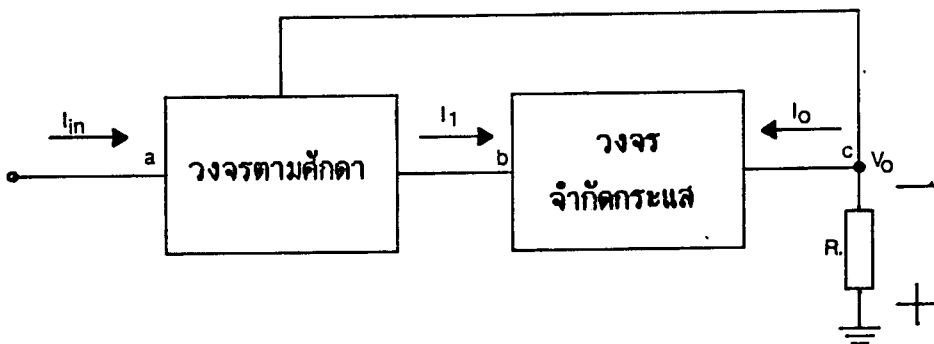
เอกสารนี้เป็นเอกสารที่สงวนไว้สำหรับการใช้งานเพื่อการศึกษาเท่านั้น ไม่อนุญาตให้นำไปใช้ประโยชน์ด้านการค้า ไม่ว่ากรณีใดๆทั้งสิ้น อีกทั้งห้ามมิให้คัดแปลงเนื้อหา และต้องอ้างอิงถึงเจ้าของเอกสารทุกครั้งที่มีการนำไปใช้



รูปที่ 5.2.2 (ก) วงจรจำกัดกระแสควอตแดนท์ที่สี่

(ข) เส้นคุณลักษณะจำเพาะ

จากคุณสมบัติของวงจรจำกัดกระแสทำให้สามารถที่จะนำมาสังเคราะห์ความต้านทานเชิงเส้นแบบช่วงได้ โดยการต่อกับวงจรตามคัสคา (ดังที่ได้กล่าวไว้แล้วในบทที่ 4) และความต้านทาน R ดังแสดงในรูปที่ 5.2.3 ซึ่งจะได้เป็นวงจรความต้านทานเชิงเส้นแบบช่วง จากรูปที่ 5.2.3 กำหนดให้ I_1 เป็นค่ากระแสเริ่มต้นของวงจรจำกัดกระแส เมื่อให้กระแส I_{in} เข้าที่อินพุตจุด a วงจรตามคัสคาก็จะให้กระแสเอาต์พุต I_1 ที่มีค่าเท่ากับ I_{in} เข้าที่จุด b ซึ่งเป็นอินพุตของวงจรจำกัดกระแส เมื่อกระแส I_1 มีค่ามากกว่าค่าของกระแส I_1 แล้ววงจรจำกัดกระแสก็จะให้กระแสเอาต์พุต I_0 ออกมา และกระแส I_0 นี้จะไหลผ่านความต้านทาน R ไม่วาทกรรมใดๆทั้งสิ้น อีกทั้งห้ามมิให้ตัดแปลงเนื้อหา และต้องอ้างอิงถึงเจ้าของเอกสารทุกครั้งที่มีการนำไปใช้

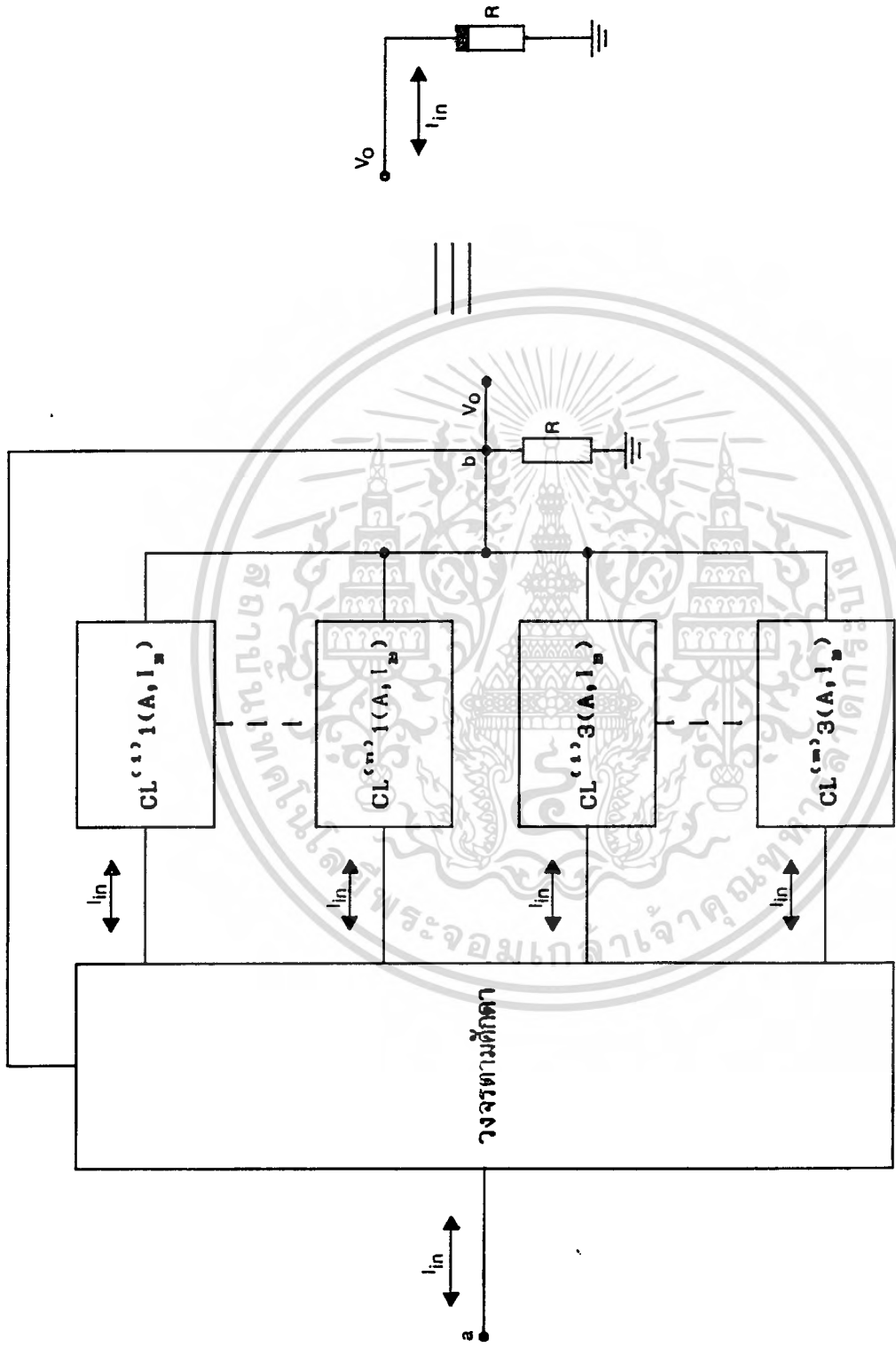


รูปที่ 5.2.3 การสังเคราะห์ความต้านทานเชิงเส้นแบบช่วง

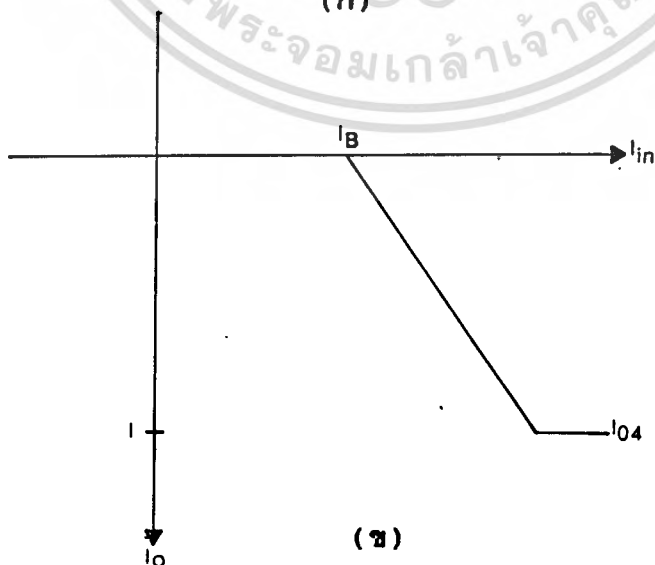
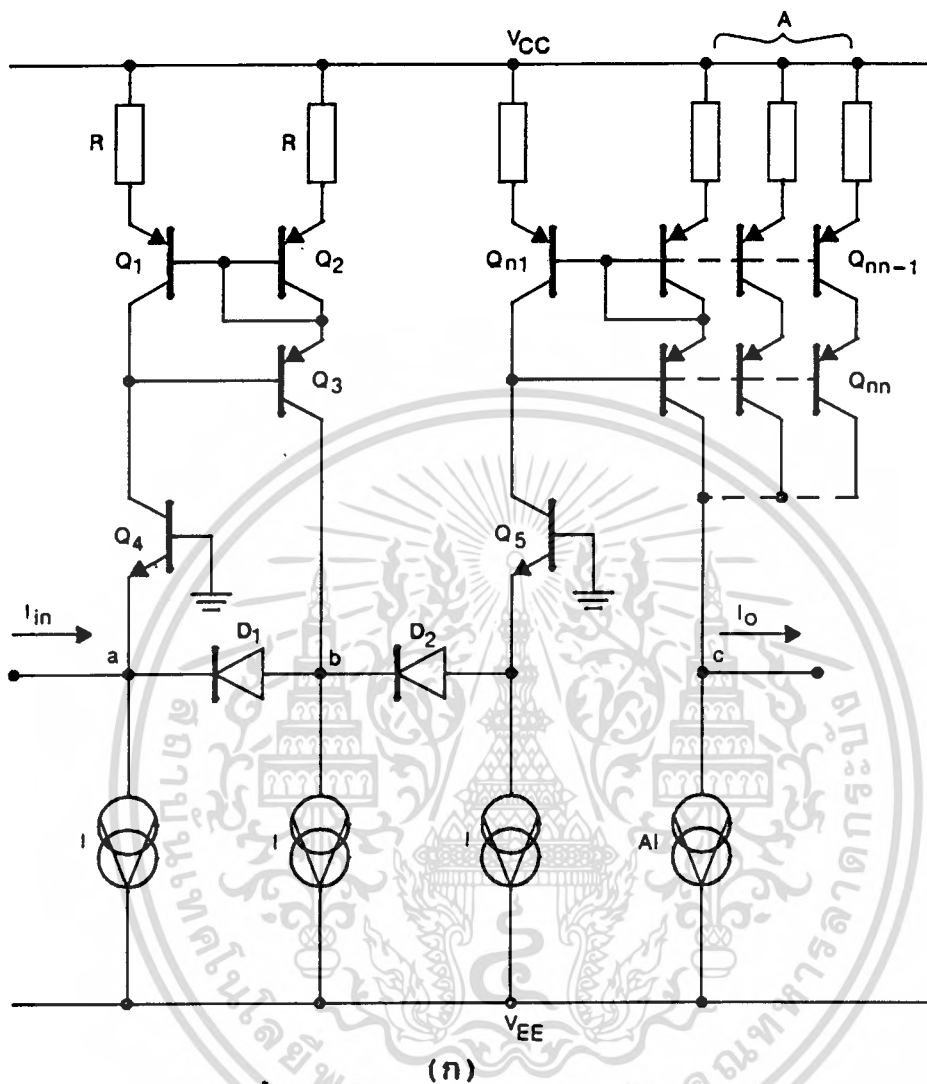
ลงกราวด์ ทำให้เกิดเป็นคักดา V_o ตกคร่อมความต้านทาน R ขึ้นที่จุด c คักดา V_o นี้จะถูกป้อนกลับมาปรากฏที่จุด a โดยวงจรตามคักดา และเนื่องจากคักดาที่จุด c จะมีค่าเป็นลบจึงเป็นผลให้วงจรในรูปที่ 5.2.3 เป็นวงจรความต้านทานเชิงเส้นแบบช่วงแบบลบชนิดกระแสควบคุม

สำหรับการสังเคราะห์ความต้านทานไม่เป็นเชิงเส้นก็สามารถทำได้โดยใช้หลักการเดียวกับในรูปที่ 5.2.3 ด้วยการเพิ่มวงจรจำกัดกระแสที่มีค่ากระแสเริ่มต้นที่ค่าต่าง ๆ กันดังแสดงในรูปที่ 5.2.4 ซึ่งในวงจรนี้มีวงจรจำกัดกระแสทั้งสองชนิดคือชนิดที่ให้กระแสเอาท์พุทในควอทแดนท์ที่หนึ่งและชนิดที่ให้กระแสเอาท์พุทในควอทแดนท์ที่สาม แต่จากคุณสมบัติของวงจรจำกัดกระแสในรูปที่ 5.2.1 ในส่วนของเอาท์พุทที่จุด b จะมีคักดาเป็นบวกไม่ได้และส่วนในรูปที่ 5.2.2 ก็เช่นกันจะมีคักดาที่เอาท์พุทเป็นลบไม่ได้ เนื่องจากจะทำให้ไดโอด D_1 ถูกไบอัสตรงและเป็นผลให้วงจรทำงานผิดไปจากที่ต้องการ ทำให้การใช้งานของวงจรจำกัดกระแสในรูปที่ 5.2.1 และรูปที่ 5.2.2 มีข้อจำกัดอยู่มาก จึงได้มีการพัฒนาวงจรจำกัดกระแสขึ้นใหม่เพื่อลดข้อจำกัดดังกล่าวและได้แสดงในรูปที่ 5.2.5

จากรูปที่ 5.2.5 (ก) เป็นวงจรที่พัฒนามาจากวงจรในรูปที่ 5.2.1 (ก) ทรานซิสเตอร์ Q_2 และไดโอด D_2 เพิ่มเข้ามาเพื่อทำให้วงจรส่วนหน้าทำงานได้อย่างถูกต้อง ทรานซิสเตอร์ Q_{n1} ถึง Q_{n4} จะประกอบกันเป็นวงจรสลับที่อนุกรมเลี้ยวกรณีใดๆทั้งสิ้น อีกทั้งยังมีให้ตัดแปลงเนื้อหา และต้องอ้างอิงถึงเจ้าของเอกสารทุกครั้งที่มีการนำไปใช้



รูปที่ 5.2.4 การสังเคราะห์ความต้านทานไม่เป็นเชิงเส้น



รูปที่ 5.2.5 (ก) วงจรจำกัดกระแสที่พัฒนาจากวงจรในรูปที่ 5.2.1

เอกสารนี้เป็นเอกสารที่สงวนไว้สำหรับการใช้งานเพื่อการศึกษาเท่านั้น ไม่อนุญาตให้นำไปใช้ประโยชน์ด้านการค้า

(ข) เส้นคุณลักษณะจำเพาะ

ไม่ว่ากรณีใดๆทั้งสิ้น อีกทั้งห้ามมิให้ตัดแปลงเนื้อหา และต้องอ้างอิงถึงเจ้าของเอกสารทุกครั้งที่มีการนำไปใช้

แบบลบที่สามารถเปลี่ยนแปลงอัตราการขยายของกระแส A ได้โดยการเพิ่มหรือลดจำนวนของทรานซิสเตอร์ ค่าของกระแสเอาต์พุต I_{O_1} จะมีค่าเท่ากับ $-A(I_{in} - I_{B_1})$ หรือมีทิศทางตรงข้ามกับกระแสอินพุต ซึ่งจะเป็นกระแสในควอทแดนท์ที่สี่หรือ I_{O_4} และเนื่องจากความต้านทานขาออกของวงจรถ่ายโอนกระแสและวงจรถึงกระแสคงตัวมีค่าสูงมาก ดังนั้นที่จุด C นี้จึงเสมือนกับลอยตัวทำให้ศักดาที่จุดนี้สามารถแปรค่าได้อย่างอิสระ

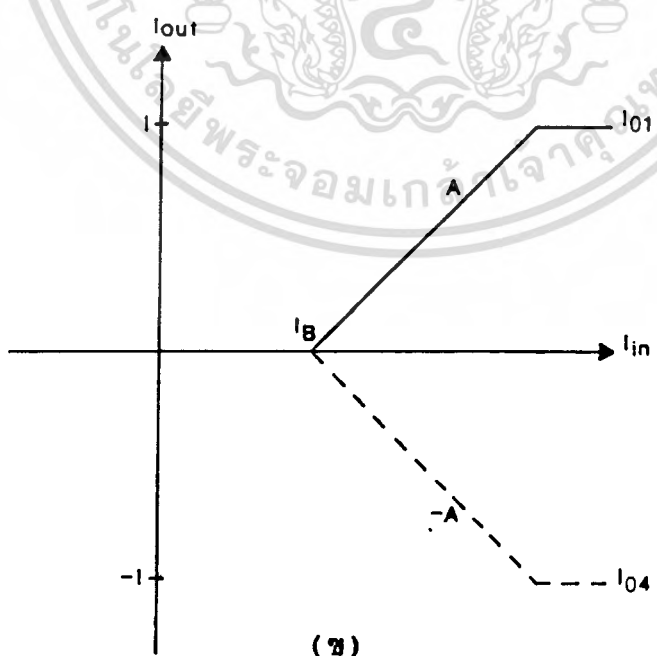
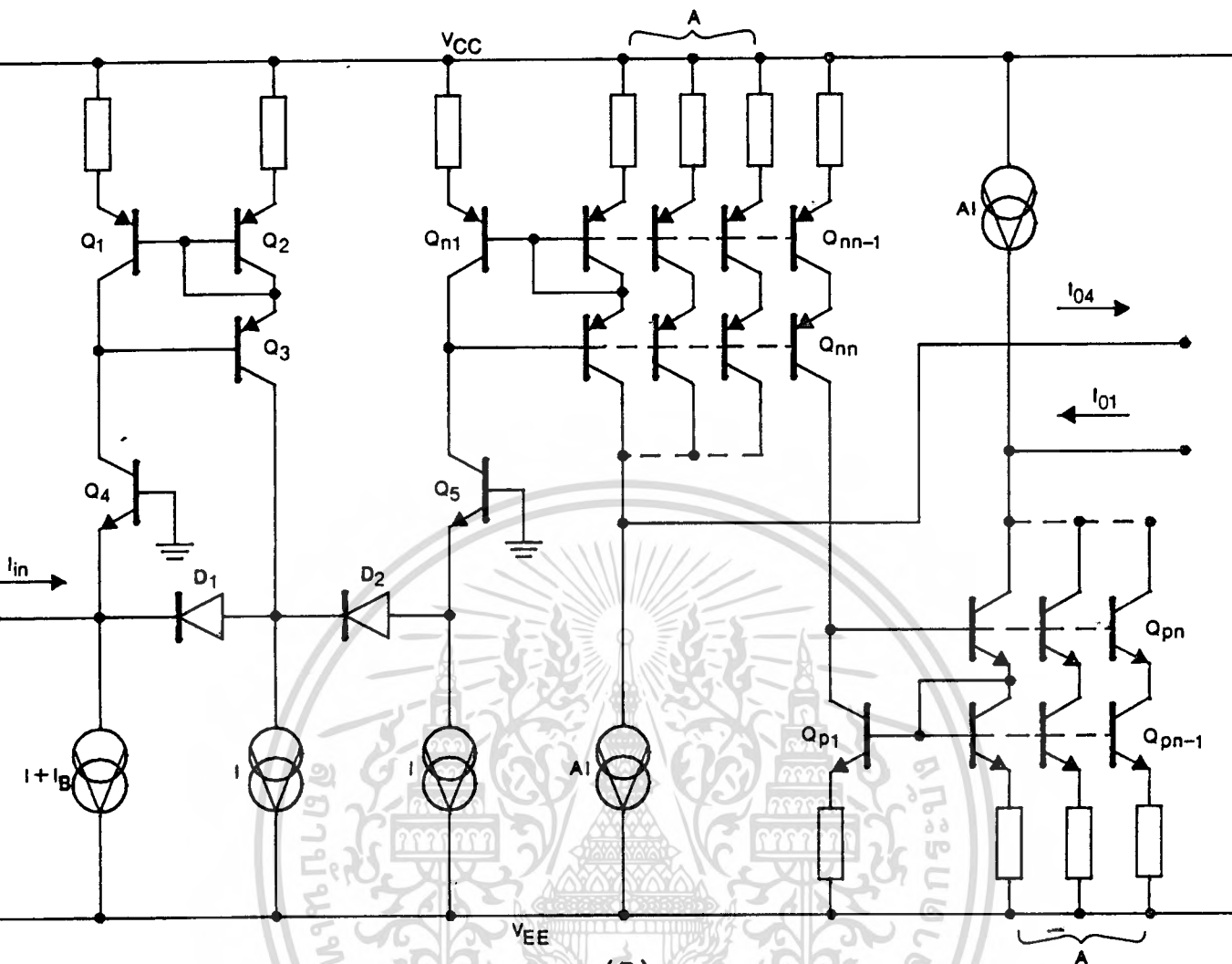
วงจรรูปที่ 5.2.5 (ก) สามารถที่จะพัฒนาให้มีกระแสเอาต์พุตในควอทแดนท์ที่หนึ่งและสี่ได้ในตัวเดียวกัน โดยการเพิ่มวงจรถ่ายโอนกระแสแบบบวกขึ้นอีกหนึ่งชุด ดังแสดงในรูปที่ 5.2.6 โดยในรูปที่ 5.2.6 (ก) ทรานซิสเตอร์ Q_{P_1} ถึง Q_{P_n} จะประกอบกันเป็นวงจรถ่ายโอนกระแสแบบบวกที่เพิ่มเข้ามา ซึ่งจะทำให้การสลับทอนกระแสเอาต์พุต I_{O_4} ให้มีทิศทางตรงข้ามกันดังกราฟที่แสดงในรูปที่ 5.2.6 (ข) สำหรับกระแสเอาต์พุตจะมีค่าดังนี้

$$I_{O_1}(A, I_{in}) = \begin{cases} 0 & \text{เมื่อ } I_{in} < I_{B_1} \\ A(I_{in} - I_{B_1}) & \text{เมื่อ } I_{in} > I_{B_1} \end{cases} \quad (5.2.4)$$

และ

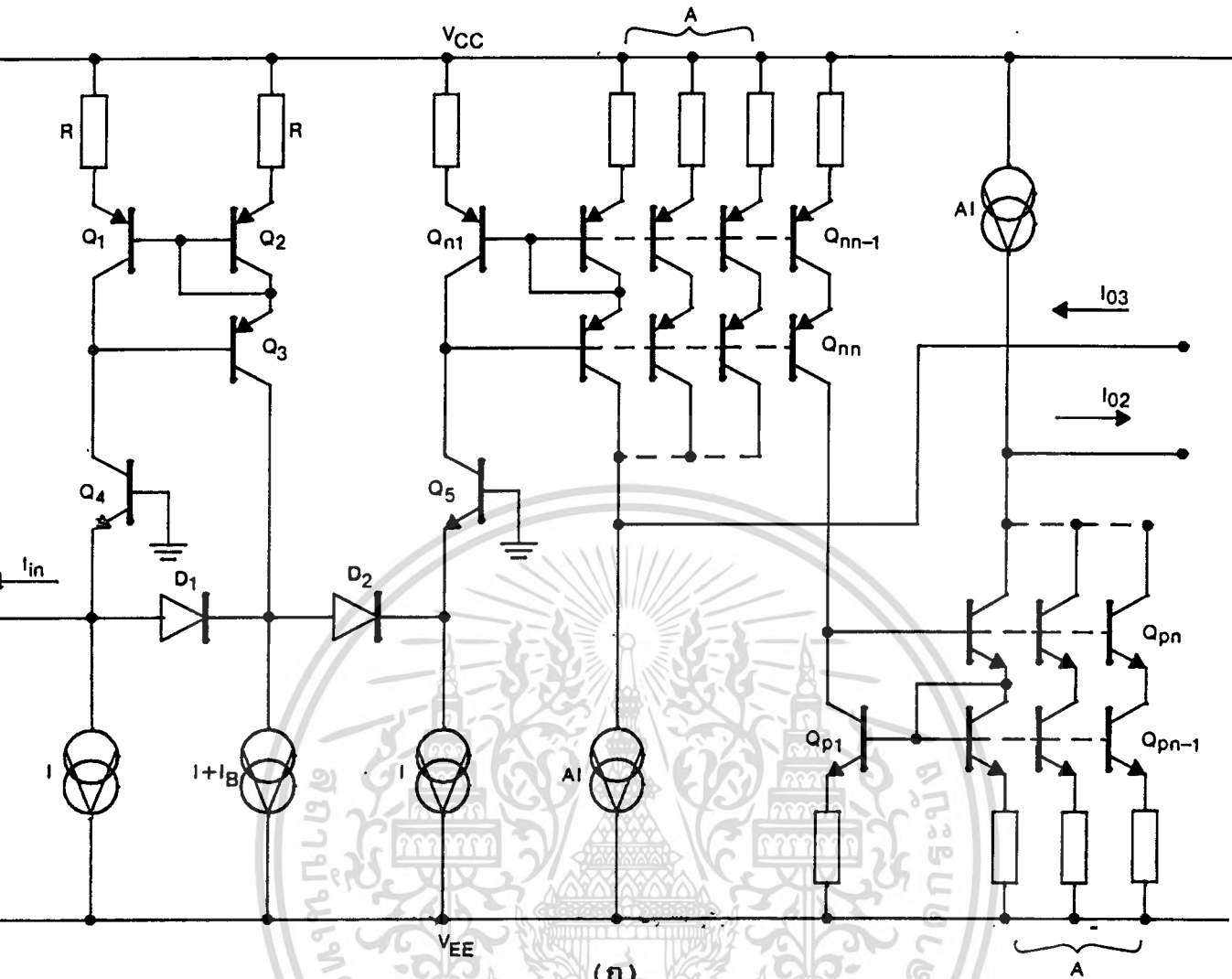
$$I_{O_4}(A, I_{in}) = \begin{cases} 0 & \text{เมื่อ } I_{in} < I_{B_1} \\ -A(I_{in} - I_{B_1}) & \text{เมื่อ } I_{in} > I_{B_1} \end{cases} \quad (5.2.5)$$

เมื่อ $I_{O_1}(A, I_{in})$ และ $I_{O_4}(A, I_{in})$ เป็นกระแสเอาต์พุตในควอทแดนท์ที่หนึ่งและสี่ ค่า A เป็นอัตราการขยายกระแส และ I_{B_1} เป็นค่ากระแสเริ่มต้นของวงจรถ่ายโอนกระแส ส่วนเครื่องหมายลบ "-" ในสมการที่ (5.2.5) จะแสดงถึงทิศทางไม่ว่ากรณีใดๆทั้งสิ้น อีกทั้งห้ามมิให้ตัดแปลงเนื้อหา และต้องอ้างอิงถึงเจ้าของเอกสารทุกครั้งที่มีการนำไปใช้

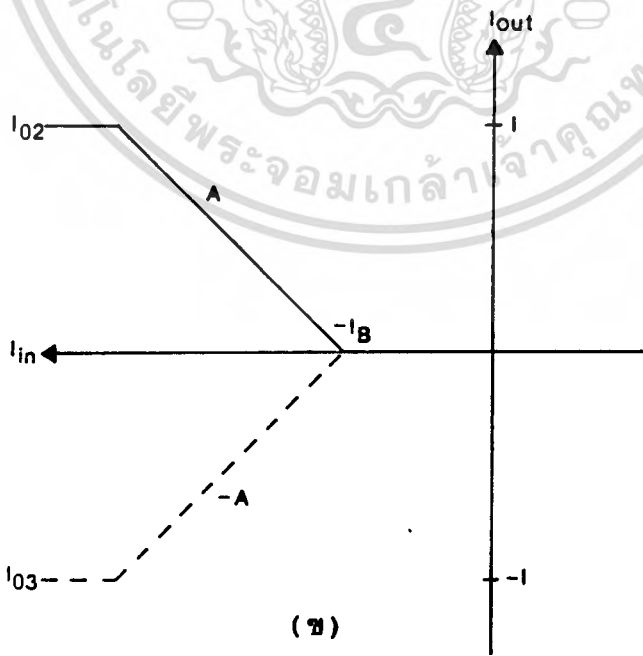


รูปที่ 5.2.6 (ก) วงจรจำกัดกระแสชนิดสองเอาต์พุต (I_{01} , I_{04})

เอกสารนี้เป็นเอกสารที่สงวนไว้สำหรับอาจารย์และบุคลากรในมหาวิทยาลัยเท่านั้น ไม่อนุญาตให้นำไปใช้ประโยชน์ด้านการค้า
 (ข) เส้นแสดงคุณลักษณะจำเพาะ
 ไม่ว่าจะกรณีใดๆทั้งสิ้น อีกทั้งห้ามมิให้ตัดแปลงเนื้อหา และต้องอ้างอิงถึงเจ้าของเอกสารทุกครั้งที่มีการนำไปใช้



(ก)



(ข)

รูปที่ 5.2.7 (ก) วงจรจำกัดกระแสชนิดสองเอาต์พุต (I_{O2} , I_{O3})

เอกสารนี้เป็นเอกสารที่สงวนไว้สำหรับการใช้งานเพื่อการศึกษาเท่านั้น ไม่อนุญาตให้นำไปใช้ประโยชน์ด้านการค้า

(ข) เส้นแสดงคุณลักษณะจำเพาะ

ไม่ว่ากรณีใดๆทั้งสิ้น อีกทั้งห้ามมิให้ตัดแปลงเนื้อหา และต้องอ้างอิงถึงเจ้าของเอกสารทุกครั้งที่มีการนำไปใช้

ของกระแสเอาก์นุกที่ตรงข้ามกับกระแสอินนุก สำหรับวงจรจำกัดกระแสที่ให้กระแสเอาก์นุกในควอทดนที่ที่สองและสามก็สามารถที่จะพัฒนาได้จากวงจรในรูปที่ 5.2.2 เช่นกันดังวงจรที่แสดงในรูปที่ 5.2.7 และค่ากระแสเอาก์นุกสามารถหาค่าได้ดังนี้

$$I_{o2}(A, I_{in}) = \begin{cases} 0 & \text{เมื่อ } |I_{in}| > |I_{in}| \\ A(|I_{in}| - I_{in}) & \text{เมื่อ } |I_{in}| < |I_{in}| \end{cases} \quad (5.2.6)$$

และ

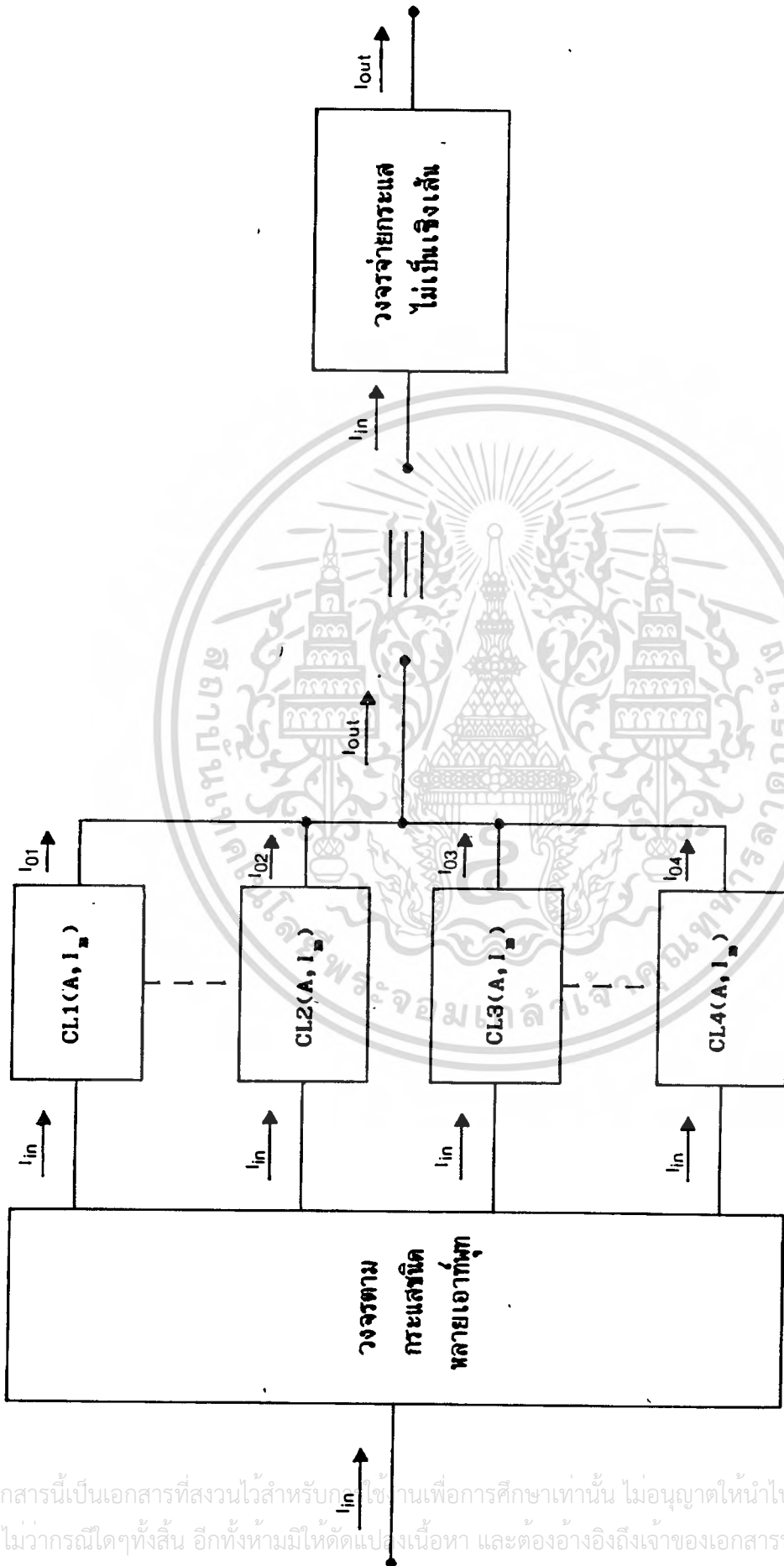
$$I_{o3}(A, I_{in}) = \begin{cases} 0 & \text{เมื่อ } |I_{in}| > |I_{in}| \\ -A(|I_{in}| - I_{in}) & \text{เมื่อ } |I_{in}| < |I_{in}| \end{cases} \quad (5.2.7)$$

วงจรจำกัดกระแสที่ให้กระแสเอาก์นุกตามสมการที่ (5.2.4) ถึง (5.2.7) จะแทนด้วย CL1(A, I_{in}) , CL3(A, I_{in}) , CL2(A, I_{in}) และ CL3(A, I_{in}) ตามลำดับ และสำหรับวงจรในรูปที่ 5.2.6 (ก) และ 5.2.7 (ก) ก็ จะแทนด้วย CL1,4(A, I_{in}) และ CL2,3(A, I_{in})

5.2.1 หลักการของวงจรจ่ายกระแสไม่เป็นเชิงเส้น

จากที่ผ่านมามีข้างต้นจะได้วงจรพื้นฐานหลัก CL1 , CL2 , CL3 และ CL4 เมื่อนำมาต่อร่วมกับวงจรตามกระแสชนิดหลายเอาก์นุกดังแสดงในรูปที่ 5.2.8 ซึ่ง เป็นผลให้วงจรในรูปที่ 5.2.8 จะได้เป็นวงจรจ่ายกระแสไม่เป็นเชิงเส้น ทิศทางกระแสเอาก์นุกของวงจรตามกระแสจะมีทั้งเหมือนกับกระแสอินนุกและตรงข้ามกับกระแสอินนุก เมื่อแยกจ่ายให้กับวงจรจำกัดกระแสทั้งสี่ชนิด ผลรวมของกระแส I_{oout}

จะมีคุณลักษณะไม่เป็นเชิงเส้นที่ขึ้นอยู่กับวงจรจำกัดกระแสแต่ละตัว เมื่อกำหนดให้ค่าไม่ว่ากรณีใดๆทั้งสิ้น อีกทั้งยังมีข้อดีเปลี่ยนเนื้อหา และต้องอ้างอิงถึงเจ้าของเอกสารทุกครั้งที่มีการนำไปใช้



รูปที่ 5.2.8 หลักการของวงจรจ่ายกระแสไม่เป็นเชิงเส้น

m, n, p และ q เป็นจำนวนวงจรจำกัดกระแสในแต่ละชนิด ดังนั้นกระแสเอาท์พุท I_{out} จะสามารถหาได้ดังนี้

$$\begin{aligned}
I_{out} = & \sum_{i=1}^m I_{oi}^{(i)}(A, I_{in}) + \sum_{j=1}^n I_{oj}^{(j)}(A, I_{in}) + \sum_{k=1}^p I_{ok}^{(k)}(A, I_{in}) \\
& + \sum_{l=1}^q I_{ol}^{(l)}(A, I_{in}) \qquad (5.2.8)
\end{aligned}$$

จากสมการที่ (5.2.8) จะเห็นว่าความไม่เป็นเชิงเส้นของวงจรจ่ายกระแสสามารถสร้างขึ้นให้เป็นรูปฟังก์ชันใดก็ได้ โดยการกำหนดค่าอัตราขยาย A และค่ากระแสเริ่มต้น I_{in} ของวงจรจำกัดกระแสทั้งสองชนิด

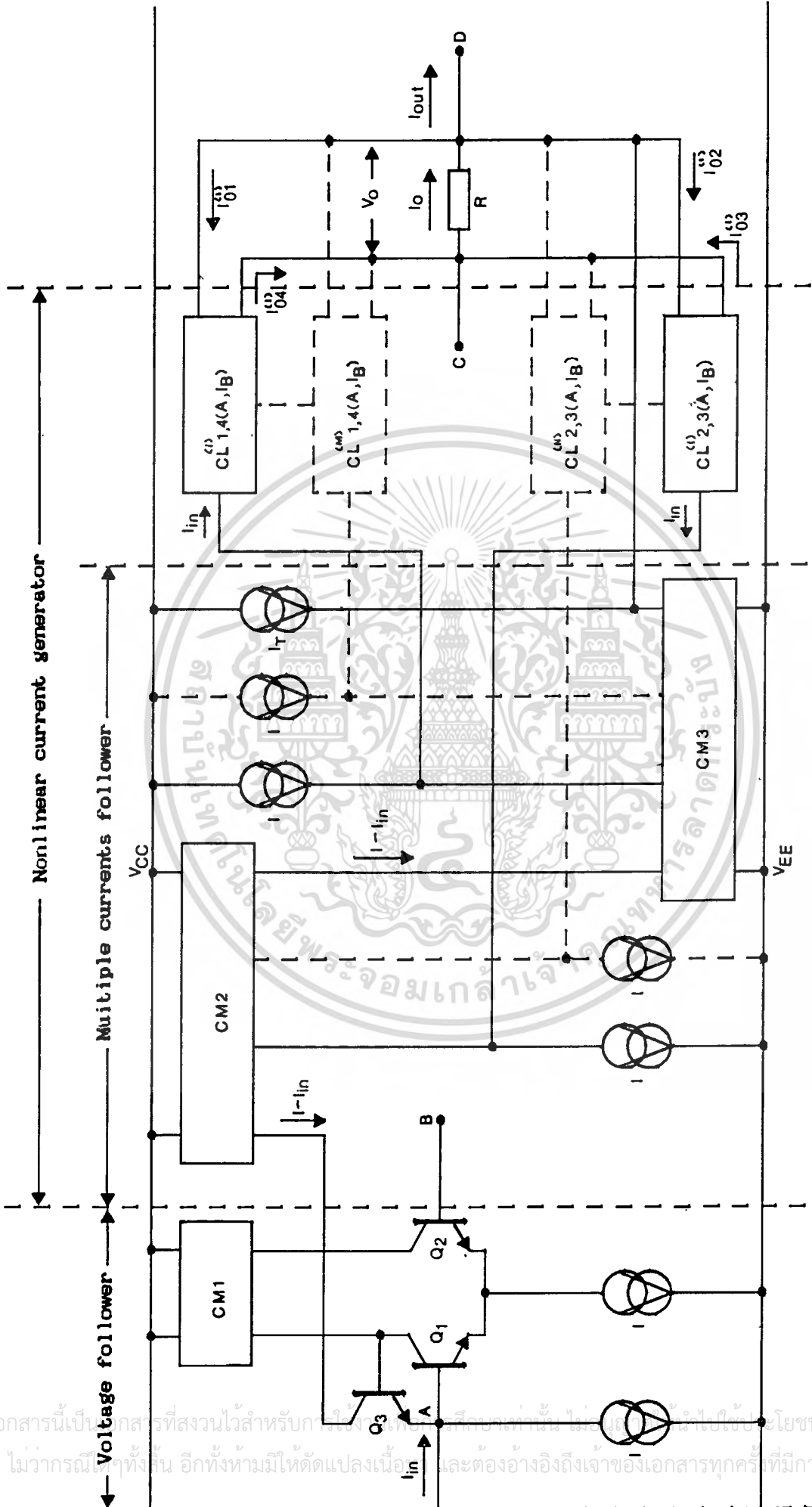
5.3 ความต้านทานไม่เป็นเชิงเส้นชนิดกระแสควบคุม

จากหลักการของวงจรจ่ายกระแสไม่เป็นเชิงเส้นทำให้สามารถที่จะนำมาสังเคราะห์ความต้านทานไม่เป็นเชิงเส้นได้โดยใช้หลักการเดียวกับหลักการในรูปที่ 5.2.4

ซึ่งจะได้เป็นความต้านทานไม่เป็นเชิงเส้นชนิดกระแสควบคุมดังแสดงในรูปที่ 5.3.1

จากรูปทรานซิสเตอร์ Q_1, Q_2 และวงจรสะท้อนกระแส CM1 จะทำหน้าที่เป็นวงจรตามคัสคาตังที่ได้กล่าวมาแล้วในบทที่ 4 ส่วนวงจรสะท้อนกระแส CM2, CM3 และทรานซิสเตอร์ Q_3 จะทำหน้าที่เป็นวงจรตามกระแสที่มีหลายเอาท์พุทสำหรับจ่ายเป็นกระแสอินพุทให้กับวงจรจำกัดกระแสทั้งสองชนิด ซึ่งในส่วนที่กล่าวมาทั้งหมดนี้ก็คือวงจรจ่ายกระแสไม่เป็นเชิงเส้น เนื่องจากวงจรจำกัดกระแสทั้งสองชนิดมีการทำงานคล้ายกัน ดังนั้นการทำงานของวงจรในรูปที่ 5.3.1 จะพิจารณาจากวงจรจำกัดกระแส $CL^{(i)}$ 1,4 เพียงวงจรเดียว เมื่อให้กระแสอินพุท I_{in} เข้าที่จุด A กระแสอินพุทนี้จะไหลเข้าที่ขาอิมิตเตอร์ของ Q_3 เข้าสู่วงจรสะท้อนกระแส CM2 ทำให้วงจรจำกัดกระแส $CL^{(i)}$ 1,4 จะให้กระแสเอาท์พุท $I_{oi}^{(i)}$ และ $I_{ol}^{(i)}$ ซึ่งจะมีค่าเป็นไปตามสมการที่ (5.2.4) ถึง (5.2.7) ตามลำดับ กระแสเอาท์พุทนี้จะ

ไหลผ่านความต้านทาน R จากจุด C ไปยังจุด D ทำให้ที่จุด C มีค่าศักดาเป็นบวกไม่ว่ากรณีใดๆทั้งสิ้น อีกทั้งยังมีให้ตัดแปลงเนื้อหา และต้องอ้างอิงถึงเจ้าของเอกสารทุกครั้งที่มีการนำไปใช้



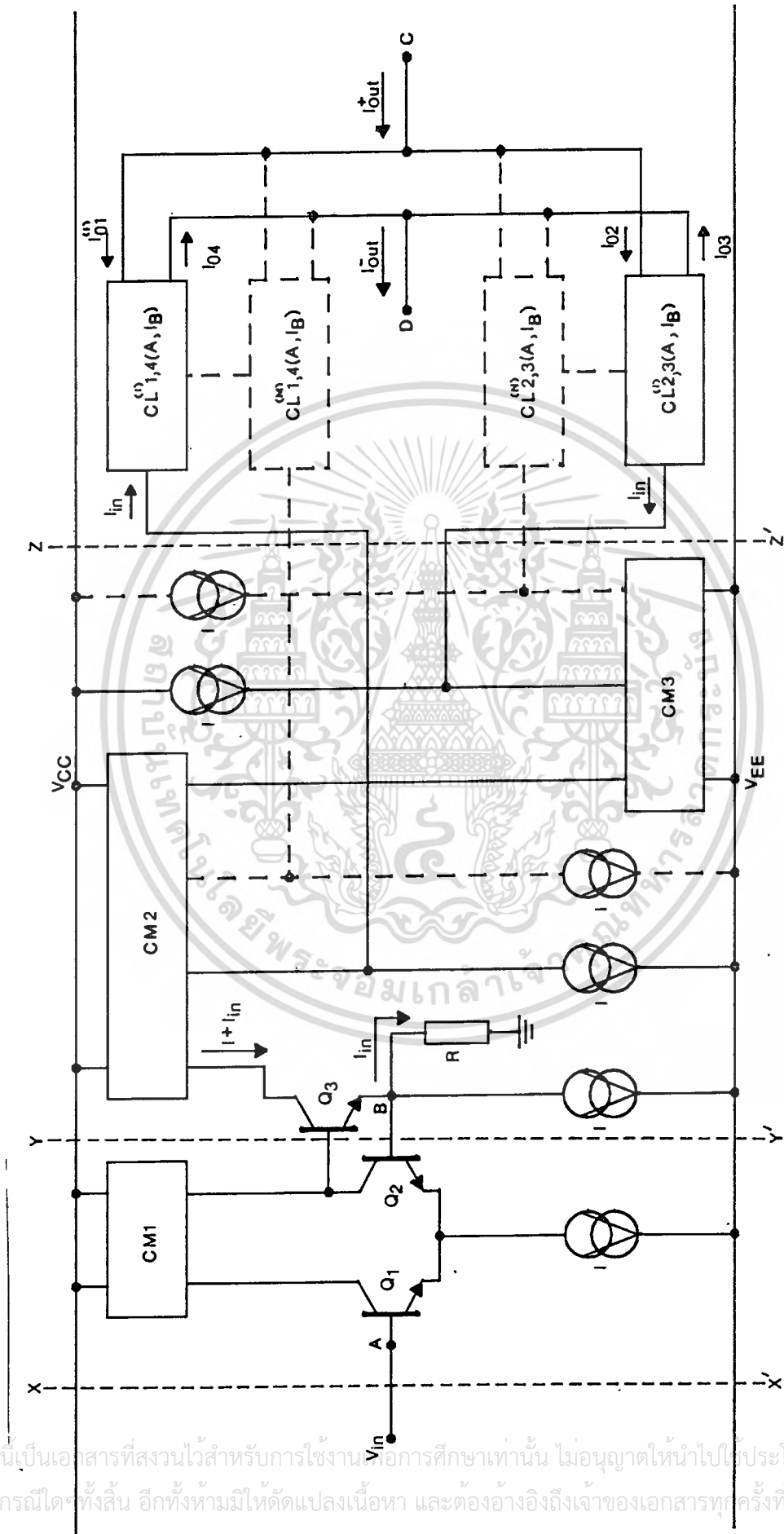
รูปที่ 5.3.1 วงจรความต้านทานไม่เป็นเชิงเส้นชนิดกระแสควบคุม

เมื่อเทียบกับจุด D ถ้าต่อจุด C กับจุด B และจุด E ต่อเข้ากับจุด D จะเห็นได้
 ว่าศักดาที่จุด A จะมีค่าเท่ากับศักดาที่จุด C และกระแส I_{out} ที่ออกจากจุด D จะ
 มีค่าเท่ากับจุด A อันเนื่องมาจากวงจรสะท้อนกระแส CM2 , CM3 และตัวจ่ายกระแส
 แสดคงที่ I_T ดังนั้นเมื่อพิจารณาการรวมวงจรจำกัดกระแสทั้งหมดในรูปที่ 5.3.1 ที่ขั้วระ
 หว่างจุด A และจุด D จะเสมือนกับเป็นความต้านทานแบบลอยตัวที่เป็นความต้านทาน
 ไม่เป็นเชิงเส้นชนิดกระแสควบคุม ในทำนองเดียวกันถ้าต่อจุด B เข้ากับจุด D และ
 ย้ายเส้นต่อระหว่างจุด E และจุด D มาเป็นจุด E และจุด C แทน ที่ขั้วระหว่างจุด
 A และจุด C ก็เสมือนเป็นความต้านทานแบบลอยตัวที่เป็นความต้านทานไม่เป็นเชิง
 เส้นแบบลบชนิดกระแสควบคุม

5.4 ความต้านทานไม่เป็นเชิงเส้นชนิดศักดาควบคุม

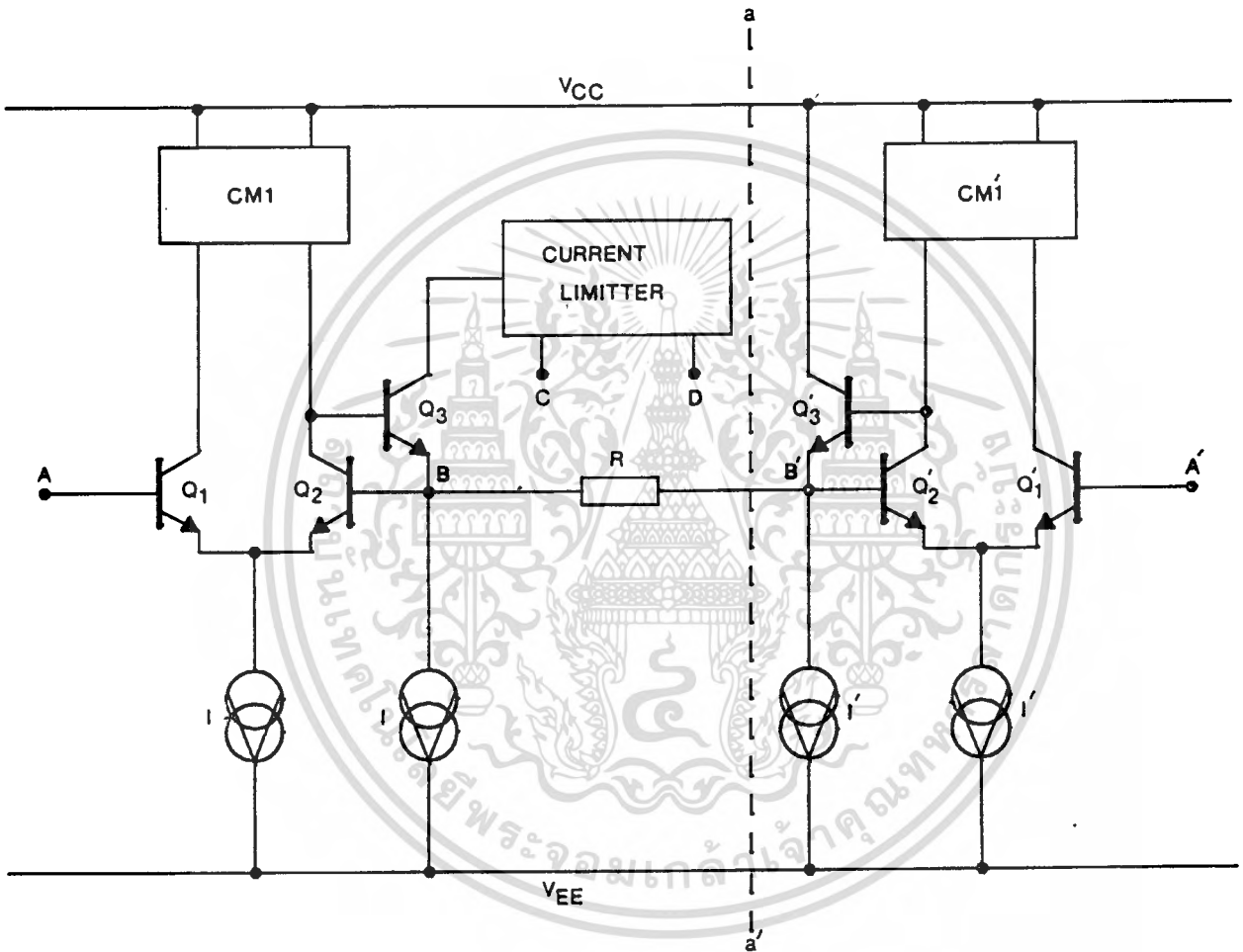
ความต้านทานไม่เป็นเชิงเส้นชนิดศักดาควบคุมแบบปลายข้างหนึ่งต่อลงกราวด์
 แสดงในรูปที่ 5.4.1 ซึ่งการทำงานของวงจรสามารถอธิบายได้ดังนี้ ทรานซิสเตอร์
 Q_1 , Q_2 และวงจรสะท้อนกระแส CM1 จะทำหน้าที่เป็นวงจรตามศักดา ซึ่งจะ
 เป็นผลให้ศักดาที่จุด B จะมีค่าเท่ากับศักดาที่จุด A ดังนั้นเมื่อป้อนสัญญาณ V_{in} เข้า
 ที่จุด A ก็จะปรากฏสัญญาณ V_{in} ขึ้นที่จุด B ด้วย เป็นผลให้เกิดกระแส I_{in} ไหล
 ผ่านความต้านทาน R ซึ่งจะมีค่าเท่ากับ V_{in}/R ทรานซิสเตอร์ Q_2 และวงจรสะท้อน
 กระแส CM2 จะทำหน้าที่เป็นวงจรตามกระแสที่มีหลายเอาต์พุท กระแส I_{in}
 นี้จะถูกส่งผ่านมายังเอาต์พุทของวงจรตามกระแสเข้าสู่อินพุทของวงจรจำกัดกระแส
 ในทำนองเดียวกับหัวข้อที่ผ่านมาถ้าพิจารณาเฉพาะการทำงานของวงจรจำกัดกระแส
 $CL^{(1)}$, $CL^{(2)}$ จากรูปที่ 5.4.1 เมื่อมีสัญญาณ V_{in} ทำให้เกิดกระแส I_{in} ป้อนเข้าสู่
 วงจรจำกัดกระแสเป็นผลให้กระแสเอาต์พุทของ $CL^{(1)}$, $CL^{(2)}$ ซึ่งก็คือกระแส I_{out}^+
 จะไหลเข้าที่จุด C และกระแส I_{out}^- จะไหลออกจากจุด D โดยที่ค่ากระแส
 I_{out}^+ นี้จะขึ้นอยู่กับค่ากระแสเริ่มต้นและอัตราการขยายของวงจรจำกัดกระแส ดัง
 นั้นเมื่อต่อจุด C เข้ากับจุด A และให้จุด D ลงกราวด์จะได้ว่าระหว่างจุด A และ
 กราวด์จะเสมือนเป็นความต้านทานไม่เป็นเชิงเส้นแบบบวกชนิดศักดาควบคุม

เอกสารนี้เป็นเอกสารที่สงวนลิขสิทธิ์ไว้สำหรับใช้ในการเรียนการสอนเท่านั้น ไม่อนุญาตให้นำไปใช้ประโยชน์ด้านธุรกิจ
 ไม่สามารถนำสิ่งใดทั้งสิ้น อีกทั้งห้ามมิให้ตัดแปลงเนื้อหา และต้องอ้างอิงถึงเจ้าของเอกสารทุกครั้งที่มีการนำไปใช้



รูปที่ 5.4.1 วงจรความต้านทานไม่เชิงเส้นชนิดตัดคาควบคุม

จากคักตาและกระแสจะมีทิศทางเดียวกัน ในทางกลับกันถ้าจุด A ต่อกับจุด D และให้จุด C ลงกราวด์ก็จะได้ที่ระหว่างจุด A และกราวด์จะเป็นความต้านทานไม่เป็นเชิงเส้นแบบลชนิตคักตาควบคุม



รูปที่ 5.4.2 ความต้านทานไม่เป็นเชิงเส้นชนิดคักตาควบคุมแบบลอยตัว

เนื่องจากความต้านทานชนิดที่มีปลายข้างหนึ่งต่อลงกราวด์จะทำให้การประยุกต์ใช้งานถูกจำกัดอยู่มาก ดังนั้นจากวงจรในรูปที่ 5.4.1 จึงได้พัฒนาขึ้นเป็นรูปที่ 5.4.2 ซึ่งจะเป็นความต้านทานไม่เป็นเชิงเส้นชนิดลอยตัว จะเห็นได้ว่าการเพิ่มเอกสารนี้เป็นเอกสารที่สงวนไว้สำหรับการใช้งานเพื่อการศึกษาเท่านั้น ไม่อนุญาตให้นำไปใช้ประโยชน์ด้านการค้าวงจรตามคักตาและวงจรตามกระแสขึ้น โดยที่ทรานซิสเตอร์ Q_1' , Q_2' , Q_3' ไม่วางกรณีใดๆทั้งสิ้น อีกทั้งห้ามมีเหตุเปลี่ยนแปลงเนื้อหา และต้องอ้างอิงถึงเจ้าของเอกสารทุกครั้งที่มีการนำไปใช้

และ วงจรสะท้อนกระแส CM1' จะทำหน้าที่เป็นวงจรตามศักดาและวงจรตามกระแส ส่วนวงจรที่อยู่ทางด้านซ้ายของเส้น a-a' จะเป็นวงจรที่แสดงในรูปที่ 5.4.1 สำหรับการทำงานของวงจรจะเหมือนกับวงจรในรูปที่ 5.4.1 เพียงแต่สัญญาณ V_{in} จะป้อนเข้าที่ขั้วระหว่างจุด A และ จุด A' ส่วนกระแส I_{in} จะไหลระหว่างจุด B และจุด B' แทน ดังนั้นความต้านทานไม่เป็นเชิงเส้นแบบขวกสามารถทำได้โดยการต่อจุด C เข้ากับจุด A และจุด D เข้ากับจุด A' ส่วนความต้านทานไม่เป็นเชิงเส้นแบบลจะต่อจุด C เข้ากับจุด A' และจุด D เข้ากับจุด A

5.5 บทสรุป

การสังเคราะห์ความต้านทานไม่เป็นเชิงเส้นโดยใช้หลักการของวงจรจำกัดกระแสที่ได้พัฒนาขึ้นนี้จะทำงานในรูปของกระแส เพื่อลดผลของความผิดเพี้ยนของศักดาที่เกิดจากรอยต่อ P-N ในไดโอดหรือทรานซิสเตอร์ซึ่งจะมีค่าไม่เป็นเชิงเส้นเมื่อเทียบกับกระแสที่ไหลผ่านตัวมัน เป็นผลให้ความต้านทานไม่เป็นเชิงที่สังเคราะห์ขึ้นมีความแม่นยำสูงและสามารถใช้ได้กับสัญญาณอินพุตที่มีขนาดต่ำมากได้ โดยที่สัญญาณอินพุตจะอยู่ในรูปของกระแสและถ้าสัญญาณอินพุตอยู่ในรูปของศักดาก็จะต้องเปลี่ยนศักดาให้เป็นกระแสเสียก่อนโดยวงจรเปลี่ยนศักดาเป็นกระแส

บทที่ 6

ผลการทดลองและตัวอย่างการประยุกต์ใช้งาน

6.1 บทนำ

เพื่อเป็นการยืนยันถึงหลักการที่ได้พัฒนาขึ้นในการสังเคราะห์ความต้านทานไม่เป็นเชิงเส้นจึงได้มีการต่อวงจรจริงขึ้นเพื่อทำการทดสอบการทำงาน โดยวงจรที่ใช้ในการทดสอบจะมีทั้งหมดสามวงจรคือ วงจรจ่ายกระแสไม่เป็นเชิงเส้นซึ่งเป็นวงจรหลักในการสังเคราะห์ความต้านทานไม่เป็นเชิงเส้น และการประยุกต์ใช้งานของวงจรความต้านทานไม่เป็นเชิงเส้นทั้งชนิดคักดาควบคุมและกระแสควบคุม

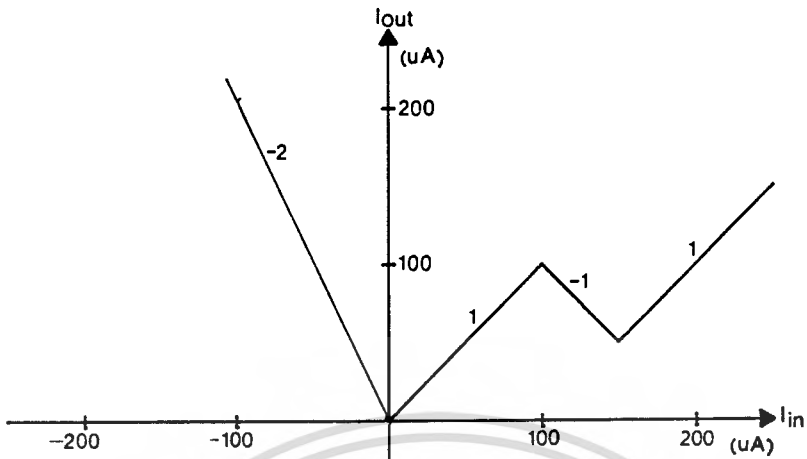
6.2 การทดสอบวงจรจ่ายกระแสไม่เป็นเชิงเส้น

ในรูปที่ 6.2.1 (ก) จะเป็นตัวอย่างของฟังก์ชันไม่เป็นเชิงเส้นที่จะนำเอาวงจรที่ได้พัฒนาขึ้นมาสร้างฟังก์ชันนี้ จากรูปจะเห็นได้ว่าต้องใช้วงจรจำกัดกระแส 3 ชนิดทั้งหมด 4 วงจร โดยชนิดแรกคือ CL1 ซึ่งจะใช้ 2 วงจรที่มีค่า $A = 1$, $I_{\text{sat}} = 0 \mu\text{A}$ และ $A = 2$, $I_{\text{sat}} = 150 \mu\text{A}$ ชนิดที่สองคือ CL2 ที่มีค่า $A = 2$, $I_{\text{sat}} = 0 \mu\text{A}$ และชนิดที่สาม CL4 ที่มีค่า $A = 2$, $I_{\text{sat}} = 100 \mu\text{A}$ ส่วนกระแสเอาต์พุต I_{out} จะมีค่าตามสมการที่ (5.2.8) ดังนี้

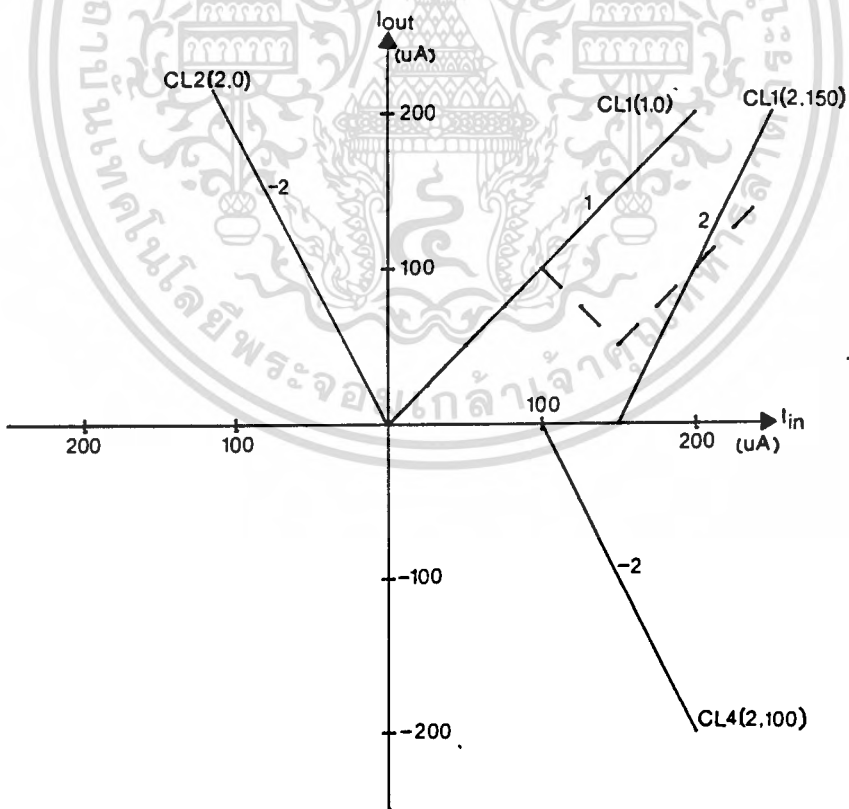
$$I_{\text{out}} = I_{o_1}(1,0) + I_{o_1}(2,150) + I_{o_2}(2,0) + I_{o_4}(2,100) \tag{6.2.1}$$

เนื่องจากวงจรจ่ายกระแสไม่เป็นเชิงเส้นต้องการสัญญาณอินพุตเป็นกระแส แต่แหล่งจ่ายสัญญาณที่มีอยู่จะให้สัญญาณในรูปของคักดา จึงได้เพิ่มวงจรเปลี่ยนคักดาเป็นกระแสเข้ามาในส่วนอินพุตของวงจรจ่ายกระแสไม่เป็นเชิงเส้นดังแสดงในรูปที่

6.2.2 โดยที่ออปแอมป์ A1 และทรานซิสเตอร์ Q_1 ต้องร่วมกับความต้านทาน R ไม่วากรณีใดๆทั้งสิ้น อีกทั้งห้ามมิให้ตัดแปลงเนื้อหา และต้องอ้างอิงถึงเจ้าของเอกสารทุกครั้งที่มีการนำไปใช้



(ก)



(ข)

เอกสารนี้เป็นเอกสารที่สงวนไว้สำหรับการใช้งานเพื่อการศึกษาเท่านั้น ไม่อนุญาตให้นำไปใช้ประโยชน์ด้านการค้า
รูปที่ 6.2.1 ตัวอย่างการออกแบวงจรจ่ายกระแสไม่เป็นเชิงเส้น
ไม่ว่ากรณีใดๆทั้งสิ้น อีกทั้งห้ามเผยแพร่ต่อผู้อื่น และต้องอ้างอิงถึงเจ้าของเอกสารทุกครั้งที่มีการนำไปใช้

ซึ่งจะทำหน้าที่เป็นวงจรเปลี่ยนศักดาเป็นกระแส โดยที่กระแสอินพุท I_{in} จะมีค่าเท่ากับ V_{in}/R

จากรูปที่ 6.2.2 วงจรจ่ายกระแสไม่เป็นเชิงเส้นจะอยู่ระหว่างเส้น BB' และเส้น CC' ความต้านทาน R_1 จะทำหน้าที่เปลี่ยนกระแส I_{out} ให้เป็นศักดา V_{out} ในการทดลองใช้ความต้านทาน R และ R_1 มีค่าเท่ากับ 10 k Ω เมื่อป้อนศักดา V_{in} ให้เป็นรูปสัญญาณสามเหลี่ยมที่มีค่าขนาดเท่ากับ $5 V_{pp}$ และวัดศักดา V_{out} ที่ตกคร่อม R_1 จะได้ผลแสดงในรูปที่ 6.2.3 ซึ่งมีรูปที่เป็นไปตามที่ได้กำหนดเอาไว้ ผลการทดลองจะอยู่ในรูปของศักดาซึ่งสามารที่จะพิจารณาในรูปของกระแสได้โดยการหารค่า V_{in} และ V_{out} ด้วย R และ R_1 ตามลำดับ ดังนั้นในรูปที่ 6.2.3 สเกลในแนวตั้งจะเท่ากับ 50 $\mu A/div$ และสเกลในแนวนอนก็จะเท่ากับ 50 $\mu A/div$ เช่นกัน

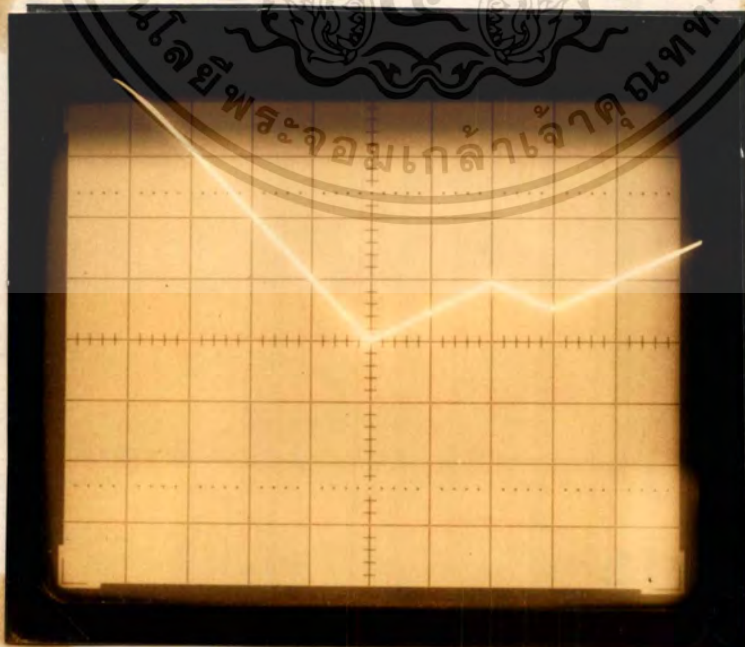
6.3 การประยุกต์ใช้งานของวงจรความต้านทานไม่เป็นเชิงเส้น

ในการประยุกต์ใช้งานในที่นี้จะมีสองตัวอย่าง โดยทั้งสองตัวอย่างจะนำมาประยุกต์ใช้ในวงจรเรียงกระแสแบบเต็มคลื่น ในตัวอย่างแรกจะเป็นการประยุกต์ใช้งานของวงจรความต้านทานไม่เป็นเชิงเส้นชนิดศักดาควบคุมแบบลอยตัวดังแสดงในรูปที่ 6.3.1 (ก) และในรูปที่ 6.3.1 (ข) จะเป็นเส้นคุณลักษณะจำเพาะของความต้านทาน จากรูปที่ 6.3.1 (ข) จะเห็นได้ว่าต้องใช้วงจรจำกัดกระแสสองวงจรคือ CL1(1,0) และ CL2(1,0) และค่าความต้านทาน R ที่ใช้จะมีค่าเท่ากับ 10 k Ω เมื่อป้อนสัญญาณอินพุท V_{in} เป็นรูปซายน์และรูปสามเหลี่ยมที่มีความถี่ 1 kHz และมีขนาด 100 mV $_{pp}$ ซึ่งจะได้เอาท์พุท V_{out} ดังแสดงในรูปที่ 6.3.1 (ค) และ (ง) เมื่อสัญญาณเส้นบนจะเป็นสัญญาณอินพุทและสัญญาณเส้นล่างจะเป็นสัญญาณเอาท์พุท

ตัวอย่างที่สองจะเป็นการประยุกต์ใช้งานของวงจรความต้านทานไม่เป็นเชิงเส้นชนิดกระแสควบคุมแบบลอยตัวดังแสดงในรูปที่ 6.3.2 (ก) และในรูปที่ 6.3.2 (ข) ราคาไม่ว่ากรณีใดๆทั้งสิ้น อีกทั้งห้ามมิให้ตัดแปลงเนื้อหา และต้องอ้างอิงถึงเจ้าของเอกสารทุกครั้งที่มีการนำไปใช้

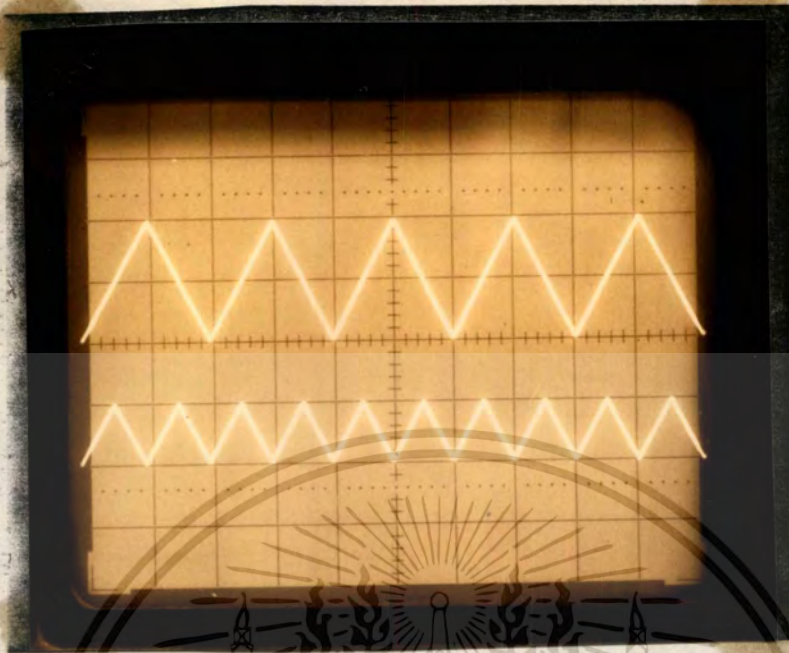
จะเป็นเส้นคุณลักษณะจำเพาะของความต้านทานไม่เป็นเชิงเส้น ซึ่งจะต้องใช้วงจรจำกัดกระแสทั้งหมดสามวงจรถือ $CL1(1,0\mu A)$, $CL1(1,200\mu A)$ และ $CL4(2,100\mu A)$ ในรูปที่ 6.3.2 (ก) ความต้านทาน R_1 และศักดาอ้างอิง V_{ref} จะเป็นตัวไบอัส (bias) ให้วงจรทำงานอยู่ที่จุดกึ่งกลางของรูปสามเหลี่ยมในรูปที่ 6.3.2 (ข) เมื่อป้อนสัญญาณอินพุตเป็นรูปซายน์และรูปสามเหลี่ยมที่มีความถี่เท่ากับ 1 kHz และมีขนาดของสัญญาณเท่ากับ 100 mV_{p-p} ซึ่งจะได้สัญญาณ V_{out} ในเส้นล่างที่แสดงในรูปที่ 6.3.2 (ค) และ (ง)

จากผลการทดลองที่ผ่านมาเป็นการให้สัญญาณอินพุตที่มีขนาดสูง สำหรับในกรณีที่สัญญาณอินพุตมีขนาดต่ำสัญญาณเอาต์พุตที่ได้จากวงจรทดลอง (ซึ่งในที่นี้ใช้วงจรในรูปที่ 6.3.1 (ก) เป็นหลัก) จะมีความผิดเพี้ยนที่ยอดของสัญญาณที่สามารถสังเกตเห็นได้ดังแสดงในรูปที่ 6.3.3 ซึ่งเป็นการป้อนสัญญาณอินพุตในเส้นบนเป็นรูปสามเหลี่ยมที่มีขนาด 10 mV_{p-p} และในเส้นล่างจะเป็นสัญญาณเอาต์พุต จะสังเกตเห็นได้ว่าในส่วนยอดของสัญญาณเอาต์พุตจะมีลักษณะที่ไม่เป็นยอดแหลมเหมือนกับด้านล่าง เพื่อให้

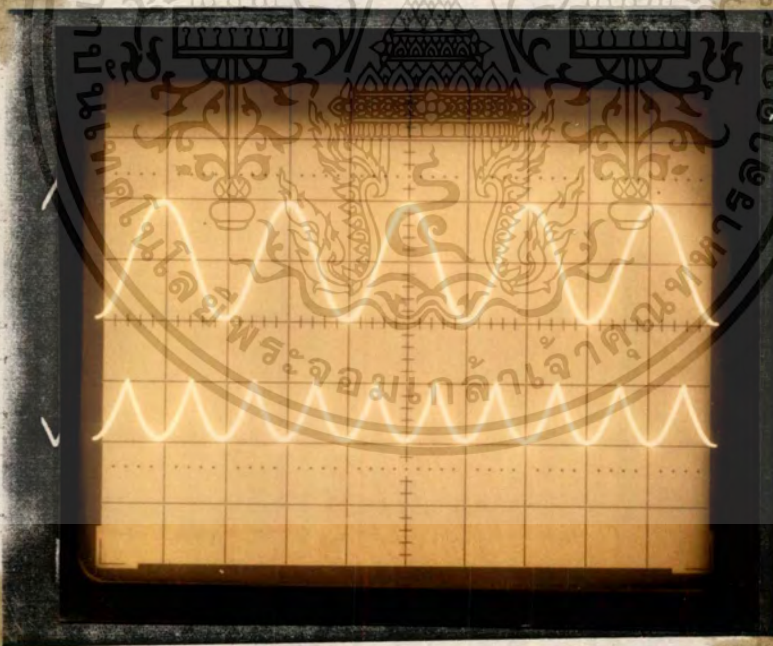


รูปที่ 6.2.3 ผลการทดสอบวงจรในรูปที่ 6.2.2

เอกสารนี้เป็นเอกสารที่สงวนไว้สำหรับการใช้งานเพื่อการศึกษาเท่านั้น ไมออนุญาตให้นำไปใช้ประโยชน์ด้านการค้า
 สเกลทางแนวตั้งและแนวนอน 0.5 V/div ($50\ \mu A/div$)
 ไม่ว่ากรณีใดๆทั้งสิ้น อีกทั้งห้ามมิให้ดัดแปลงเนื้อหา และต้องอ้างอิงถึงเจ้าของเอกสารทุกครั้งที่มีการนำไปใช้



(ก)



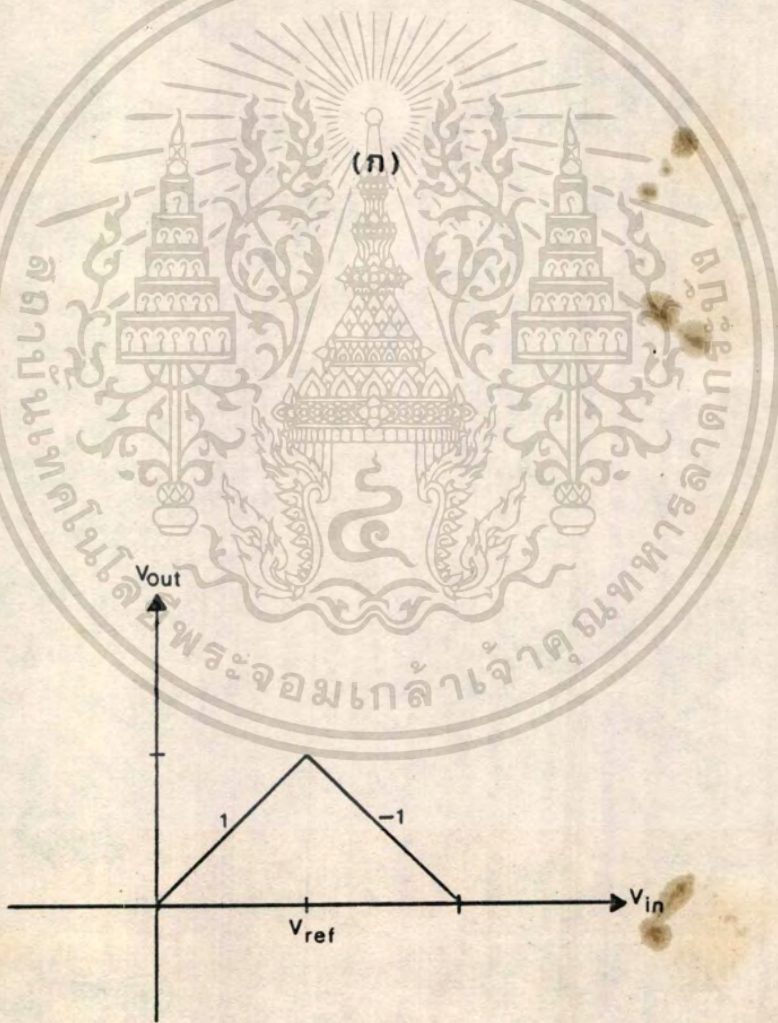
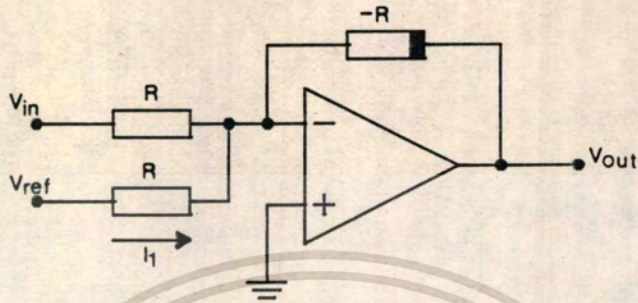
(ง)

รูปที่ 6.3.1 (ก) วงจรที่ใช้ในการทดลอง

(ข) เส้นคุณลักษณะจำเพาะของความต้านทานไม่เป็นเชิงเส้น

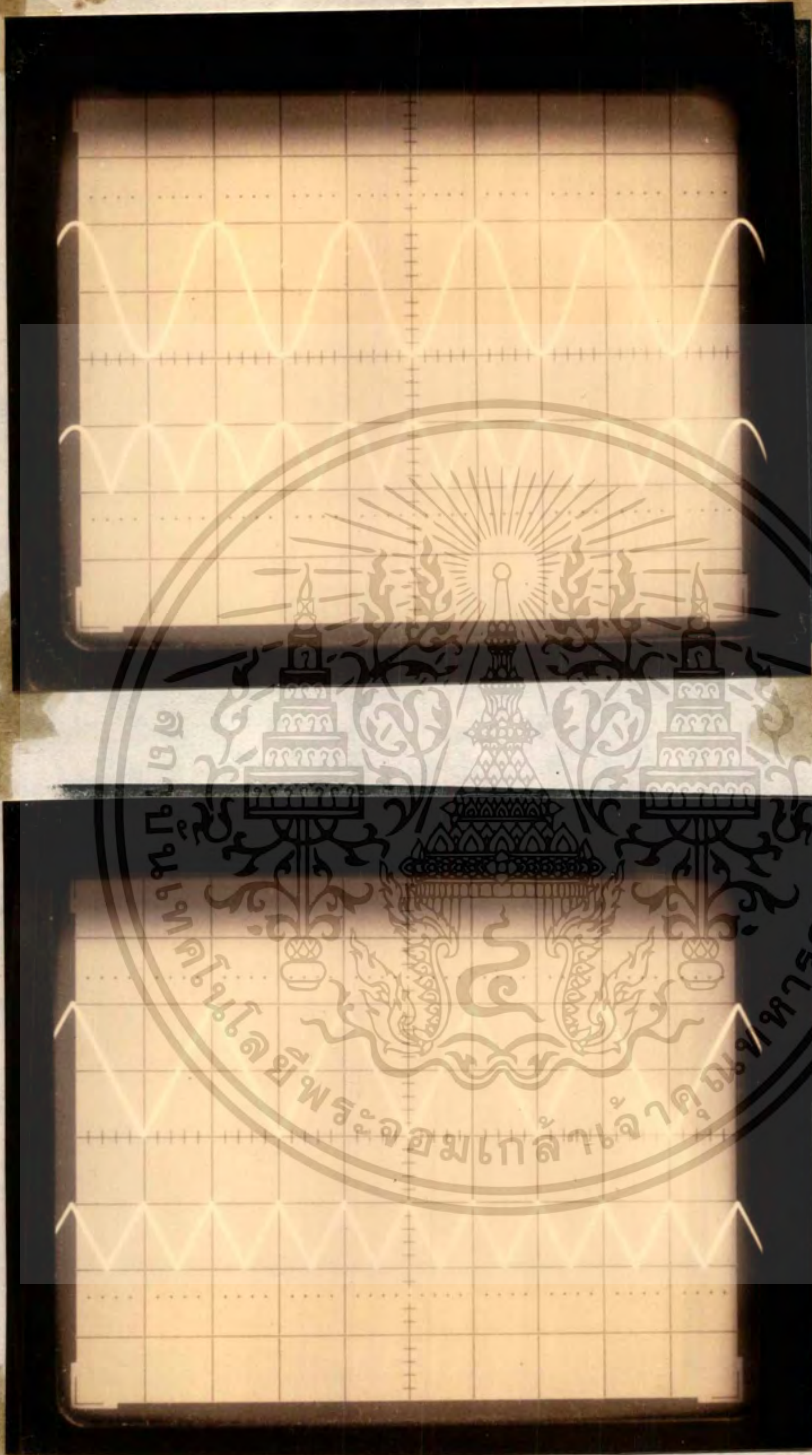
(ค) และ (ง) ผลที่ได้จากการวัด

เอกสารนี้เป็นเอกสารที่สงวนไว้สำหรับศึกษาเท่านั้น ไม่อนุญาตให้นำไปใช้ประโยชน์ด้านการค้า
สเกลในแนวดิ่ง 50 mV/div และสเกลในแนวนอน 0.5ms/div
ไม่ว่ากรณีใดๆทั้งสิ้น อีกทั้งห้ามมิให้คัดแปลงเนื้อหา และต้องอ้างอิงถึงเจ้าของเอกสารทุกครั้งที่มีการนำไปใช้



(ข)

เอกสารนี้เป็นเอกสารที่สงวนไว้สำหรับการใช้งานเพื่อการศึกษาเท่านั้น ไม่อนุญาตให้นำไปใช้ประโยชน์ด้านการค้า
ไม่ว่ากรณีใดๆทั้งสิ้น อีกทั้งห้ามมิให้ตัดแปลงเนื้อหา และต้องอ้างอิงถึงเจ้าของเอกสารทุกครั้งที่มีการนำไปใช้

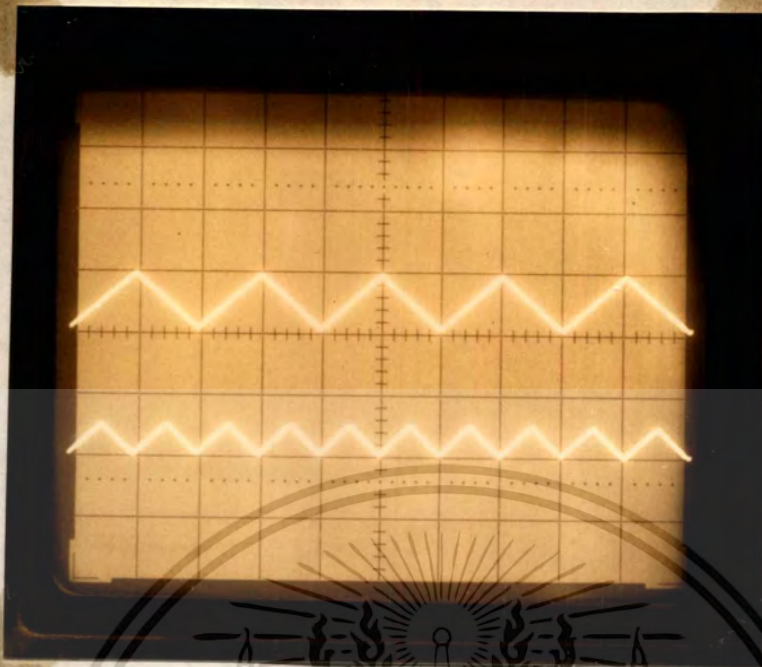


รูปที่ 6.3.2 (ก) วงจรที่ใช้ในการทดลอง

(ข) เส้นคุณลักษณะจำเพาะของความต้านทานไม่เป็นเชิงเส้น

(ค) และ (ง) ผลที่ได้จากการวัด

เอกสารนี้เป็นเอกสารที่สงวนไว้สำหรับครูใช้งานเพื่อการศึกษาเท่านั้น ไม่อนุญาตให้นำไปใช้ประโยชน์ด้านการค้า
สเกลในแนวดิ่ง 50 mV/div และสเกลในแนวนอน 0.5 ms/div
ไม่ว่ากรณีใดๆทั้งสิ้น อีกทั้งห้ามมิให้ตัดแปลงเนื้อหา และต้องอ้างอิงถึงเจ้าของเอกสารทุกครั้งที่มีการนำไปใช้



รูปที่ 6.3.3 ความผิดเพี้ยนของสัญญาณเอาท์พุท
(สัญญาณอินพุทเส้นบนและสัญญาณเอาท์พุทเส้นล่าง)

สเกลในแนวตั้ง 10 mV/div และสเกลในแนวนอน 0.5 ms/div



รูปที่ 6.3.4 ความผิดเพี้ยนของสัญญาณเอาท์พุท

เอกสารนี้เป็นเอกสารที่สงวนไว้สำหรับการใช้งานเพื่อการศึกษาเท่านั้น ไมออนุญาตให้นำไปใช้ประโยชน์ด้านการค้า
ที่เกิดจากผลของไดโอดในวงจรจำกัดกระแส
ไม่ว่ากรณีใดๆทั้งสิ้น อีกทั้งห้ามมีเหตุดัดแปลงเนื้อหา และต้องอ้างอิงถึงเจ้าของเอกสารทุกครั้งที่มีการนำไปใช้

กิตติกรรมประกาศ

วิทยานิพนธ์นี้สำเร็จได้ด้วยความช่วยเหลือจากอาจารย์และบุคคลหลายท่าน
จึงขอนามกล่าวถึงในที่นี้

ขอขอบพระคุณอาจารย์ ผศ. ดร. วัลลภ สุระกำพลธร ที่ได้กรุณาให้คำ
ปรึกษาและแก้ไขปัญหาต่างๆ ทั้งทางด้านทฤษฎีและปฏิบัติตลอดเวลาในการทำวิทยา
นิพนธ์นี้

ขอขอบพระคุณอาจารย์ ผศ. ดร. จเร สุรวัฒน์ปัญญา และอาจารย์ ผศ.
ดร. วัลลภ เหล่าเจริญ ที่ได้ให้คำชี้แนะในการทำวิทยานิพนธ์

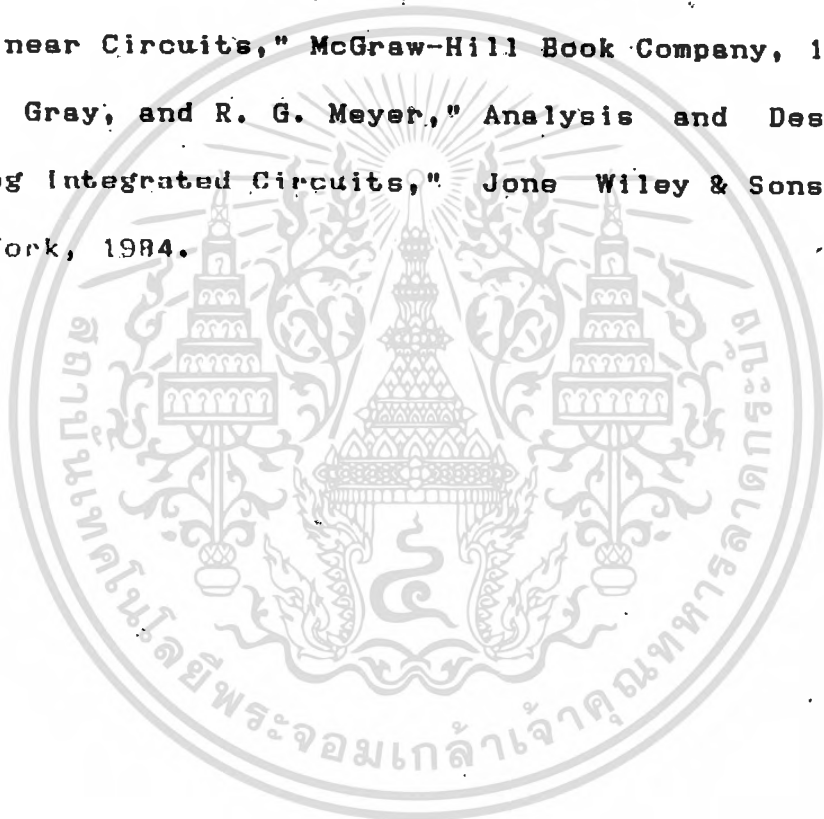
นอกจากนี้ขอขอบคุณ คุณประสิทธิ์ จุลเสวีวงศ์ คุณศุภกิจ จุฑะวิริยช คุณ
ธนาไนต์ อาปะจินดา คุณสุธรรม ธีระวัฒน์ชัย คุณปัญญา ฐิติมัทธินา ที่มีส่วนช่วยใน
การทำวิทยานิพนธ์นี้ และสุดท้ายนี้ขอขอบพระคุณภาควิชาวิศวกรรมระบบควบคุมที่ให้
ใช้สถานที่ตลอดจนเครื่องมือต่างๆที่ใช้ในการทดลอง

เอกสารอ้างอิง

- [1] L. O. Chua, " Synthesis of New Nonlinear Network Elements," Proc. IEEE, vol.56, NO.8, pp.1325-1340, 1968.
- [2] วัลลภ สุระกัณหธร, " ทฤษฎีและการทำงานของความต้านทานแบบคักคาเปลี่ยนค่า," วิทยานิพนธ์สำหรับปริญญาวิศวกรรมศาสตรบัณฑิต สถาบันเทคโนโลยีพระจอมเกล้า วิทยาเขตเจ้าคุณทหารลาดกระบัง ปีการศึกษา 2520
- [3] L. O. Chua, and S. Wong, " Synthesis of Piecewise Linear Networks," IEEE trans., Circuit & Syst., vol.2, NO.4, pp.102-108, 1978.
- [4] S. Ashok, " An Accurate Voltage-Controlled Negative Resistance Circuit," IEEE J. Solid-State Circuits, pp.311-313, 1977.
- [5] S. Pookaiyaudom, and C. Surawatpanya, " Integrable Circuit Principle for Synthesizing Voltage-Controlled Nonlinear Impedances," Proc. IEEE, vol.66, NO.10, pp.1280-1281, 1978.
- [6] S. Pookaiyaudom, K. Dejhan, and C. Watanachaiprateep, " Synthesis of Current-Controlled Nonlinear Impedances," Proc. IEEE, vol.67, NO.11, pp.1569-1572, 1979.
- [7] S. Pookaiyaudom, and W. Surakampantorn, " An Integrable Precision Current-Controlled Negative Impedance Converter," Proc. IEEE, vol.66, NO.6, pp.706-708, 1978.
- [8] S. Pookaiyaudom, and C. Surawatpanya, " Accurate

vol.46, NO.2, pp.151-156, 1979.

- [9] J. L. Huertas, J. I. Acha, and A. Gago, " Design of General Voltage- or Current-Controlled Resistance Elements and Their Applications to The Synthesis of Nonlinear Networks," IEEE Trans., Circuits & Syst., vol.CAS-27, NO.2, pp.92-101, 1980.
- [10] L. O. Chua, C. A. Desoer, and E. S. Kuh, " Linear and Nonlinear Circuits," McGraw-Hill Book Company, 1987.
- [11] P. R. Gray, and R. G. Meyer, " Analysis and Design of Analog Integrated Circuits," Jone Wiley & Sons, Inc., New York, 1984.



ภาคผนวก ก

การหาค่าความต้านทานแบบลอยตัวชนิดแปรผันตรงกับศักดาควบคุม

จากรูปที่ ก1 เมื่อป้อนศักดา V_1 เข้าที่จุด A และ B เป็นผลให้ศักดาเอาต์พุต V_2 มีค่าดังนี้

$$V_2 = V_{r_1} - V_{r_2} = i_1 r - i_1' r' \tag{1ก}$$

โดยที่ V_{r_1} และ V_{r_2} เป็นศักดาที่ตกคร่อมความต้านทาน r และ r' สำหรับกระแส i_1 และ i_1' เป็นกระแสที่ไหลผ่านความต้านทาน r และ r' และกำหนดให้ผลรวมของกระแสที่ไหลผ่านความต้านทาน R_1 และ R_2 มีค่าน้อยกว่ากระแส i_1 และ i_1' มาก ดังนั้นจึงสามารถที่จะพิจารณาให้กระแส i_1 และ i_1' เป็นกระแสอินพุตของวงจรในรูปที่ ก1 และศักดา V_2 จะถูกป้อนให้กับตัวคูณแบบอนาลอกทำให้ศักดาเอาต์พุต V_3 มีค่าดังนี้

$$V_3 = kV_2 V_1 = kV_2 (V_{r_1} - V_{r_2}) \tag{2ก}$$

เมื่อ k เป็นค่าอัตราขยายของตัวคูณและถ้าให้ความต้านทาน $r = r'$ จะได้ว่า

$$V_3 = kV_2 r (i_1 - i_1') \tag{3ก}$$

เมื่อพิจารณาจากอินพุตที่จุด A สามารถที่จะหาศักดาที่ตกคร่อม r ได้ดังนี้

$$V_{r_1} = r i_1 = V_{1,1} - V_{1,2} \tag{4ก}$$

ค้ำคดาที่จุด B , v_1 และ v_4 ทำให้สามารถหาค่าค้ำคดา v_2 ได้ดังนี้

$$v_2 = v_{1,2} + kv_2r(i_1 - i_1')/2 - r(i_1 - i_1')/2 \quad (5ก)$$

แทนค่าสมการที่ (5ก) ลงในสมการที่ (4ก) จะได้ว่า

$$ri_1 = v_{1,1} - v_{1,2} - kv_2r(i_1 - i_1')/2 + r(i_1 - i_1')/2 \quad (6ก)$$

เนื่องจาก $v_1 = v_{1,1} - v_{1,2}$ ดังนั้นสมการที่ (6ก) จึงเขียนใหม่ได้ดังนี้

$$ri = v_1 - krV_2(i_1 - i_1')/2 + r(i_1 - i_1')/2 \quad (7ก)$$

หรือ

$$r(i_1 + i_1')/2 = v_1 - krV_2(i_1 - i_1')/2 \quad (8ก)$$

และในกรณีที่พิจารณาจากอิ้นทุที่จุด B สามารถที่จะหาค้ำคดาที่ตกร่วม r' ได้ในทำนองเดียวกับการหาค้ำคดาที่ตกร่วม r โดยที่ออปแอมป์ OAB ต่อเป็นวงจรรวมค้ำคดาและขยายความแตกต่างของค้ำคดา $v_{1,1}$, v_1 และ v_4 ซึ่งจะได้ค่าค้ำคดาเอาที่ทุ v_3 ดังนี้

$$v_3 = r(i_1 - i_1')/2 + v_{1,1} - kv_2r(i_1 - i_1') \quad (9ก)$$

และค้ำคดาที่ตกร่วม r' จะหาได้จาก

$$Vr' = ri_1' = v_{1,2} - v_3 \quad (10ก)$$

เอกสารนี้เป็นเอกสารที่สงวนไว้สำหรับการใช้งานเพื่อการศึกษาเท่านั้น ไม่อนุญาตให้นำไปใช้ประโยชน์ด้านการค้า
หรือ
ไม่ว่ากรณีใดๆทั้งสิ้น อีกทั้งห้ามมิให้คัดแปลงเนื้อหา และต้องอ้างอิงถึงเจ้าของเอกสารทุกครั้งที่มีการนำไปใช้

$$Vr' = ri_1' = V_{12} - V_{11} + kV_{2r}(i_1 - i_1')/2 - r(i_1 - i_1')/2 \quad (11ก)$$

เนื่องจากคักดา $V_1 = V_{11} - V_{12}$ ดังนั้น

$$ri_1' = -V_1 + kV_{2r}(i_1 - i_1')/2 - r(i_1 - i_1')/2 \quad (12ก)$$

ซึ่งจะได้ว่า

$$r(i_1 + i_1')/2 = -V_1 + krV_{2r}(i_1 - i_1')/2 \quad (13ก)$$

จากสมการที่ (8ก) และ (13ก) สามารถที่จะหาความสัมพันธ์ของกระแส i_1 และ i_1' ได้ดังนี้

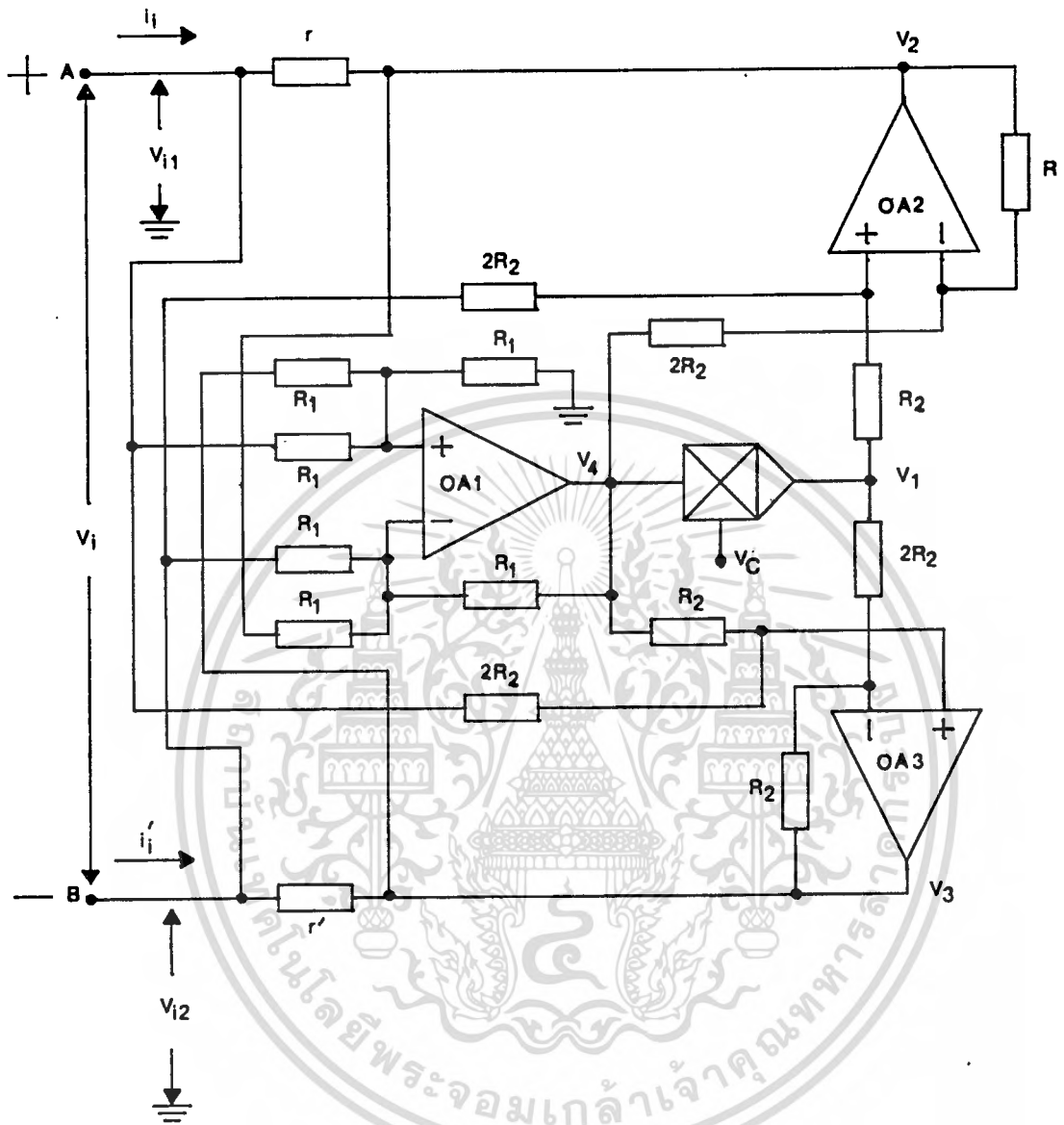
$$i_1 = i_1' \quad (14ก)$$

เมื่อแทนค่าสมการที่ (14ก) ลงในสมการที่ (8ก) จะได้ว่า

$$V_1 = krV_{2r}(2i_1)/2 \quad (15ก)$$

ซึ่งสามารถที่จะหาค่าความต้านทานทางด้านอินพุทของวงจรได้ดังนี้

$$R_1 = V_1/i_1 = krV_{2r} \quad (16ก)$$



รูปที่ 10 วงจรคักคาแปรค่าความต้านทานชนิดแปรผันตรงกับคักคา V_{in}

ภาคผนวก ข

การหาความสัมพันธ์ของกระแสอินพุตและเอาต์พุตในวงจรสะท้อนกระแสแบบลบ

จากรูปที่ ข1 กำหนดให้ทรานซิสเตอร์ทุกตัวในวงจรมีความสมพจน์กันทุกประการ นั่นคือ $\beta_1 = \beta_2 = \beta_3 = \beta$ และกระแส I_{E1} และ I_{E2} สามารถหาความสัมพันธ์ได้ดังนี้

$$I_{C1} + I_{E1} = I_{C2} + I_{E2} \tag{1ข}$$

และกระแส I_{C2} จะหาได้จาก

$$I_{C2} = I_{E2} - I_{B1} - I_{B2} \tag{2ข}$$

$$I_{C2} = I_{E2} - I_{C1}/\beta - I_{C2}/\beta \tag{3ข}$$

$$I_{C2}(1+1/\beta) = I_{E2} - I_{C1}/\beta \tag{4ข}$$

$$I_{C2} = (I_{E2} - I_{C1}/\beta)/(1+1/\beta) \tag{5ข}$$

แทนค่าสมการที่ 5ข ลงในสมการที่ 1ข จะได้ว่า

$$I_{C1}(1+1/\beta) = (I_{E2} - I_{C1}/\beta)/(1+1/\beta) + (I_{E2} - I_{C1}/\beta)/(1+1/\beta)/\beta \tag{6ข}$$

$$I_{C1} = (I_{E2} - I_{C1}/\beta)/(1+1/\beta) \tag{7ข}$$

$$I_{C1} = I_{E2}/(1+2/\beta) \tag{8ข}$$

และจากรูปที่ ข1 สามารถหาค่ากระแส I_{C1} และ I_{E2} ได้ดังนี้

เอกสารนี้เป็นเอกสารที่สงวนไว้สำหรับกรใช้งานเพื่อการศึกษาเท่านั้น ไม่อนุญาตให้นำไปใช้ประโยชน์อื่น การค้า
ไม่ว่ากรณีใดๆทั้งสิ้น อีกทั้งห้ามมิให้ตัดแปลงเนื้อหา และต้องอ้างอิงถึงเจ้าของเอกสารทุกครั้งที่มีการนำไปใช้ $I_{C1} = I_{E1} - I_{B2} = I_{E1} - I_{C2}/\beta$ (9ข)

และ

$$I_{E2} = I_2 + I_{B2} = I_2(1+1/\beta) \quad (10ข)$$

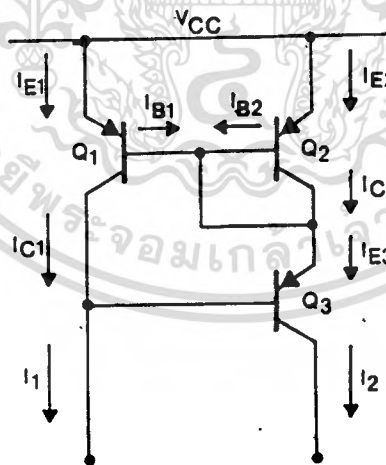
แทนค่าสมการที่ 9ข และ 10ข ลงในสมการที่ 8ข จะได้

$$I_1 - I_2/\beta = I_2(1+1/\beta)/(1+2/\beta) \quad (11ข)$$

$$I_1 + 2I_1/\beta = I_2 + 2I_2/\beta + 2I_2/\beta^2 \quad (12ข)$$

ซึ่งจะได้ความสัมพันธ์ของกระแส I_1 และ I_2 ดังนี้

$$I_2/I_1 = \beta(\beta+2)/(\beta^2+2\beta+2) \quad (13ข)$$



รูปที่ ข1 วงจรสะท้อนกระแสแบบลบ

ภาคผนวก ค

การหาความสัมพันธ์ของศักดาอินพุทและศักดาเอาต์พุทของวงจรตามศักดา

จากรูปที่ 1ค สามารถหาความสัมพันธ์ของศักดา V_1 และ V_2 ได้ดังนี้

$$V_1 = I_{B1}R_{B1} + V_{BE1} - V_{BE2} - I_{B2}R_{B2} + iR \quad (1ค)$$

เมื่อ R_B เป็นความต้านทานของขาเบสของทรานซิสเตอร์และศักดา V_2 มีค่าเท่ากับผลคูณของกระแส i และความต้านทาน R ดังนั้นสามารถที่จะเขียนสมการที่ 1ค ได้ใหม่ดังนี้

$$V_1 - V_2 = I_{B1}R_{B1} + V_{BE1} - V_{BE2} - I_{B2}R_{B2} \quad (2ค)$$

และเนื่องจากวงจรในรูปที่ 1ค เป็นวงจรรวมตั้งนั้นทรานซิสเตอร์ทุกตัวในวงจรจึงมีความสัมพันธ์กันทุกประการและจากความสัมพันธ์ของกระแสเบสและกระแสอีมิเตอร์คือ $I_B = I_E / (\beta + 1)$ และศักดา V_{BE} ระหว่างขาเบสและขาอีมิเตอร์สามารถหาได้จาก $V_{BE} = V_T \ln(I_E / I_S)$ เมื่อ I_E เป็นกระแสที่ขาอีมิเตอร์ I_S เป็นกระแสรั่วไหลของทรานซิสเตอร์ดังนั้นจากสมการที่ 2ค จะได้ว่า

$$V_1 - V_2 = R_B (I_{E1} - I_{E2}) / (\beta + 1) + V_T \ln(I_{E1} / I_{E2}) \quad (3ค)$$

ส่วนกระแส I_{E1} และ I_{E2} สามารถหาได้จาก

$$I_{E1} = I - I_{E2} \quad (4ค)$$

$$I_{E2} = I_2 - I_{B2} + I_{B2} \quad (5ค)$$

เอกสารนี้เป็นเอกสารที่สงวนไว้สำหรับการใช้งานเพื่อการศึกษาเท่านั้น ไม่อนุญาตให้นำไปใช้ประโยชน์ด้านการค้าไม่ว่ากรณีใดๆทั้งสิ้น อีกทั้งห้ามมิให้คัดแปลงเนื้อหา และต้องอ้างอิงถึงเจ้าของเอกสารทุกครั้งที่มีการนำไปใช้

และกระแส I_{E2} สามารถหาได้ดังนี้

$$I_{E2} = I + I_{B2} + i \tag{6ค)}$$

ดังนั้น

$$I_{E2} = I_{E2} / (\beta + 1) = (I + I_{B2}) / (\beta + 1) \tag{7ค)}$$

แทนค่าสมการที่ 7ค ลงในสมการที่ 5ค จะได้ว่า

$$I_{E2} = (I_2 - I_{B2}) (\beta + 1) / \beta \tag{8ค)}$$

หรือ

$$I_{E2} = [I_2 - (I + I_{B2}) / (\beta + 1) - I_{B2} / (\beta + 1) (\beta + 1)] (\beta + 1) / \beta \tag{9ค)}$$

เมื่อ $\beta \gg 1$ ดังนั้นจากสมการที่ 9ค ในเทอมของ $(\beta + 1) / \beta$ สามารถประมาณให้มีค่าเท่ากับหนึ่ง และในเทอมของ $I_{B2} / (\beta + 1) (\beta + 1)$ จะมีค่าน้อยมากจึงสามารถประมาณค่าเป็นศูนย์ สมการที่ 9ค จึงเขียนใหม่ได้เป็น

$$I_{E2} = I_2 - (I + I_{B2}) / (\beta + 1) \tag{10ค)}$$

เนื่องจากทรานซิสเตอร์ Q_4 , Q_5 และ Q_6 ต่อเป็นวงจรสะท้อนกระแสซึ่งความล้มพังเร็วของกระแส I_1 และ I_2 มีค่าดังนี้

$$I_2 = I_1 \beta (\beta + 2) / (\beta^2 + 2\beta + 2) \tag{11ค)}$$

เอกสารนี้เป็นเอกสารที่สงวนไว้สำหรับการใช้งานเพื่อการศึกษาเท่านั้น ไม่อนุญาตให้นำไปใช้ประโยชน์ด้านการค้า และไม่ว่ากรณีใดๆทั้งสิ้น อีกทั้งห้ามมิให้ตัดแปลงเนื้อหา และต้องอ้างอิงถึงเจ้าของเอกสารทุกครั้งที่มีการนำไปใช้

$$I_1 = I_{E1} \beta / (\beta + 1) \quad (12ค)$$

ดังนั้นจะได้ว่า

$$I_2 = I_{E1} \beta^2 (\beta + 2) / (\beta + 1) (\beta^2 + 2\beta + 2) \quad (13ค)$$

ให้ $K = \beta^2 (\beta + 2) / (\beta + 1) (\beta^2 + 2\beta + 2)$ สมการที่ 13ค สามารถเขียนใหม่ได้เป็น

$$I_2 = KI_{E1} = K(I - I_{E2}) \quad (14ค)$$

ให้ $a = (1 + K)$ และจากสมการที่ 5ค และ 10ค จะได้ว่า

$$I_{E1} = I - I_{E2} = I - K(I - I_{E2}) = (1 + i) / (\beta + 1) \quad (15ค)$$

$$I_{E1} = (1 + K)I - (1 + K)I_{E2} = I - (1 + i) / (\beta + 1) \quad (16ค)$$

$$I_{E1} = I - I_{E2} = I/a - (1 + i) / a(\beta + 1) \quad (17ค)$$

และจาก

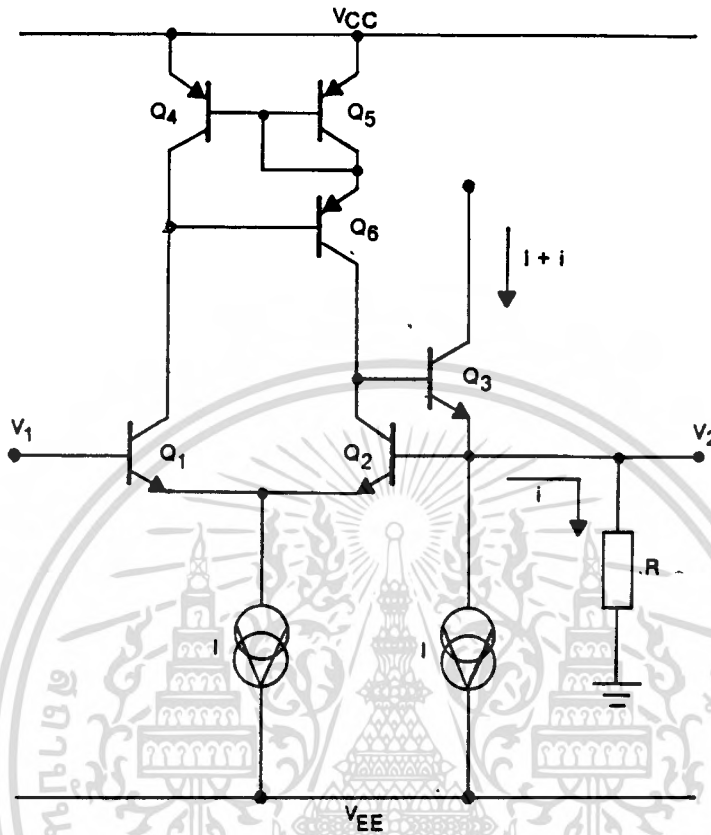
$$I_{E2} = I - I_{E1} \quad (18ค)$$

แทนค่าสมการที่ 17ค และ 18ค ลงในสมการที่ 4ค จะได้ว่า

$$V_1 - V_2 = R_B [\{ 1 - (1 + i) / (\beta + 1) \} (2/a) - 1] / (\beta + 1) + V_T \ln [(1 - (1 + i) / (\beta + 1)) / \{ aI - 1 + (1 + i) / (\beta + 1) \}] \quad (19ค)$$

ในกรณีที่ $\beta \gg 1$ เทอมทางด้านขวามือของสมการที่ 19ค จะมีค่าเข้าใกล้

ศูนย์ ดังนั้นจึงสามารถที่จะกล่าวได้ว่าศักดา V_1 มีค่าเท่ากับศักดา V_2
 เอกสารนี้เป็นเอกสารที่สงวนไว้สำหรับครูใช้สอนเพื่อการศึกษาเท่านั้น ไม่ควรเผยแพร่ไปใช้ประโยชน์ด้านการค้า
 ใม่วากรณีใดๆทั้งสิ้น อีกทั้งห้ามมิให้ตัดแปลงเนื้อหา และต้องอ้างอิงถึงเจ้าของเอกสารทุกครั้งที่มีการนำไปใช้



รูปที่ ค1 วงจรตามคักดา

เอกสารนี้เป็นเอกสารที่สงวนไว้สำหรับการใช้งานเพื่อการศึกษาเท่านั้น ไม่อนุญาตให้นำไปใช้ประโยชน์ด้านการค้า
ไม่ว่ากรณีใดๆทั้งสิ้น อีกทั้งห้ามมิให้ตัดแปลงเนื้อหา และต้องอ้างอิงถึงเจ้าของเอกสารทุกครั้งที่มีการนำไปใช้